



BILFINGER

Opdrachtgever: **Huntsman Holland B.V.**
Project: **Milieurisicoanalyse**

Milieurisicoanalyse (MRA)

Huntsman Holland B.V.
Rotterdam

Tebodin

Tebodin Netherlands B.V.

Laan van Nieuw Oost-Indië 25
2593 BJ Den Haag
Postbus 16029
2500 BA Den Haag

Auteur: D. Harkema

- Telefoon: +31 (0)88 996 76 17

- E-mail: denise.harkema@tebodin.com

05 mei 2017

Ordernummer: T49966.00

Documentnummer: 3413645

Revisie: B



BILFINGER

Rev.	Datum	Omschrijving	Opsteller	Gecontroleerd
B	05-05-2017	Eerste uitgave milieurisicoanalyse + AWZI CAB	W. Vermeer	J. Jacobse
A	25-04-2017	Eerste uitgave milieurisicoanalyse	W. Vermeer	J. Jacobse
0	06-03-2017	Eerste uitgave milieurisicoanalyse (CONCEPT)	D. Harkema / W. Vermeer	J. Jacobse

© Copyright Tebodin

Alle rechten voorbehouden. Niets uit deze uitgave mag worden verveelvoudigd en/of openbaar gemaakt worden door middel van druk, fotokopie of op welke andere wijze ook zonder uitdrukkelijke toestemming van de uitgever.



Inhoudsopgave

1	Inleiding milieurisicoanalyse	5
1.1	Achtergrond	5
1.2	Situering en omschrijving van Huntsman	5
1.3	MRA activiteiten Huntsman	6
1.4	Leeswijzer	6
2	Beschrijving milieurisico's compartimenten	7
2.1	Milieurisico's voor lucht	7
2.2	Milieurisico's voor bodem	8
2.3	Milieurisico's voor het oppervlaktewater	9
2.3.1	Afstroomroutes en lozingspaden bij ongewenste uitstroming	9
2.3.2	Riolering	9
3	Beschrijving van de stand der veiligheidstechniek activiteiten	10
3.1	Algemene procedures stand der veiligheidstechniek	10
3.2	Algemene technische voorzieningen	11
3.3	Opslag in tanks (conform [2] opslag in houders)	11
3.4	Stukgoedopslag (Opslag van chemicaliën in emballage)	12
3.5	Productie (Batch proces)	12
3.6	Productie Continu proces – Productie	13
3.7	Bulk overslag van en naar een transporteenheid	13
3.8	Leidingtransport	14
3.9	Intern transport	15
3.10	Verwerking afvalwater (BWZI)	16
4	Kwantitatieve Milieurisico analyse	17
4.1	Inleiding subselectie	17
4.2	Methodiek selectie van activiteiten	17
4.3	Methodiek selectie van activiteiten voor Huntsman	17
4.4	Selectie stoffen en insluitsystemen	18
4.5	Lozing CAB	19
4.6	Lozing op oppervlaktewater "Brittanniëhaven"	19
4.7	Toelichting stoffen	20
5	Milieurisicoanalyse met Proteus III	22
5.1	Inleiding	22
5.2	Modellering	22
5.3	Aannames en uitgangspunten modellering	22
5.4	Uitstromingsscenario's zoals berekend door Proteus (standaard in software aanwezig)	24
5.4.1	Bulkopslag	24
5.4.2	Leidingtransport	24
5.4.3	Continu en Batch productie proces	25
5.4.4	Stukgoed opslag	25
5.4.5	Verlading tankwagen	25
5.5	Lozingspaden	26
6	Resultaten milieurisicoanalyse Proteus	27



BILFINGER

6.1 Resultaten algemeen	27
6.2 Volumecontaminatie of drijfslagvorming door directe afstroom	28
6.3 Volumecontaminatie door falen BWZI	28
6.4 Drijfslagvorming door falen BWZI	28
6.5 Falen BWZI huidige situatie	29
6.6 Beheersen en opruimen drijfslagen	29
7 Conclusie	31
Referenties	32
Bijlage 1: Proces beschrijving Huntsman Holland B.V.	33
Bijlage 2 : Plattegrond tekening en rioleringstekening Huntsman Holland B.V.	34
Bijlage 3: Overzicht gemodelleerde insluitsystemen Huntsman Holland B.V.	35
Bijlage 4: Proteus III rapportage voor Huntsman Holland B.V.	36
Bijlage 5: Proteus III model voor Huntsman Holland B.V.	37

1 Inleiding milieurisicoanalyse

1.1 Achtergrond

Deze milieurisicoanalyse (MRA) is opgesteld voor Huntsman Holland B.V. te Rotterdam, (verder "Huntsman" genoemd). Door een ongewenst voorval op het terrein van de inrichting van Huntsman zou milieuverontreiniging plaats kunnen vinden. Hierbij valt te denken aan lekkages van vloeistoffen en gassen naar bodem, water en lucht. Een milieurisicoanalyse betreft de risico's voor het milieu als gevolg van een calamiteit. In een MRA moet worden aangegeven wat de te onderscheiden activiteiten zijn, welke ongevalsscenario's per activiteit van belang zijn en op welke wijze met deze ongevallen wordt omgegaan. Tevens dient te worden beschreven tot welke effecten en berekende risico's voor het ontvangende watersysteem dit leidt [6]. In dit rapport wordt een beschrijving gegeven van de milieurisico's ten gevolge van ongewenste voorvallen. De modellering is uitgevoerd met behulp van Proteus III (sinds oktober 2015 verplicht) en er is tevens gebruik gemaakt van de nieuwe selectie methode met een berekende weefactor [8]. Het model is opnieuw opgebouwd. Bij het opstellen van deze MRA zijn alle bestaande insluitsystemen en installaties opnieuw beoordeeld. In deze rapportage zijn tevens de eigenschappen van de Centrale Afvalwaterzuiveringsinstallatie Botlek (verder CAB) doorgevoerd en de bijhorende resultaten verwerkt.

1.2 Situering en omschrijving van Huntsman

De inrichting heeft als doel halffabricaten te produceren, te mengen en te verhandelen waarmee klanten van Huntsman Holland BV polyurethaanschuim kunnen maken. De voor de MRA relevante afdelingen, processen en stoffen zijn:

- MDI-1; productie van MDI (Methyleendifenyldi-isocynaat) en zoutzuur met als grond- en hulpstoffen aniline, formaline, chloor, koolmonoxide, fosgeen, chloorwaterstof, monochloorbenzeen (MCB), MDI en DADPM; MDI-2; productie van MDI met als grond- en hulpstoffen aniline, formaline, chloor, koolmonoxide, fosgeen, chloorwaterstof, monochloorbenzeen, MDI en DADPM (4,4'-Diamino-difenylnmethaan);
- MDI-splitter; productie van MDI uit eerder of elders geproduceerde MDI precursor;
- Polyolen; productie van rigid en flexible polyolen, met als voornaamste grondstoffen ethyleenoxide en propyleenoxide
- Variants; productie van prepolymeren van MDI, grondstof MDI';
- Formulaties; menging van diverse soorten polyolen en toevoegen van toeslagstoffen.
- Grondstoffenloods 'B': klasse 3, 4.2, 5.1, 6.1, 8 en 9;
- Afvalwaterzuivering

Een uitgebreide procesbeschrijving is opgenomen in paragraaf 2.6 van deel 1 van het veiligheidsrapport van Huntsman.



Figuur 1.1: Topografische ligging Huntsman

1.3 MRA activiteiten Huntsman

Huntsman ontplooit de volgende activiteiten die relevant zijn voor de MRA:

- Bulkopslag;
- Stukgoedopslag;
- Productie (Batch & Continu processen, afvulunit);
- Overslag weg;
- Leidingen.
- Verwerking van afvalwater.

Op het Huntsman terrein zijn een aantal bedrijven gevestigd die gebruik maken van de CAB. De gevaren verbonden aan deze inrichtingen zijn niet meegenomen in de beschrijving van de risico's van Huntsman.

1.4 Leeswijzer

In hoofdstuk 2 worden deze milieurisico's voor de verschillende compartimenten nader toegelicht. In hoofdstuk 3 wordt vervolgens aangegeven welke maatregelen (stand der veiligheidstechniek) per activiteit getroffen zijn/worden om de kans op of de gevolgen van ongevallen met water-, lucht - en/of bodemverontreiniging, te beperken.

De uitvoering en resultaten van de MRA selectie zijn beschreven in hoofdstuk 4. Voor de geselecteerde stoffen is met behulp van Proteus III een milieurisicoberekening uitgevoerd. De milieurisicoanalyse met behulp van Proteus III is beschreven in hoofdstuk 5 en de resultaten zijn opgenomen in hoofdstuk 6. De conclusie is beschreven in hoofdstuk 7.

2 Beschrijving milieurisico's compartimenten

2.1 Milieurisico's voor lucht

Bij een ongewenste gebeurtenis kunnen direct of indirect stoffen vrijkomen in de atmosfeer. Bij het direct vrijkomen, stroomt de stof door de breukopening in de vorm van damp of nevel rechtstreeks in de atmosfeer. Indirect vrijkomen treedt op bij het verdampen van een uitgestroomde vloeistof of bij brand, waarbij toxische verbrandingsproducten kunnen ontstaan. Het milieurisico voor lucht bestaat uit het gevaar voor optreden van emissies van in het proces aanwezige dampvormige componenten.

Hieronder worden de belangrijkste voorzieningen en maatregelen opgesomd die getroffen zijn om de emissies naar de lucht te beperken:

In de MDI-fabrieken worden emissies naar de lucht beperkt door(dat):

- fume- en causticscrubbers (HCl, fosgeen, en Cl₂ uit het proces);
- Regeneratieve Thermal Oxidisers (MCB, CTC uit het proces);
- aanwezigheid van een stikstofdeken op de atmosferische methanol opslagtank;
- waterscrubbers (ontluchting formaline-opslagtank MDI-1);
- dampretoursystemen (bij vullen formaline-opslagtank en laden van MDI (MDI-2));
- koolfilters (ademverliezen formaline- en MDI-opslagtanks in MDI-2);
- lekdichte pompafdichtingen, veiligheidsflenzen van systemen met het oplosmiddel MCB, waarin zure gassen opgelost zijn;
- installatie van dubbele balgafdichtingen op kleppen en zonodig 'spiral wound metal' pakkingen (MDI-2);
- het ontwerp van de installatie en de bedieningsfilosofie zijn erop gericht de hoeveelheid gassen (N₂ en CO) in de afgassystemen te minimaliseren (MDI-2);
- koelers in afgasleidingen voor aniline en MCB (MDI-2).

In de polyolenfabriek worden emissies naar de lucht beperkt door(dat):

- Zuurscrubber (drukventielen EO- en PO (propyleenoxide)-opslagtanks);
- zwavelzuurscrubber waar dampemissies uit de opslagtanks en het proces worden afgevangen;
- diverse procesvaten worden onder stikstofdruk gevuld;
- de stikstofaflaat van een procesvat in de flexiblesstraat is aangesloten op een cold-finger, die een groot gedeelte van de in de stikstof aanwezige propyleenoxide condenseert.

Bij 'Variants' worden emissies naar lucht beperkt doordat ademverliezen van isocyanaten bij laden en lossen geabsorbeerd worden in koolfilters.

Risico's voor lucht worden verder gevormd door:

- brand, waarbij milieuschadelijke rookgassen ontstaan;
- falen van apparatuur, waardoor gaswolken vrij kunnen komen.

Voor een gedetailleerde omschrijving van de diverse emissies naar de lucht bij normale bedrijfsvoering wordt verwezen naar de Wabo milieuaanvraag/-vergunning.

2.2 Milieurisico's voor bodem

Bij het vrijkomen van een milieuschadelijke vloeistof ten gevolge van een ongewenst voorval kan verontreiniging van de bodem en eventueel verontreiniging van het grondwater optreden.

Op de Huntsman-locatie worden vloeistoffen verwerkt welke bij verkeerd gebruik een risico kunnen inhouden voor de kwaliteit van de bodem, die vooral uit zand bestaat. Het gebiedstype (industrie) van de Huntsman locatie bepaalt dat het actuele humane risico in relatie tot het bodemgebruik (direct contact, gewasteelt en -consumptie, inhalatie vluchtige verbindingen en permeatie in drinkwaterleidingen) minimaal is. Vanwege het gebiedstype is ook het ecologische risico gering. Hiermee wordt de belangrijkste risicofactor het verspreidingsrisico. De hoge grondwaterstand en oplosbaarheid en dichtheid van stoffen zijn hierbij bepalend.

Een monitoringsysteem van het middeldiepe grondwater is sinds 1989 operationeel. Op periodieke basis worden diverse peilbuizen bemonsterd en geanalyseerd. De belangrijkste in het grondwater aangetoonde verontreinigingen zijn aniline en MCB in het freatische grondwater en MCB in het middeldiepe grondwater. Deze zijn gecategoriseerd als historische verontreinigingen.

In 1992 is een studie afgerond om de kwaliteit van het grondwater te inventariseren. Als onderdeel van de studie is een model van de opbouw van de bodem en de grondwaterstroming ontwikkeld. Dit gaf de mogelijkheid de migratie van verontreinigingen en potentiële doelen af te leiden. De studie gaf aan dat het doel voor de horizontale stroming de Britanniëhaven is terwijl voor de verticale stroming (infiltratie) het eerste watervoerende pakket een doel is. Een van de conclusies was dat met de beperkte hoeveelheid gegevens meer metingen nodig zijn om de horizontale en verticale omvang van de verontreinigingen te berekenen.

De laatste jaren zijn verschillende maatregelen genomen om nieuwe verontreinigingen te voorkomen.

2.3 Milieurisico's voor het oppervlaktewater

2.3.1 Afstroomroutes en lozingspaden bij ongewenste uitstroming

Bij Huntsman zijn er 3 afstroommogelijkheden richting de CAB mogelijk:

1. De spill komt in een opvangvoorziening of opvangput, waar deze volledig wordt opgevangen en de CAB niet bereikt;
2. De spill komt op een vloeistofdichte, verharde bodem en stroomt geheel door naar het riool en de CAB;
3. De spill komt op een onverharde bodem, in een lokale opvang of een calamiteitenopvang en stroomt deels naar het riool en de CAB.

Indien de spills in het gemengde riool terecht zijn gekomen (AV1 of 2), kunnen de spills via pompput 1 of 2 vòòr de CAB naar één van de twee calamiteitenbassins geleid worden (buffer V320 of het bluswaterbassin MDI-2 fabriek/overslag van MCB). Het effluent van de CAB komt na bezinking via lozingswerk 1 uit op de Britanniëhaven.

Hierna wordt nader ingegaan op de pompputten, de calamiteitenbassins en de afvalwaterzuivering.

2.3.2 Riolering

Pompputten 1 en 2

Spills die in het gemengde riool terechtkomen, gaan via een pompput (1 of 2) naar de CAB. De aanvoeren naar de CAB kunnen separaat naar één van de twee calamiteitenbassins geleid worden. In het riool bevinden zich twee pompputten; pompput 2 kan bij excessief aanbod middels het bewust handmatig openen van een afsluiter overstorten naar pompput 1. Pompput 1 stroomt circa 6x per jaar ongezuiverd over naar de Britanniëhaven (bij overmatige regenval). Maatregelen zijn in het verleden onderzocht en uitgevoerd om deze mate van overstort te reduceren.

Buffervoorzieningen

Spills gaan normaal via de pompputten rechtstreeks naar de CAB. Bij een spill, die terecht gekomen is in het gemengd riool, kan de stroom naar één van de twee buffervoorzieningen (een betonnen bak van 950 m³ en een stalen tank van 1000 m³) worden geleid en van daaruit gecontroleerd naar de CAB worden afgevoerd. Hiertoe dient een afsluiter in de leiding naar de CAB te worden dichtgezet zodat de spill wordt omgeleid naar de buffervoorziening.

In de proces afvalwaterstroom van de MDI fabrieken bevindt zich een analyser op de fabriek, met een back-up vlak voor de invoer in het verdeelwerk, die aniline en DADPM detecteert. Bij een te hoge concentratie wordt deze mogelijk vervuilde stroom automatisch omgeleid naar één van de buffervoorzieningen.

De afvalwaterzuivering (AWZI, CAB, in Proteus bedrijfsafvalwaterzuivering BWZI)

De CAB is een biologische afvalwaterzuivering, waarin kleinere incidentele lozingen worden afgebroken. De CAB is niet ontworpen om grote calamiteuze lozingen te zuiveren.



3 Beschrijving van de stand der veiligheidstechniek activiteiten

Hieronder worden de belangrijkste voorzieningen en maatregelen opgesomd die zijn getroffen om verontreiniging ten gevolge van incidenteel vrijkomen van stof te voorkomen of te beperken. Voor het toetsen aan de stand der veiligheidstechniek is uitgegaan van het RIZA-rapport "Beschrijving van de stand der veiligheidstechniek ten behoeve van de preventieve aanpak van de risico's van onvoorziene lozingen", Lelystad, 1999 [1].

3.1 Algemene procedures stand der veiligheidstechniek

In de volgende tabel is de situatie beschreven, zoals benoemd in de stand der veiligheidstechniek "algemene procedures".

Tabel 3.1: Toetsing algemene procedure aan stand der veiligheidstechniek

criterium m.b.t. procedure/activiteit	Opmerking/toelichting	Voldoet aan SVT ¹
Calamiteitenplan	Huntsman beschikt over een bedrijfsnoodplan.	Ja
Systeem voor vroegtijdige herkenning van onvoorziene gebeurtenissen; evaluatie van calamiteiten	Huntsman beschikt over systemen voor vroegtijdige herkenning van onvoorziene gebeurtenissen. Na afloop van een calamiteit wordt de gehele gang van zaken rondom het ontstaan en de bestrijding van de calamiteit geëvalueerd.	Ja
Systeem voor het informeren van belanghebbenden	Huntsman heeft protocollen opgesteld voor het informeren van belanghebbenden (o.a. bevoegd gezag en buurtbedrijven).	Ja
Werkvoorschriften	De werkvoorschriften voor reguleren en afwijkende situaties zijn vastgelegd in het veiligheidsbeheerssysteem.	Ja
Oefeningen	Oefeningen vinden regelmatig plaats.	Ja
Fail safe ontwerp	Zie HAZOP en P&ID t.a.v. fail safe posities.	Ja
Register met relevante informatie van aanwezige stoffen	Huntsman beschikt over een register met relevante informatie over binnen de inrichting aanwezige stoffen.	Ja
Procedures voor het verwerken en opslaan van afvalwater	Huntsman heeft een procedure opgesteld voor het verwerken en opslaan van afvalwater.	Ja
Wijzigingen aan installaties vinden plaats aan de hand van eenduidige procedures	Wijzigingen aan installaties vinden plaats aan de hand van door Huntsman opgestelde, eenduidige, procedures (MOC, Management Of Change).	Ja

¹ SVT = stand der veiligheidstechniek



3.2 Algemene technische voorzieningen

In de volgende tabel is de situatie beschreven, zoals benoemd in de stand der veiligheidstechniek “algemeen technische voorzieningen”.

Tabel 3.2: Toetsing algemene technische voorzieningen aan de stand der veiligheidstechniek

Procedure/activiteit	Beschrijving	Voldoet aan SVT
Koelwatervoorziening	Conform wet en regelgeving	Ja
Energievoorziening	De energievoorzieningen voor de inrichting van Huntsman worden onttrokken aan het openbare net. Belangrijke installaties zijn voorzien van noodstroom (accu's en aggregaat).	Ja
Bluswatervoorziening	Voor de bestrijding van een calamiteit is voldoende bluswater aanwezig.	Ja
Opvang bluswater	Binnen de inrichting zijn voorzieningen voor de opvang van bluswater aanwezig.	Ja
Rioolsysteem in en ter plaatse van opslag en productielocaties	De inrichting beschikt voor een rioolsysteem inclusief inspectieputten.	Ja
Rioolsysteem wegen	Het rioolsysteem van de wegen is aangesloten op het riool welke afvoert naar de CAB. Lekkages op de weg kunnen niet direct naar het oppervlaktewater afstromen.	Ja
Waarschuwingssysteem	Huntsman beschikt over waarschuwingssystemen (Alarmering in controle kamer van proces afwijkingen en Ontruimingsalarm).	Ja
Uitschakelen proces van buitenaf	De processen zijn niet van buitenaf uit te schakelen.	Ja
Verkeerstechnische situatie & toegankelijkheid	Aangepaste rijsnelheid, verkeersaanduiding conform Nederlandse wetgeving, etc.	ja
Afsluiting terrein	Het gehele terrein is omheind. Het is niet mogelijk voor ongeautoriseerde bezoekers het terrein te betreden.	Ja

3.3 Opslag in tanks (conform [2] opslag in houders)

In paragraaf 3.7 van het RIZA-rapport ‘Beschrijving van de stand der veiligheidstechniek ten behoeve van de preventieve aanpak van de risico’s van onvoorziene lozingen’ zijn diverse ‘stand der techniek’ maatregelen beschreven, welke ook zijn vereist volgens de PGS 29 richtlijn. De tanks waarin ADR 3 vloeistoffen worden opgeslagen, zijn/worden uitgevoerd overeenkomstig de PGS29. De tanks waarin geen ADR 3 vloeistoffen worden opgeslagen vallen niet direct onder de werkingssfeer van de PGS29. In het algemeen is bij de bouw en realisatie van de tanks wel rekening gehouden met diverse aspecten die uit de PGS 29 voortvloeien.

Algemeen

- Het vullen van de opslagvaten vindt slechts plaats na positieve identificatie van de stof.
- Het niveau van de stof in het vat wordt bewaakt. Bij afwijkingen vindt alarmering plaats en wordt volgens een vaste procedure ingegrepen.
- De eventueel aanwezige afsluiters van de tankput zijn normaliter gesloten.
- Er is een eenduidige procedure voor het draineren van de tankput.
- Op regelmatige basis wordt het opslaggebied geïnspecteerd op lekkage en de algehele conditie van de tanks en randapparatuur.

Bouwkundige aspecten

- Per installatie, of een deel daarvan is, waar relevant, een vloeistofdichte of vloeistofkerende containment met afloop naar een verzamelsysteem. De opgevangen vloeistoffen ondergaan vervolgens een adequate behandeling.
- Om overslag van brand te voorkomen is voldoende afstand tussen diverse onderdelen van de inrichting. Deze afstand voldoet aan het gestelde in de “stand der veiligheidstechniek”:

Hoeveelheid stof	erfscheiding	Afstand in meter tot ander gebouw behorend tot de inrichting	Andere buitenopslag
Ten hoogste 1.000 liter of kilo	3	5	nvt
Meer dan 1000 liter of kilo	5	10	15

* In bepaalde gevallen is gekozen voor materialen met een brandwerendheid in plaats van afstand.

- Voor de beheersing van risico's buiten de inrichting en de bereikbaarheid van de brandweer is de afstand van een opslag tot een gevoelige bestemming buiten de inrichting minimaal 20 meter.

Voorzieningen

- Lekkage van pompen wordt gedetecteerd en opgevangen.
- Monsternamesystemen zijn lekvrij uitgevoerd.
- Er zijn interlocksysteem aanwezig om gevaarlijke situaties bij oplijnen uit te schakelen.

3.4 Stukgoedopslag (Opslag van chemicaliën in emballage)

In paragraaf 3.6 van het RIZA-rapport 'Beschrijving van de stand der veiligheidstechniek ten behoeve van de preventieve aanpak van de risico's van onvoorzien lozingen' zijn diverse maatregelen als stand der techniek aangemerkt, welke ook zijn vereist volgens de PGS-15 richtlijn. Overslag van (tank/bulk)containers zal plaats vinden overeenkomstig de PGS 15. De op- en overslag voldoet tevens aan de eisen zoals deze zijn opgenomen in de gestelde richtlijn. Hierdoor is er sprake van voldoen aan stand der techniek.

Algemeen

- Er wordt een administratie bijgehouden inzake de opgeslagen producten.
- De opslagruimte is niet toegankelijk voor onbevoegden.
- In geval van een buitenopslag dient het verpakkingsmateriaal bestand te zijn tegen alle weersinvloeden.

Voorzieningen

- De opslagruimte beschikt over voldoende, adequate en operationeel beschikbare blusmiddelen.
- Het opslaggebouw is afdoende beschermd tegen blikseminslag.

3.5 Productie (Batch proces)

Algemeen

- De wisseling van batches vindt zoveel mogelijk geautomatiseerd plaats.
- In de werkvoorschriften zijn procedures opgenomen inzake de handelswijze bij afwijkende omstandigheden.
- In een logboek wordt bijgehouden welke afwijkende omstandigheden zich voordeden en welke handeling daarop volgde.

- In de ontwerpfase van de installatie is een risicoanalyse uitgevoerd, ter waarborging van de veiligheid.

Bouwkundige aspecten

- Elke installatie, of een deel daarvan, is, waar relevant, voorzien van een vloeistofkerende containment met afloop naar een verzamelsysteem. De opgevangen vloeistoffen ondergaan vervolgens een adequate behandeling.

Voorzieningen

- Het vloeistofniveau in de af te vullen eenheid wordt bewaakt. Bij afwijkingen vindt alarmering plaats en wordt volgens een vaste procedure ingegrepen.
- Lekkage van pompen wordt gedetecteerd en teruggehouden.
- Bij het wegvallen van utilities schakelt de installatie automatisch naar een “veilige” toestand.

3.6 Productie Continu proces – Productie

Algemeen

- In de werkvoorschriften zijn procedures opgenomen inzake de handelwijze bij afwijkende omstandigheden;
- Er wordt een logboek bijgehouden waarin afwijkende omstandigheden en de reactie daarop vastgelegd worden;
- In de ontwerpfase van de installatie is een veiligheidsanalyse uitgevoerd.

Bouwkundige aspecten

- Er is per installatie, of een deel daarvan, een vloeistofdichte containment met afloop naar een verzamelsysteem. De opgevangen vloeistoffen ondergaan vervolgens een adequate behandeling.

Voorzieningen

- Het vloeistofniveau in tanks wordt bewaakt. Bij afwijkingen vindt alarmering plaats en wordt volgens een vaste procedure ingegrepen. Het niveau, de druk en de temperatuur in de procesvaten wordt bewaakt en bij afwijkingen vindt alarmering plaats;
- Lekkage van pompen wordt gedetecteerd en teruggehouden;
- Verontreiniging van koelwater als gevolg van lekkage van warmtewisselaars wordt op een voldoende niveau gedetecteerd;
- Monsternamesystemen zijn lekvrij uitgevoerd;
- Er zijn interlocksysteem aanwezig om gevaarlijke situaties bij starten en stoppen/trippen te beteugelen;
- Bij het wegvallen van utilities schakelt de installatie automatisch naar een “veilige” toestand (fail-safe design).

3.7 Bulk overslag van en naar een transporteenheid

Algemeen

- De overslagplaats wordt alleen voor overslag gebruikt. Doorgaand transport kan geen gebruik maken van deze locatie.
- Er is continu toezicht. In geval van een onvoorzien voorval kan het voertuig worden verplaatst teneinde de gevolgen te minimaliseren.
- Er zijn voorzieningen en procedures om eventueel gelekt/gemorst product zo spoedig mogelijk op te ruimen.

Bouwkundige aspecten

- De overslagplaats is voorzien van een vloeistofkerende vloer welke onder afschot ligt, waar relevant. Het hemelwater en gemorst product worden opgevangen in een opvangbak/inspectieput.
- De verlaadplaats voor tankauto's wordt indien noodzakelijk volledig overkapt. Het hemelwater van de daken wordt via het nabijgelegen gemengd of proceswaterriool afgevoerd;
- De verlaadplaats is voorzien van een opvangmogelijkheid met een capaciteit voldoende voor de opvang van 110% van de inhoud van de te verladen eenheden (direct of indirect via riolsysteem). De opvang wordt na een spill zo spoedig mogelijk leeggemaakt, teneinde altijd voldoende opvangcapaciteit te houden.
- Voor de afvoer uit de opvang wordt een handmatige handeling verricht zoals inzet van een zuigwagen of afpompen.

Voorzieningen

- Onder flensverbindingen is, waar relevant, een kleine opvang gecreëerd zodat druppels kunnen worden opgevangen. Dit is met name van belang bij manifolds.
- Op de verlaadplaats zijn adequate brandblusmiddelen operationeel aanwezig.

Overig

- Indien bij het leegdrukken van een tank gebruik wordt gemaakt van een gas, dan wordt hiervoor uitsluitend een gas worden gebruikt dat inert is ten opzichte van het te verladen product; de toevoer kan onmiddellijk worden afgesloten na het leegdrukken van de tank.
- De los- en laadarmen of -slangen moeten geschikt zijn voor de te verladen producten en hebben conform de omgevingsvergunning en interne procedures een afdoende drukbeproeving. Bij gebruik van de los- en laadslangen worden deze steeds eerst visueel op een goede staat gecontroleerd alvorens te worden gebruikt; beschadigde slangen worden niet gebruikt en worden direct afgevoerd voor reparatie of vernietiging.
- Productleidingen van laad- en losinstallaties die niet gebruikt worden, zijn met een blindflens of gelijkwaardig afgesloten, zodat lekkage, ook in geval van een storing of een bedieningsfout, wordt voorkomen.

3.8 Leidingtransport

Algemeen

- Op regelmatige afstanden zijn afsluiters geplaatst.
- Op regelmatige basis worden de leidingen visueel op lekdichtheid geïnspecteerd.
- Alle leidingen en bijbehorende appendages zijn zodanig uitgevoerd dat er geen ontoelaatbare spanningen ten gevolge van montage, verzakkingen of temperatuurverschillen kunnen ontstaan.
- Aan de leidingen is duidelijk zichtbaar voor welk doel en welke stof ze worden gebruikt.

Ondergrondse leidingen

- Er is een overzicht van waar alle ondergrondse leidingen liggen. Ook is het een verplichte werkwijze, dat voorafgaand aan werkzaamheden in de bodem, de afwezigheid van eventuele leidingen eerst bevestigd dient te worden.
- Leidingen liggen voldoende diep (minimaal 0,8 m) en zijn, waar relevant, voorzien van kathodische bescherming (gasleidingen).

Bovengrondse leidingen

- Bovengrondse leidingen zijn risicogericht beoordeelt met betrekking tot locatie en eventuele beveiliging.
- De leidingen liggen in leidingbruggen of op sleepers en zijn voldoende ondersteund.

Leidingbruggen

- Bij eventuele wegkruisingen zijn de leidingen beveiligd doormiddel van een doorrijpoort waarop de doorrijhoogte staat vermeld. Minimale doorrijhoogte is 5.0 meter.
- Er zijn risicogerichte maatregelen genomen om leidingbruggen te beschermen tegen aanrijdingen.
- Rondom leidingbruggen met (milieu)gevaarlijke stoffen zijn geen hemelwaterafvoeren en is geen ongewenste afstroming naar het riool en de CAB mogelijk.

3.9 Intern transport

Algemeen

- De overslagplaats wordt alleen voor overslag gebruikt. Langs de overslagplaats zal geen doorgaand transport plaats vinden.
- Er is continu toezicht. In geval van een onvoorzien voorval kan het voertuig worden verplaatst teneinde de gevolgen te minimaliseren.
- Er zijn voorzieningen en procedures om eventueel gelekt/gemorst product zo spoedig mogelijk op te ruimen. Deze procedures zijn voor het bevoegd gezag inzichtelijk op de locatie.
- In het calamiteitenplan zijn procedures opgenomen die specifiek zijn toegesneden op verladingsactiviteiten.

Bouwkundige aspecten

- De overslagplaats is, waar relevant, voorzien van een vloeistofkerende vloer welke onder afschot ligt. Het hemelwater en gemorst product worden opgevangen in een opvangbak/inspectieput of riool.
- De verlaadplaatsen zullen, waar relevant, worden voorzien van een opvangmogelijkheid met een capaciteit voldoende voor de opvang van 110% van de inhoud van de te verladen eenheden (direct of indirect via rioolsysteem). De opvang wordt na een spill zo spoedig mogelijk leeggemaakt, teneinde altijd voldoende opvangcapaciteit te houden.
- Voor de afvoer uit de opvang wordt een handmatige handeling verricht zoals het inzetten van een zuigwagen of middels afpompen.

Voorzieningen

- Onder diverse flensverbindingen is, waar relevant, een vloeistofkerende voorziening aanwezig. Daar waar dit niet het geval is worden aanvullende maatregelen voorzien.
- Op de verlaadplaats zijn adequate brandblusmiddelen operationeel aanwezig.

Overig

- Indien bij het leegdrukken van de leidingen van een tank gebruik wordt gemaakt van een gas, dan wordt hiervoor uitsluitend een gas gebruikt dat inert is ten opzichte van het te verladen product; de toevoer kan onmiddellijk worden afgesloten na het leegdrukken van de leiding.
- De los- en laadarmen of -slangen moeten geschikt zijn voor de te verladen producten en hebben een barstdruk van ten minste viermaal de hoogst voorkomende werkdruk.
- Bij gebruik van de los- en laadslangen worden deze steeds eerst visueel op een goede staat gecontroleerd alvorens te worden gebruikt; beschadigde slangen worden niet gebruikt en worden direct afgevoerd voor reparatie of vernietiging.
- Productleidingen van laad- en losinstallaties die niet gebruikt worden, zijn met een blindflens afgesloten, zodat lekkage, ook in geval van een storing of een bedieningsfout, wordt voorkomen.



BILFINGER

3.10 Verwerking afvalwater (BWZI)

Algemeen

- De zuiveringstechnische voorzieningen worden bediend en onderhouden door adequaat opgeleid personeel.
- De technische voorzieningen voor de zuivering zijn bestemd voor de aangevoerde stoffen en zijn op de daarvoor bestemde wijze gebruikt. Daarnaast worden de voorzieningen zo veel en zo vaak als nodig is onderhouden.
- De kwaliteit van het effluent van de zuiveringstechnische voorziening wordt bewaakt. In geval van een ontoelaatbare afwijking wordt ingegrepen volgens vaststaande procedures.
- De achtergehouden stoffen worden zo vaak als nodig uit de voorziening verwijderd en daarna op de juiste wijze opgeslagen en verwerkt.
- De voorzieningen zijn zodanig geplaatst dat bij een calamiteit met een hoog risico geen directe afstroming kan plaatsvinden.
- Er moeten voldoende en adequate draagbare brandblusmiddelen beschikbaar zijn.
- De kwaliteit van het influent van de zuiveringstechnische voorziening(en) dient te worden bewaakt op de voor de verwerking van het afvalwater relevante parameters. In geval van een ontoelaatbare afwijking wordt ingegrepen volgens vaststaande procedures. Deze procedures zijn voor het bevoegd gezag inzichtelijk.

Voor Huntsman is een stoffenlijst met insluitsystemen beschikbaar, indien echter daaruit de vloeistoffen worden geselecteerd, gaat het al om minimaal 150 insluitsystemen met tientallen stoffen. Het vullen van bovenstaande tabel (en daarna nog één) is daarmee behoorlijk arbeidsintensief en gevoelig voor (kleine) wijzigingen. Het vult vele pagina's in de rapportage en voegt inhoudelijk niets toe.

Berekening risico's

De software voor een MRA, Proteus III, berekent risico's per insluitsysteem voor het daarbij horende lozingspad (afstroomroute). Hierbij worden de risico's van meerdere insluitsystemen niet bij elkaar opgeteld. Twee of drie reactoren met 40 m³ benzeen geven dus geen groter risico dan één reactor met 40 m³ benzeen. Indien de afstroomroute gelijk is, zullen de resultaten voor beide situaties gelijk zijn. Uiteraard hoort bij een andere afstroomroute een ander resultaat, een reactor direct naast het water geeft vaak een groter risico dan een reactor midden op het terrein.

Om deze reden is ervoor gekozen om voor iedere afstroomroute binnen de inrichting van Huntsman, het insluitsysteem met het grootste milieurisico te selecteren en deze op te nemen in de MRA.

Dit zal ongeveer overeenkomen met de selectie zoals die in de MRA uit 2011 is opgenomen. In de praktijk zal het vaak het grootste insluitsysteem met de (milieu) gevaarlijkste stof per deelfabriek zijn. Binnen iedere deelfabriek is namelijk over het algemeen een zelfde afstroomroute aanwezig. Er is wel getoetst of echt het insluitsysteem met het grootste risico is geselecteerd, maar een groot deel van de hele kleine insluitsystemen met minder bezwaarlijke stoffen is niet in de selectietabellen opgenomen.

Bij het bepalen van het grootste risico, wordt naast het volume uiteraard ook gekeken naar de MRA relevante eigenschappen zoals toxiciteit, brandbaarheid, drijfslagvorming en BZV, maar ook de kans op falen van de verschillende typen activiteiten.

Binnen de inrichting is er een lijst voorhanden van de aanwezige stoffen binnen de inrichting en de eigenschappen van deze stoffen (voor zover bekend). Deze lijst is voor het bevoegd gezag opvraagbaar maar voor derden is deze vertrouwelijk en niet opvraagbaar. De voor de selectie gebruikte stoffenlijst is ook beschikbaar.

4.4 Selectie stoffen en insluitsystemen

Voor de daadwerkelijke selectie is uitgegaan van de volledige lijst met insluitsystemen per deelfabriek, waarop de volgende stappen zijn toegepast.

1. Gassen zijn buiten beschouwing gelaten; er zijn een aantal toxische gassen aanwezig op de locatie, deze zullen echter naar de lucht ontsnappen in geval van een incident.
2. Stoffen met een hoog milieurisico zijn als eerste beschouwd. Dit zijn stoffen die aquatoxisch zijn (LC50 < 100 mg/l), een hoge BZV hebben en/of drijfslagvormend zijn. Omdat per deelfabriek voldoende aquatoxische stoffen aanwezig zijn in grotere insluitsystemen, zijn minder milieugevaarlijke stoffen en kleinere insluitsystemen buiten beschouwing gelaten.
3. Gezien het grote aantal aanwezige insluitsystemen met milieugevaarlijke stoffen per afstroomroute, zijn stoffen die in kleinere hoeveelheden dan 1000 kg in de inrichting voorkomen niet meegenomen in de selectie (door middel van een filter in de complete stoffenlijst).
4. Van de overgebleven stoffen en insluitsystemen is per fabriek, dus per afstroomroute, een aantal grote opslagtanks en productie installaties geselecteerd. Tevens is per fabriek een verladingsactiviteit (alleen wegtransport aanwezig) en één leiding met milieugevaarlijke stoffen ingevoerd.

Middels deze selectiecriteria is niet het vermoeden ontstaan dat hierdoor een onderschatting van risico's plaatsvindt of dat afstroommogelijkheden onterecht niet in kaart worden gebracht. Als gevolg is het niet nodig geacht het model aan kleinere hoeveelheden te onderwerpen.



4.5 Lozing CAB

De schadelijkheid van (incidentele) lozingen voor de CAB wordt bepaald door de inhibitie concentratie (IC50) en het biologisch zuurstofverbruik (BZV) van de aanwezige stoffen. Daarnaast is uiteraard de capaciteit van de CAB relevant. In de volgende tabel worden de eigenschappen van de CAB weergegeven.

Tabel 4.1: Eigenschappen CAB Huntsman

Parameter	Waarde	Eenheid
Soort BWZI	Hoog belast	-
Doorstroming	gemengde batch	-
Volume	8620	m ³
Ontwerpbelasting	3415	kg/dag
Debiet	4200	m ³ /dag
Influent BZV	575	mg/l

4.6 Lozing op oppervlaktewater "Brittanniëhaven"

Het relevante oppervlaktewater voor Huntsman is de "Brittanniëhaven". De schadelijkheid van (incidentele) lozingen voor het oppervlaktewater worden bepaald door de acute toxiciteit, het biologisch zuurstofverbruik (BZV) en de mogelijkheid van vorming van drijfslagen van de aanwezige stoffen. Daarnaast is de omvang van het oppervlaktewater relevant. Hiervoor wordt normaliter een weegfactor toegekend, afhankelijk van de grootte van het ontvangende oppervlaktewater. Bij een kleiner oppervlaktewater dienen kleinere insluitsystemen te worden gemodelleerd, omdat een kleiner oppervlaktewater kwetsbaarder is dan bijvoorbeeld een grote rivier. Er zijn echter bij Huntsman insluitsystemen met aquatoxische stoffen aanwezig van enkele tientallen tot honderden kubieke meters per insluitsysteem. Hierdoor is het niet relevant om te bepalen of een drempelwaarde op 10, 100 of 1000 kilogram ligt. Dergelijke kleine insluitsystemen zullen qua resultaten immers in het niet vallen bij de grotere volumes. Voor de volledigheid is de drempelwaarde voor de Brittanniëhaven wel bepaald, met behulp van de rekentool voor het berekenen van de weegfactor voor Proteus III.

Weegfactor drempelwaarden lozingen op de Brittanniëhaven

De Brittanniëhaven is circa 217 meter breed en 15 meter diep. Conform de ingevulde rekentool wordt voor volume contaminatie (oplosbare stoffen) een weegfactor van 1 gehanteerd en voor oevercontaminatie (drijfslagvormende stoffen) een weegfactor van 1,38. Zie figuur 4.1.

Rekentool t.b.v. het berekenen van de weegfactor voor Proteus 3

Invoer

Op welk type oppervlaktewater wordt geloosd?

Geef de afmetingen (in meters) van het oppervlaktewaterlichaam Diepte (m) Breedte (m) (uit het VR 2016, par.3.3.3)

Resultaat

Weegfactor (oplosbare stoffen)

Weegfactor (drijfslagvormend stoffen)

Figuur 4.1: Weegfactor Brittanniëhaven

Normaal gesproken wordt deze factor toegepast op een basis drempelwaarde. In tabel 4.2 wordt dit zichtbaar: voor de zwaarst toxische stoffen met een LC50 < 1 mg/l is de drempelwaarde voor oplosbare stoffen 1000 kilogram (weegfactor 1). Alle stoffen met een volume van meer dan 1000 kilogram dienen daarmee te worden beschouwd. In de tweede selectiestap



is de drempelwaarde een factor 10 lager, deze geldt dan op installatieniveau. Voor Huntsman is het uitgangspunt voor de selectie een lijst met insluitsystemen met meer dan 1000 kilogram. Dit zijn er per fabriek al tientallen.

Tabel 4.2: Drempelwaarden eerste selectie oppervlaktewater (stoffen op inrichting niveau)

Effectparameter					
Acute toxiciteit	Zuurstof-depletie	Drijfslagvorming	Basis Drempel-waarde [Kg]	Drempelwaarde "Brittaniëhaven" [Kg] (wf=1) (oplosbare stof)	Drempelwaarde "Brittaniëhaven" [Kg] (wf=1,38) (drijfslagvormend)
R50/H400 E(L)C50 < 1 mg/l	BZV>1.5		1.000	1.000	
R51/ H411 1 < E(L)C50 < 10 mg/l	0,15<BZV<1,5		10.000	10.000	
R52/H412 10 < E(L)C50 < 100 mg/l	BZV<0,15	$\rho < 1.000 \text{ kg/m}^3$ en oplosbaarheid <100 mg/l	100.000	100.000	71.400
H413 100<LC50<1.000			1.000.000	1.000.000	
R53/ H413			10.000.000	10.000.000	

4.7 Toelichting stoffen

Gezien de aard van de aanwezige stoffen binnen de inrichting is vastgesteld welke stoffen representatief zijn om toegepast te worden bij het uitvoeren van de MRA subselectie en de Proteus III modellering. Het vaststellen vindt plaats op basis van de eigenschappen van de stoffen: LC50, BZV, IC50, drijfslagvorming, oplosbaarheid en dampspanning. Stoffen met een zeer lage IC50 en/of een hoge BZV waarde veroorzaken het falen van een afvalwaterzuivering.

De LC50 waarde en BZV waarde zijn bepalend voor het effect volumecontaminatie. Stoffen met een lage oplosbaarheid en een dichtheid kleiner dan water, leveren een bijdrage met betrekking tot het risico op drijfslagvorming. Gassen zijn niet beschouwd daar deze geen gevaar opleveren voor het ontvangende oppervlaktewater.

In Bijlage 3 is een overzicht opgenomen van de toegepaste aquatoxische stoffen en de eigenschappen van deze stoffen (voor zover bekend). De stoffeigenschappen zijn overgenomen uit de specifieke MSDS-en van Huntsman, waarbij ontbrekende gegevens zijn aangevuld vanuit de databank van chemiekaarten.nl. Een aantal stoffeigenschappen zijn slecht beschikbaar, waarbij aannames zijn gedaan. Dit wordt hieronder voor de betreffende stoffeigenschappen toegelicht.

Biologisch zuurstofverbruik, BZV

De BZV is vaak niet gegeven op een MSDS. Voor de BZV is daarom, indien de waarde onbekend is, een inschatting gedaan op basis van de afbreekbaarheid. Dit is gebaseerd op het gegeven [2] dat alleen (zeer) goed biologisch afbreekbare componenten een relevant risico voor zuurstofdepletie vertegenwoordigen. De afbraak van minder goed afbreekbare componenten verloopt dusdanig traag dat als gevolg van verspreiding dan wel verdunning in het watersysteem naar verwachting geen risico voor zuurstofdepletie zal bestaan.

Bij het inschatten is gewerkt met categorieën:

BZV >1,5: zeer grote zuurstofvraag (zeer goed afbreekbaar), aangehouden BZV: 1,5

BZV 0,15-1,5: grote zuurstofvraag (redelijk/goed afbreekbaar), aangehouden BZV: 1 (ook als default)

BZV < 0,15 kleine zuurstofvraag (slecht afbreekbaar), aangehouden BZV: 0,15

IC50 waarde

Bij ontbreken van de IC50 waarde in de MSDS van een stof is het tienvoud van de LC50 waarde aangehouden. Dit is conform een eerder advies van Rijkswaterstaat.

Geselecteerde stoffen en insluitsystemen

Voor de geselecteerde insluitsystemen is een kwantitatieve milieurisicoanalyse uitgevoerd met behulp van Proteus III. In hoofdstuk 5 wordt toegelicht hoe deze insluitsystemen en activiteiten zijn gemodelleerd. In bijlage 3 zijn de geselecteerde stoffen en insluitsystemen met hun kenmerken opgenomen.

5 Milieurisicoanalyse met Proteus III

5.1 Inleiding

De kwantificering van de milieurisico's is uitgevoerd met het computerprogramma 'Proteus III'. Met Proteus kunnen milieurisico's als gevolg van onvoorziene lozings op het oppervlaktewater worden bepaald, door lozingspaden aan installatieonderdelen toe te kennen. Lozingspaden zijn de routes waarlangs uitstromingen vanuit het installatieonderdeel op een watersysteem kunnen afstromen. Proteus III hanteert de faalkansen gebaseerd op een adequaat veiligheidsbeheer bij het bedrijf en een volledige toepassing van de stand der veiligheidstechniek.

De risicopresentatie van de MRA volgt uit de berekeningen met Proteus III. Hierin wordt de effectomvang van mogelijke verontreinigingen (verwachtingswaarde voor uitgestroomde hoeveelheid) en een beoordeling van de scenario's naar risicobijdrage gepresenteerd. Daarnaast volgt uit de risicopresentatie van Proteus III het risico voor het ontvangende oppervlaktewater ten aanzien van volumecontaminatie en oevercontaminatie (ook wel drijfslagvorming).

5.2 Modellerings

De gemodelleerde insluitsystemen en installaties met de aanwezige hoeveelheden en doorzet per insluitsysteem, zijn weergegeven in bijlage 3.

5.3 Aannames en uitgangspunten modellerings

Ten aanzien van de modellerings in Proteus III zijn verder de volgende aannames en uitgangspunten gebruikt:

Bulkopslag

- Indien de vulgraad van aan tank niet bekend of stabiel is, is deze op 100% gezet of conservatief ingeschat;
- Indien geen specifiek blusmiddel bekend is, is conservatief water als blusstof aangehouden;
- De zoutzuurtanks 2109A/B zullen in de praktijk niet altijd gevuld zijn. De tanks worden namelijk pas benut indien het reguliere zoutzuur transport vanuit MDI-2 naar Shinetsu niet mogelijk is. Het is daarom van belang om te allen tijde de tanks zo leeg mogelijk te houden om te beschikken over een zo groot mogelijke buffer indien in de toekomst het zoutzuurtransport minder of geen doorgang kan vinden. Voor deze tanks is daarom de vulgraad/duur bij (conservatieve) benadering ingevuld als 90% van de tijd 50% vol en 10% van de tijd 100% vol.
- Voor de zoutzuurtanks T2109A/B en de 14-T2216, is gezien hun omvang, gekeken naar hun werkelijke afstroommogelijkheden in geval van topping en is dit in het model nagebootst. Indien de tankput overstroomt bij topping, kan aan drie kanten de vloeistof niet in een riool terecht komen. Aan één kant (dus 25% kans) kan het richting een fabriek vloer stromen waarbij het via die vloer uiteindelijk in een riool terecht kan komen, maar die kans wordt ook klein geacht. Mede omdat ook nog eens sprake is van een opstaande rand waarin het riool zich bevindt. Daarom is met behulp van een zogenaamde kans-splitter een kans van 15% nagebootst dat de vloeistof uiteindelijk in het riool terecht komt.
- Bij de productie van MDI-1 staat V602A/B in een bund zonder afvoer. Indien bij instantaan falen de bundwand wordt overschreden dan loopt de inhoud over de straat. Hierbij is geen sprake van een nabijgelegen riool waar de inhoud terecht kan komen. Indien het plantsewersysteem toch bereikt wordt dan gaat de stroom via een stripper (capaciteit max 10 m³/uur) naar de CAB toe. Ook hierbij geldt dat een operator kan ingrijpen om de verpompings te stoppen dan wel om te leiden. Daarom is deze installatie (in een kopie van de MDI-1 productie) gemodelleerd als afvoerend op de terreinopvang of een zogenaamde 'eindput' van voldoende capaciteit.

Tankwagenverlading

- Voor zowel de afstroomroute bij MDI-1 als bij MDI-2 is een tankwagenverlading gemodelleerd voor 2 stoffen.

Productie

- Bij stofmengsels in productie installaties is een evenredige verdeling van de stoffen in het insluitsysteem aangehouden. Bij 3 stoffen is bijvoorbeeld 3x 33% aangehouden en bij 2 stoffen 2x 50%. Aangezien de schadelijkheid van de stoffen elkaar niet ver ontloopt, geeft dit een goede benadering van de werkelijkheid;
- Aangezien batchgewijze installaties wel continue gevuld zijn is hiervoor een continue installatie aangehouden.

Leidingwerk

- Per fabriek is één leiding met de conservatieve voorbeeldstoffen 'volume contaminatie' en 'oevercontaminatie' in het model opgenomen, ter illustratie van het grote aantal leidingen met aquatoxische danwel drijfslagvormende stoffen.
- Tevens is een leiding met zoutzuur opgenomen van 1000 meter, welke een goede indicatie geeft van de grootst mogelijke risico's veroorzaakt door een leiding op het terrein van Huntsman.
- De riolen AV3 en AV4 hebben beide geen openingen waar iets op in kan takken. De ingang heeft een stripper en de uitgang zit direct bij de CAB. Ook de zogenaamde serviceway, gelegen tussen de hoofdstraten (W19 en W20) heeft geen straatkolken, waardoor ook daar een spill niet kan afstromen naar een putje (en vervolgens de CAB). Hierdoor kunnen bij leidingbreuken of -lekkages geen vloeistoffen in die riolen terecht komen. Om die reden zijn de leidingen in die afstroomgebieden gemodelleerd als afvoerend op de terreinopvang of een zogenaamde 'eindput' van voldoende capaciteit.

Stukgoedopslag PGS 15

- De PGS hallen met opslag van gevaarlijke en niet gevaarlijke stoffen, hebben geen aansluitingen op een riool en zijn dus niet in de modellering meegenomen.

Afstroomroute en ontvangen oppervlaktewater

- Ter vereenvoudiging van de modellering en als conservatieve benadering is het bergende volume van het regenwaterrioleringsstelsel gelijkgesteld aan 1 m³;
- Buffertank T321 (1000 m³) is niet in het model opgenomen, omdat deze wordt gebruikt voor off-spec afvalwater en daardoor soms (deels) gevuld kan zijn.
- De Britanniëhaven staat via het Calandkanaal en de Nieuwe Waterweg in verbinding met de Noordzee. De getijdebeweging zorgt in de haven voor de verversing van water. Het water bestaat uit twee lagen waartussen nauwelijks menging plaatsvindt. Aangezien de netto stroomsnelheid relatief klein is ten opzichte van de getijde stroming is de Britanniëhaven beschouwd als een kanaal met een stromingssnelheid van 0.01 m/s en een dispersie in de stromingsrichting van 1 m²/s.
- Zoals toegelicht in paragraaf 2.3.2, is er een mogelijkheid om een afsluiter open te zetten en pompput 2 te laten overstorten naar pompput 1. In de huidige versie van Proteus III is echter een error aanwezig waardoor de resultaten van pompputten soms niet of niet goed worden berekend. Deze error is bij Rijkswaterstaat bekend. Het is gebleken dat deze error de resultaten beïnvloedt, indien in het model pompput 2 overstroomt naar pompput 1. Er worden dan geen resultaten berekend voor de units in dit lozingspad (dus upstream pompput 2). Omdat pompput 2 in werkelijkheid ook niet automatisch overstroomt naar pompput 1 is ervoor gekozen om in het model de overstrom van pompput 2 aan te sluiten op de calamiteitenopvang in plaats van pompput 1. Pompput 1 is 1000 m³ en de calamiteitenopvang is 950 m³ dus dit is op zich vergelijkbaar. De normale afvoer van pompput 2 is naar de CAB, dus het is niet dat deze wordt gebypassed door deze alternatieve modellering.
- Tevens is de CAB uitgerust met een alarmering op pH. Indien de pH daalt dan zal een alarm afgaan en kan de aanvoer tevens geschakeld worden door de CAB operator naar de buffertank.

5.4 Uitstromingsscenario's zoals berekend door Proteus (standaard in software aanwezig)

In de onderstaande paragrafen zijn de scenario's zoals deze standaard in de "blackbox" van Proteus zijn vertegenwoordigd beschreven [6]. Voor de insluitsystemen zijn in Proteus scenario's gedefinieerd. In de gedefinieerde scenario's worden drie beeldfrequentiebanden gedefinieerd [4]:

- Kans op intrinsiek falen containment (Falen);
- Kans op uitstroming door onjuiste handelingen operator (Handelingen);
- Het al dan niet effectief optreden bij een calamiteit (Repressie).

Het concept van scenariodefinities is gerealiseerd door lozingspaden aan installatieonderdelen toe te kennen. Lozingspaden zijn de routes waarlangs uitstromingen vanuit het installatieonderdeel op een watersysteem kunnen afstromen. Proteus III hanteert de faalkansen gebaseerd op een adequaat veiligheidsbeheer bij het bedrijf en een volledige toepassing van de stand der veiligheidstechniek.

5.4.1 Bulkopslag

Bulkopslag ontvangt uitstroming van de opslagtanks. Bij instantaan falen wordt de topping-ontwikkeling aangeroepen. Bij continue uitstroming wordt de spigotontwikkeling aangesproken.

Topping

Topping is het verschijnsel dat kan optreden bij het instantaan falen van een tank in een tankput. Hierbij kan door beweging van de plotseling vrijkomende inhoud van de tank een hoeveelheid vloeistof over de rand van de tankput golven. Deze hoeveelheid is afhankelijk van de hoogte van de tankput en de hoogte van het vloeistofniveau in de tank.

Spigot

Spigot treedt op bij de continue uitstroming uit een tank in een tankput. Door een lek (gat) in de tankwand ontstaat een straal waardoor een deel van de inhoud over de rand van de tankput spuit. De hoeveelheid die over de rand van de tankput stroomt, is afhankelijk van de hoogte van de tankput, de hoogte van het vloeistofniveau ten opzichte van de tankput, de afstand van de tank tot de rand van de tankput en de diameter van de tank.

Brandscenario's

Bij brandbare stoffen wordt rekening gehouden met een brandscenario. Hierbij wordt alleen gekeken naar de tankputbrand. De ontwikkelingen zijn afhankelijk van de brandduur. De brandduur wordt bepaald uit de hoeveelheid brandbaar materiaal en het oppervlak van de plasbrand. Als de brandduur langer is dan de kritieke brandduur wordt rekening gehouden met het vrijkomen van de inhoud van één van de overige tanks. De hoeveelheid bluswater wordt vastgesteld op basis van de brandduur en het oppervlak van de brand. Als de brandduur groter is dan een minimum brandduur, wordt aangenomen dat alle in de tankput aanwezige tanks worden gekoeld met water.

5.4.2 Leidingtransport

Er wordt uitsluitend het scenario falen van de leiding beschouwd. Het scenario falen van de leiding kent twee ontwikkelingen: lekkage en breuk. De bronsterkte wordt afgeleid van de diameter van de leiding, onder de aanname van een vaste vloeistofsnelheid van 4,8 m/s. Er wordt aangenomen dat de diameter van een lek gelijk is aan 10% van de diameter van de overslagverbinding, met een maximum van 5 cm. De uitstroomtijd is afhankelijk van het toezicht. De frequentie van het optreden van dit scenario is evenredig met de fractie van de tijd in bedrijf. In een industriële omgeving zijn er voorzieningen om in de praktijk bij het falen van een leiding een insluitsysteem af te sluiten. De lengte van dit insluitsysteem wordt opgenomen in het model. De lozing uit een falende leiding wordt beperkt door deze lengte.

5.4.3 Continu en Batch productie proces

De unit productie neemt de lozingen over van de installaties. Eventuele lozingen via het koelwater (lekkage binnenmantel) worden doorgegeven aan de bufferconnector. De overige uitstromingen vinden plaats op de vloer van productie. Afhankelijk van de waarden van de doorstroomafsluiter en de opvangcapaciteit van productie worden de lozingen (of een fractie van de lozingen) doorgegeven aan de overstroomconnector (rood) en/of de doorstroomconnector (blauw).

Brand vindt uitsluitend plaats bij het vrijkomen van een brandbare vloeistof uit één van de installaties. Er wordt geen domino-effect aangenomen. Het oppervlak van de brandende plas is gelijk aan het oppervlak van de Productie-unit. Bij de afwezigheid van een opvangcapaciteit (als het bergend volume = 0) wordt een vrij spreidende plas aangenomen. De brandduur en het bluswatervolume worden berekend op basis van het plasoppervlak. Het bluswater wordt berekend op basis van het oppervlak van de brandende plas.

5.4.4 Stukgoed opslag

De lozingen bij gebeurtenissen zonder brand worden van de opslagsectie verkregen. Daarnaast is er een brandscenario. De ontwikkelingen in een brandscenario zijn onderverdeeld in een aantal discrete oppervlaktes: 20, 50, 100, 300, 900, 1500 en 2500 m². De kans dat een brand zich ontwikkelt tot een van de oppervlaktes is afhankelijk van het brandbestrijdingssysteem en de grootte van de opslag. De ontwikkelingskansen worden mede bepaald door de kans op zuurstofbeperking. De kans op zuurstofbeperking is afhankelijk van het type loods (buitenopslag/overig), type deuren en rookluiken.

Zowel de hoeveelheid bluswater, de fractie van de bij de brand betrokken opslag die met het bluswater afstroomt en de blustijd zijn afhankelijk van het blussysteem en van de ontwikkeling van de brand (brandend oppervlak). De toxische eigenschappen van de vrijgekomen stoffen worden bepaald door de betreffende secties als mengsels te beschouwen. Aangenomen wordt dat de uitstroomduur van de lozing gelijk is aan de blustijd.

5.4.5 Verlading tankwagen

Er zijn drie scenario's: falen van de tankwagen, falen van de overslagverbinding en overvullen. Bij het scenario falen van het transportmiddel wordt uitsluitend instantaan falen van het transportmiddel beschouwd. De bronsterkte is gelijk aan de door de gebruiker opgegeven laadgewicht transportmiddel. De uitstroomtijd bedraagt 60 seconden. De frequentie van het optreden van dit scenario is evenredig met de tijd aanwezig en het aantal bezoeken. Het aantal bezoeken wordt afgeleid uit de doorzet en het laadgewicht transportmiddel.

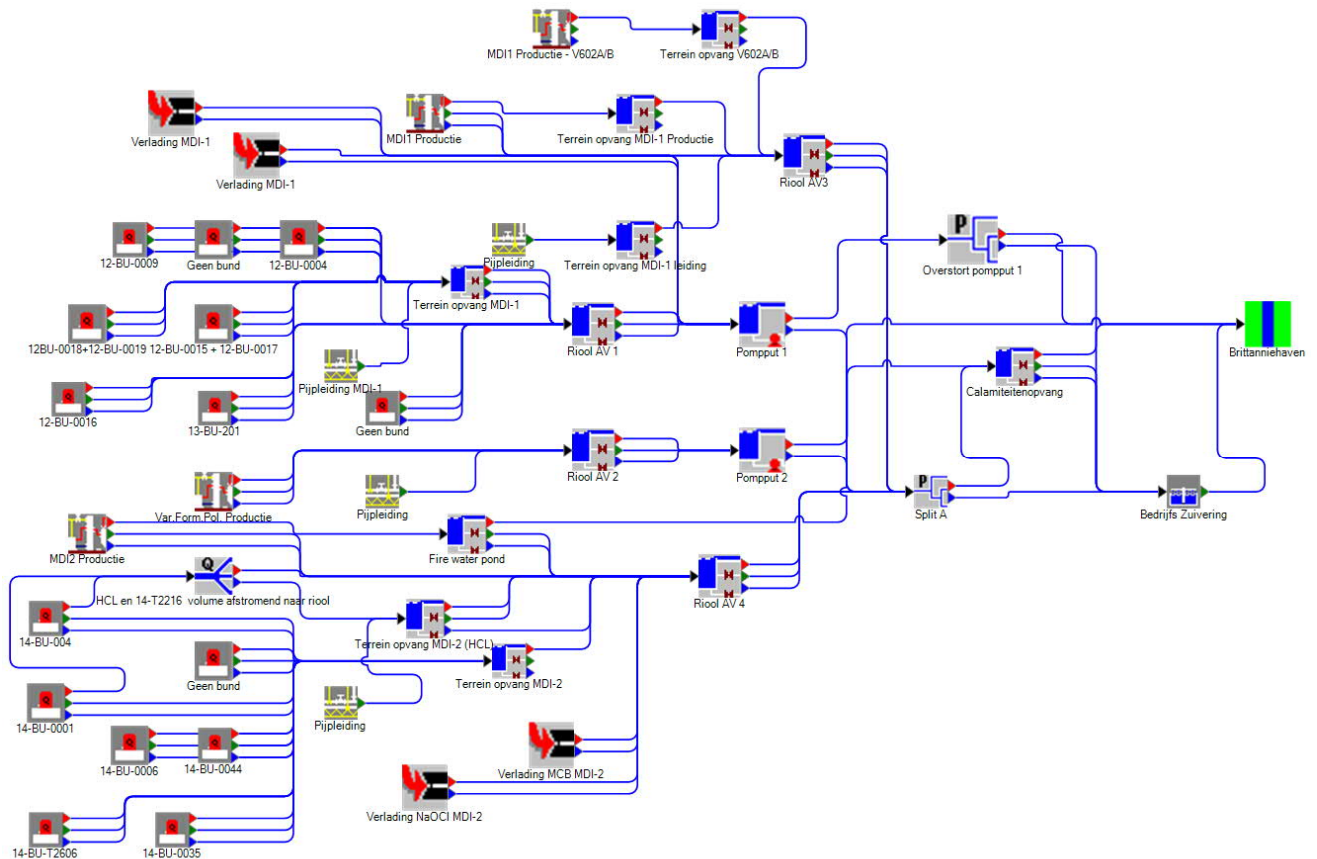
Het scenario falen van de overslagverbinding kent twee ontwikkelingen: lekkage en breuk van de overslagverbinding. De bronsterkte wordt afgeleid van de diameter van de overslagverbinding, onder de aanname van een vaste vloeistofsnelheid van 4,8 m/s. Er wordt tevens aangenomen dat diameter van een lek gelijk is aan 10% van de diameter van de overslagverbinding. De uitstroomtijd is generiek en bedraagt 20 seconden. De frequentie is evenredig met het aantal overslagen.

Het scenario overvullen wordt alleen toegepast bij het laden van het voertuig. Het uitstroomdebiet is gelijk aan het debiet van het laden. Deze is afgeleid van de diameter van de overslagverbinding. De uitstroomtijd bedraagt 20 seconden. Bij alle gedefinieerde scenario's wordt aangenomen dat de gehele uitstroming in de laad-/losplaats terecht komt. Als het bergend volume kleiner is dan de hoeveelheid die in de laad-/losplaats vrijkomt, zal de laad-/losplaats overstromen. Afhankelijk van de waarde van de eigenschap van de afsluiter zal een deel van de uitstroming via de doorstroomconnector worden doorgegeven. Het brandscenario treedt op als er een uitstroming van een brandbare stof in de laad-/losplaats plaatsvindt. De frequentie van een brand wordt vastgesteld uit frequentie van de uitstromingen en de kans op ontsteking van de uitgestroomde vloeistof. De ontstekingskans is afhankelijk van het vlampunt.



5.5 Lozingspaden

Voor een beschrijving van de afstroomroutes bij ongewenste uitstroming wordt verwezen naar paragraaf 2.3. In onderstaande figuur zijn de afstroomroutes zoals gemodelleerd in Proteus III weergegeven.



Figuur 5.1: Lozingspaden Proteus III model

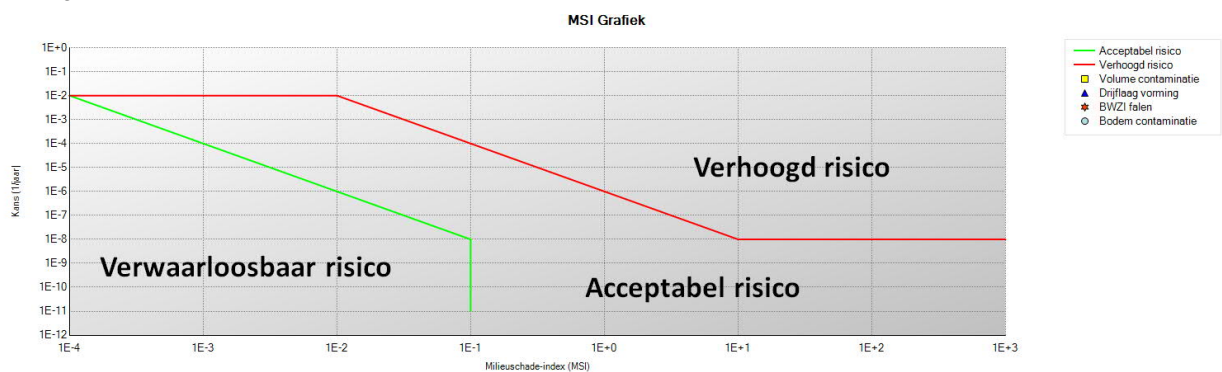


6 Resultaten milieurisicoanalyse Proteus

In bijlage 4 is de Proteus III rapportage opgenomen voor Huntsman. Hierin zijn alle ingevoerde gegevens en resultaten opgenomen. De grootte van de uitstromingen en de kansen en vervolgekansen worden in Proteus automatisch toegekend aan de gedefinieerde insluitsystemen, opvangputten en het ontvangend watersysteem of de BWZI/CAB. In de volgende paragrafen wordt dieper ingegaan op de gegenereerde resultaten ten aanzien van volumecontaminatie, falen BWZI en drijfslaagvorming.

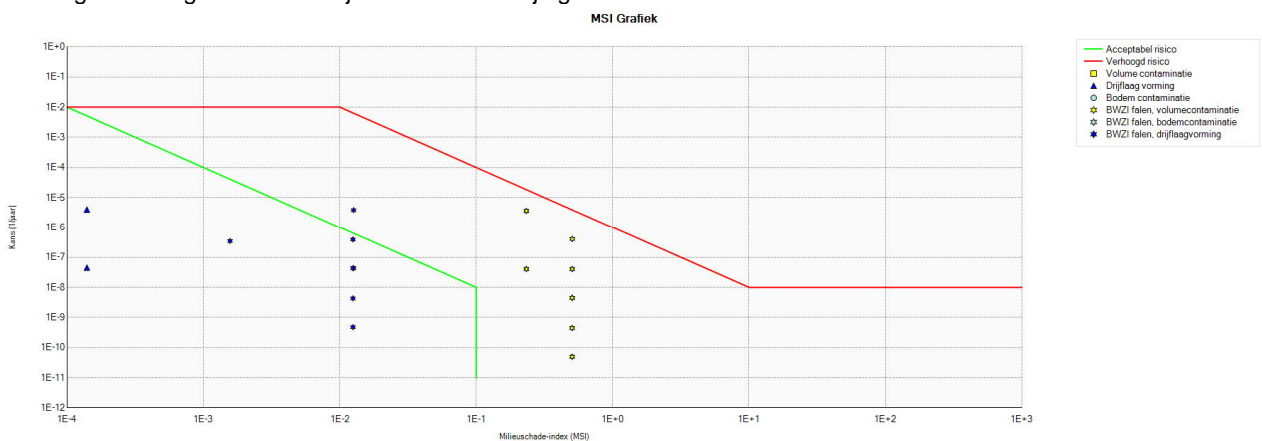
6.1 Resultaten algemeen

In de onderstaande figuren zijn de door Proteus III berekende frequentie en volume contaminatie weergegeven en is tevens aangegeven wat het kwantitatieve risiconiveau is. Hierbij zijn de waarden gehanteerd zoals beschreven in het RWS uitvoeringskader [7], zie figuur 6.1. Hierbij dient te worden opgemerkt dat het falen van de BWZI zelf wel wordt geplott in de MSI-grafiek, maar dat er geen referentie voor is ontwikkeld. Het is een indicatie van het falen; geen toetsing of dit acceptabel is of niet. Eventuele volumecontaminatie of drijfslaagvorming als gevolg van ongezuiverd uitstromen van een falende BWZI wordt wel getoond binnen het referentiekader daarvoor.



Figuur 6.1: Standaard grafische weergave effectenanalyse Proteus III

In de volgende figuur is het resultaat voor de hele inrichting grafisch weergegeven. De verschillende punten in de grafiek staan voor verschillende installaties en geven voor die installaties ook de verschillende scenario's conform paragraaf 5.4 weer. De getalsmatige resultaten zijn af te lezen in bijlage 4.



Figuur 6.2: Grafische weergave effectenanalyse Proteus III (hele inrichting)

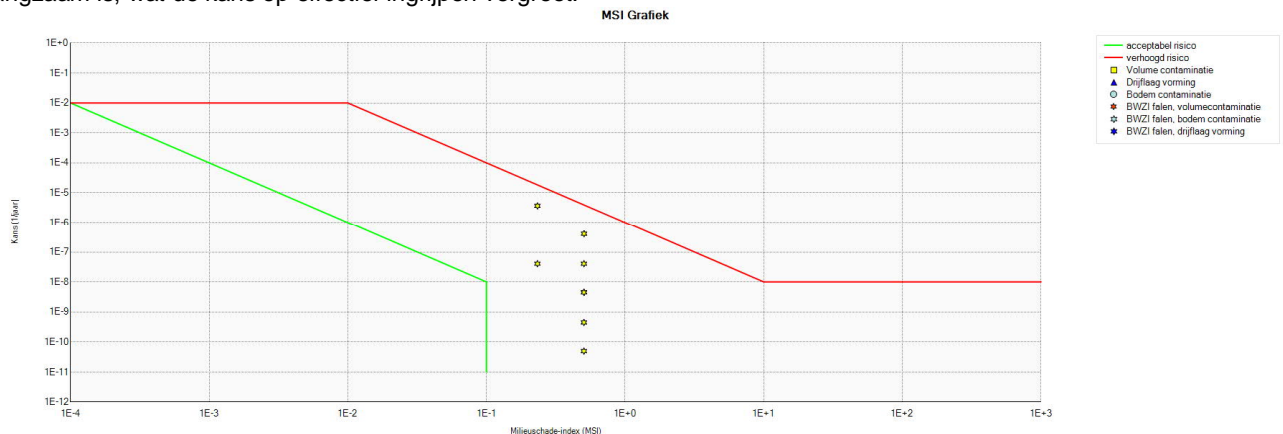
Omdat figuur 6.2 geen duidelijk beeld van het risico voor een specifieke installatie of activiteit geeft, worden in de hierna volgende figuren de resultaten voor een aantal verschillende activiteiten getoond.

6.2 Volumecontaminatie of drijfslagvorming door directe afstroom

Aquatoxische of drijfslagvormende stoffen kunnen soms direct afstromen naar het oppervlaktewater en zo volumecontaminatie veroorzaken. Er worden geen risico's voor volumecontaminatie en slechts twee verwaarloosbare risico's voor drijfslagvorming berekend; directe afstromingen bereiken het oppervlaktewater niet of nauwelijks (er zijn geen gele vierkanten en slechts 2 blauwe driehoeken in figuur 6.3). Dit risico is dan ook verwaarloosbaar.

6.3 Volumecontaminatie door falen BWZI

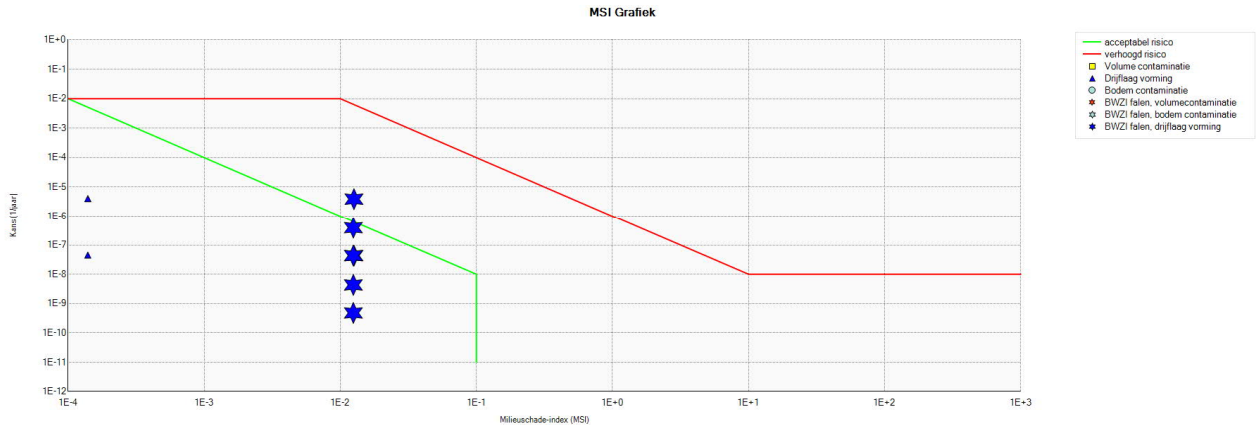
Figuur 6.3 toont de installatie met het grootste risico voor het falen van de BWZI met als gevolg volumecontaminatie. Dit is de opslag van zoutzuur in 14-T-2109 A/B. Deze risico's zijn acceptabel. Daarnaast zijn deze risico's het resultaat van een conservatieve modellering. In werkelijkheid gaat de enige afstroomroute door een fabriek waarbij verschillende mogelijkheden zijn om de afvoer te sluiten of om te leiden. Daarnaast is de afvoercapaciteit beperkt, waardoor de afstroom langzaam is, wat de kans op effectief ingrijpen vergroot.



Figuur 6.3: Grafische weergave effectenanalyse volumecontaminatie (bulkopslag 14-T-2109A/B, zoutzuur)

6.4 Drijfslagvorming door falen BWZI

Overvullen van T-2611 (met smeerolie) vormt het grootste risico voor het falen van de BWZI met als gevolg drijfslagvorming, zoals in figuur 6.4 zichtbaar is. Deze risico's zijn acceptabel.



Figuur 6.4: Grafische weergave effectenanalyse BWZI falen, drijfslagvorming (overvullen T-2611)

6.5 Falen BWZI huidige situatie

Zoals eerder toegelicht wordt het falen van de BWZI wel getoond in de grafiek, maar is er geen referentie voor ontwikkeld. Voor de beoordeling van het risico voor het falen van de RWZI of een BWZI zijn landelijk nog geen criteria vastgelegd. Voor het falen van een RWZI zijn wel richtlijn criteria vastgesteld door het waterschap Brabantse Delta. Deze criteria zijn echter voor het falen van een RWZI, waarop het afvalwater van een gehele regio afstroomt. Het falen en daarmee ongezuiverd uitstromen van een dergelijke RWZI heeft veel grotere gevolgen dan het falen van een bedrijfsafvalwaterzuivering van Huntsman. Op het terrein van Huntsman kunnen daarnaast meer verschillende mitigerende maatregelen worden ingezet, zoals het bufferen en omleiden van bepaalde stromen. Om deze reden en omdat er wel resultaten zijn berekend voor volumecontaminatie en drijfslagvorming als gevolg van het falen van de BWZI, is het falen van de BWZI niet apart beschouwd.

6.6 Beheersen en opruimen drijfslagen

Conform paragraaf 6.4 kan alleen uitstroming plaatsvinden van drijfslagvormende stoffen via de BWZI en zijn de risico's ruimschoots acceptabel (figuur 6.4). Uitgangspunt van Rijkswaterstaat is echter, dat ook voor acceptabele risico's een opruimplicht geldt.

Huntsman is niet direct gelegen in het milieubeschermingsgebied van een Natura 2000-gebied en heeft gezien het zeer lage risico op drijfslagvorming geen specifiek contract voor het bestrijden van de gevolgen van incidenten en calamiteiten op het oppervlaktewater. Er is een bedrijfsbrandweer en uitgebreide noodorganisatie aanwezig, die snel actie kan ondernemen en indien nodig contact op kan nemen met een opruimdienst. Voor de volledigheid is in de onderstaande tabel wel de toetsing gedaan aan de stand der techniek voor het beheersen en opruimen van drijfslagen.

Stand der techniek opruimen drijfslagen

In de onderstaande tabel is de toetsing gedaan aan de stand der techniek voor het beheersen en opruimen van drijfslagen.

Tabel 6.3: Stand der techniek opruimen drijfslagen

	Stand der techniek	Ja/nee
1	Reactiesnelheid om de bestrijdingsdiensten te mobiliseren <0,5 uur	Ja



BILFINGER

	Stand der techniek	Ja/nee
2	Drijfslag binnen 2 uur beheersbaar	Ja
3	Is de tijd waarbinnen een contract kan worden afgesloten met een reinigingsbedrijf voor het opruimen van een drijfslag <2 uur.	Ja
4	Is in te zetten materieel van het reinigingsbedrijf binnen 6 uur ter plaatse	Ja
5	Wordt een scenario om een drijfslag te beheersen geoefend (onderdeel van het noodplan)	Ja*

* Het scenario van een drijfslag is ondergeschikt aan hogere risico's in het noodplan. Wel vindt training plaats van operators welke stappen genomen dienen te worden bij lekkages. Belangrijke onderdelen zijn het zo snel mogelijk stoppen van de lekkage, voorkomen dat het naar een riool gaat, en telefonisch contact met de CAB dat het riool wordt omgeleid naar de buffervoorziening. Middels deze acties wordt de risicobeheersing van een drijfslag geborgd.

Als drijfslagen in de haven dreigen te ontstaan, dan wordt professionele externe hulp ingeroepen om deze te beheersen.

Beschrijving beheersorganisatie

Voor een beschrijving voor het beheersen en opruimen van een drijfslag ten zien van de organisatie en beschikbare middelen wordt verwezen naar het bedrijfsnoodplan.

Inzetbare opruimcapaciteit (OC) en Realistische opruimtijd (OT)

Conform figuur 6.2 kan geen directe uitstroming plaatsvinden van drijfslagvormende stoffen in het oppervlaktewater. De Inzetbare Opruimcapaciteit (OC in m³/dag) en Realistische Opruimtijd (OT in dagen) zijn daarom niet berekend.

7 Conclusie

Met behulp van Proteus zijn risico's berekend voor het ontvangende oppervlaktewater en de BWZI. De berekeningen zijn gebaseerd op daadwerkelijk aanwezige hoeveelheden, waarbij ten behoeve van de modellering met een aantal conservatieve berekeningsaannames en een vereenvoudigde weergave van de infrastructuur van de afwatering is gewerkt. In de modellering is nog geen rekening gehouden met een aantal preventieve en repressieve maatregelen die op het terrein aanwezig of mogelijk zijn. Een voorbeeld zijn de analyzers in bepaalde delen van de fabriek, welke afwijkingen detecteren.

Aquatoxische of drijfslaagvormende stoffen kunnen soms direct afstromen naar het oppervlaktewater en zo volumecontaminatie veroorzaken. Er worden voor Huntsman echter geen directe risico's voor drijfslaagvorming of volumecontaminatie berekend; directe afstromingen bereiken het oppervlaktewater niet. Dit risico is dan ook verwaarloosbaar.

Er is een kans dat de BWZI van Huntsman faalt door een toegestroomde aquatoxische of drijfslaagvormende stof na een incident. De opslag van zoutzuur vormt het grootste risico voor volumecontaminatie als gevolg van falen van de BWZI. Overvullen van T-2611 (met smeeroil) vormt het grootste risico voor het falen van de BWZI met als gevolg drijfslaagvorming. In beide gevallen zijn de risico's acceptabel.



Referenties

1. "Beschrijving van de stand der veiligheidstechniek ten behoeve van de preventieve aanpak van de risico's van onvoorziene lozingen", Lelystad, 1999
2. "De selectie van activiteiten binnen inrichtingen t.b.v. het uitvoeren van studie naar risico's van onvoorziene lozingen", rapport 99.032, RIZA, mei 1999
3. Serida for Windows, Rijks Instituut voor Volksgezondheid en Milieu (RIVM), 2000
4. "Achtergronddocument Proteus", AVIV, Lelystad, 1998
5. "Integrale aanpak van risico's van onvoorziene lozingen", Commissie integraal waterbeheer, februari 2000
6. Handleiding Proteus III, versie 3.3, Rijkswaterstaat: A. Van Gulik/L. Braam/ P. Kuiper
7. RWS Uitvoeringskader risico's onvoorziene lozingen, 17 april 2007
8. Beoordelingskader van Rijkswaterstaat betreffende restrisico's van onvoorziene lozingen, 17 oktober 2013

Tebodin Netherlands B.V.
Milieurisicoanalyse (MRA)
Huntsman Holland B.V.

Ordernummer: T49966.00
Documentnummer: 3413645
Revisie: B
05 mei 2017
Pagina 33 / 37



Bijlage 1: Proces beschrijving Huntsman Holland B.V.

Zie Wabooaanvraag/ -vergunning, Waterwet aanvraag/ -vergunning en VR

Tebodin Netherlands B.V.
Milieurisicoanalyse (MRA)
Huntsman Holland B.V.

Ordernummer: T49966.00
Documentnummer: 3413645
Revisie: B
05 mei 2017
Pagina 34 / 37



Bijlage 2 : Plattegrond tekening en riolerings-tekening Huntsman Holland B.V.
Zie Wabooaanvraag/ -vergunning en VR

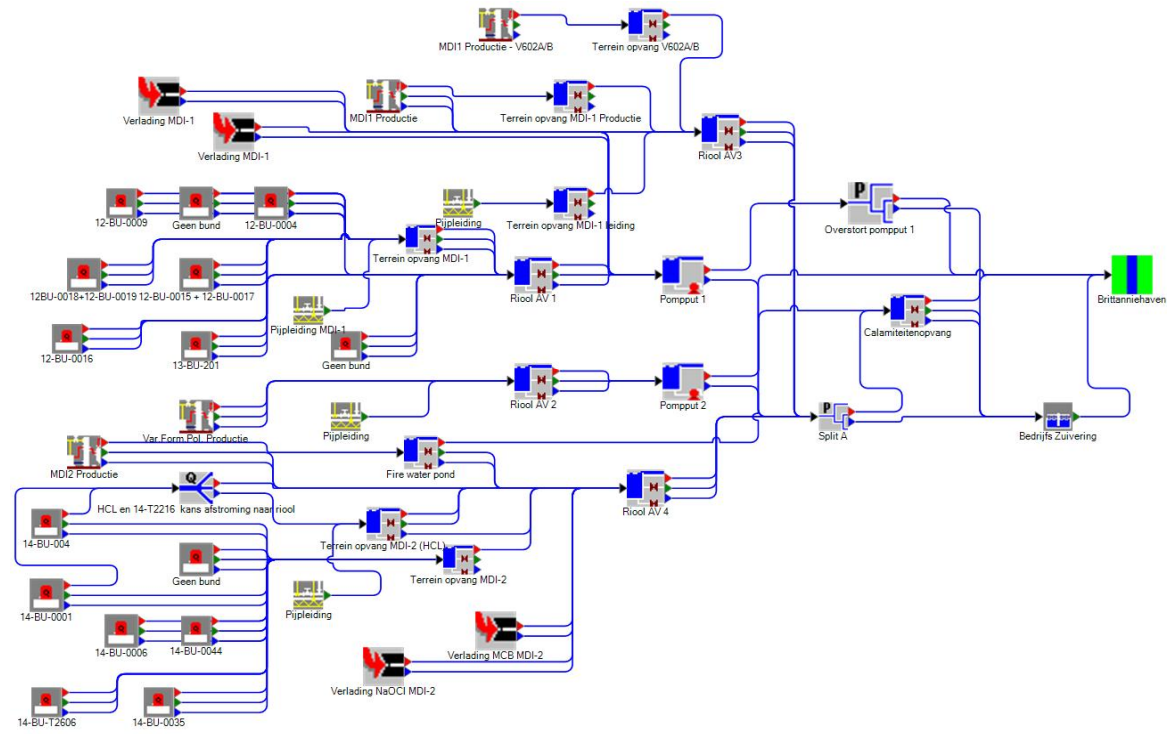
Tebodin Netherlands B.V.
Milieurisicoanalyse (MRA)
Huntsman Holland B.V.

Ordernummer: T49966.00
Documentnummer: 3413645
Revisie: B
05 mei 2017
Pagina 35 / 37



BILFINGER

Bijlage 3: Overzicht gemodelleerde insluitsystemen Huntsman Holland B.V.



Bulkopslag MDI-1

Bulkopslag MDI-1

Tankpit data											Data storage tanks														
Bund nr.	Bruto oppervlak bund [m2]	Netto oppervlak bund [m2]	Hoogte bund [m]	Bruto volume [m3]	Netto volume [m3]	Bufferend volume [m3]	Doorstroom afsluiter bund	Bufferen afsluiter bund	Blusstof	Aantal tanks	Tank no.	Type opslagtank	Bruto volume tank [m3]	Hoogte van de tank [m]	Hoogte grondvlak [m]	Stoffen	Gemiddelde vullingsgraad [%]	Fractie van de tijd aanwezig [%]	Diameter van de grootste aansluiting [m]	Brand-beveiligings-Systeem	Toezicht	Overvul-beveiliging	maximale tank inhoud [m3]	Hoeveelheid opgeslagen stof [kg]	Opmerkingen
12-BU-0018 + 0019	802,6	683,8	1,3	1003,3	854,7	854,7	Geen afvoer	Handbediend (gesloten)	schuim		12-T121A	Enkelwandig	490	9,000	0	ANILINE	75,00	100	8"	Geen	Beperkt	Enkelvoudig (automatisch + alarm)	367,5	497840	
Geen bund	-	-	-	-	-	0	Afvoer zonder afsluiter	Afvoer zonder afsluiter	water		12-V216	Enkelwandig	230	7,2	0	DADPM (voorbeeldstof volumecontaminatie)	85,00	100	4"	Geen	Beperkt	Enkelvoudig	195,5	229080	
12-BU-0004	425,0	286,2	1,3	487,0	372,0	372	Geen afvoer	Geen afvoer	water		12-V107A	Enkelwandig	115	5,500	0	MCB	80,00	100	4"	Sprinkler	Gegarandeerd	Enkelvoudig	92	115690	
12-BU-0009	-	-	-	-	-	0	Afvoer zonder afsluiter	Afvoer zonder afsluiter	water		12-T822	Enkelwandig	3	1,700	0	NATRIUM HYPOCHLORIET / CHLOORBLEEKLOOG	75,00	100	2"	Geen	Beperkt	Enkelvoudig	2,25	3330	
12-BU-0015 + 0017	134,6	88,6	1,5	168,2	132,9	132,9	Geen afvoer	Geen afvoer	water	2	12-V-102	Enkelwandig	70	6,000	0	HCL 30%	100,00	100	24"		Beperkt	Enkelvoudig	70	84000	
12-BU-0016	160,0		1,1		150,0	150	Handbediend gesloten	Geen afvoer	water		12-T-125	Enkelwandig	150	8,000	0	caustic soda (NaOH. Natronloog) 50%	100,00	100	24"	Geen	Beperkt	Dubbel onafhankelijk	150	166500	

Bulkopslag MDI-2

Tankpit data										Data storage tanks													
Bund nr.	Bruto oppervlak bund [m2]	Netto oppervlak bund [m2]	Hoogte bund [m]	Bruto volume [m3]	Bufferend volume [m3]	Doorstroom afsluiter bund	Bufferen afsluiter bund	Blusstof bund	Aantal tanks	Tank no.	Type opslagtank	Bruto volume tank [m3]	Hoogte van de tank [m]	Hoogte grondvlak [m]	Stoffen	Gemiddelde vullingsgraad [%]	Fractie van de tijd aanwezig [%]	Diameter van de grootste aansluiting [m]	Brand-beveiligings-Systeem	Toezicht	Overvul-beveiliging	maximale tank inhoud [m3]	Hoeveelheid opgeslagen stof [kg]
14-BU-0001	1258,6	781,33	1,5	1888	1172	Geen afvoer	Geen afvoer	Water		14-V2121	Enkelwandig	628	9	0,7	ANILINE / WATER / N2	100	100	8"	Geen	Beperkt	enkelvoudig	628	631140
										14-T2216	Enkelwandig	1043	8,5	0,7	DADPM	100	100	4"	Geen	Beperkt	enkelvoudig	1043	1026312
Geen bund	-	-	-	-	0	Afvoer zonder afsluiter	Afvoer zonder afsluiter	Water		14-T2611	Enkelwandig	2,75	1	0	LUBE OIL	100	100	6"	Geen	Beperkt	enkelvoudig	2,75	2381,5
14-BU-0006	345,6	342,00	1,5	518,4	513	Geen afvoer	Geen afvoer	Water		14-V2107A	Enkelwandig	198	4,3	1,8	MCB / N2	100	100	6"	Sprinkler	Gegarandeerd	enkelvoudig	198	214632
14-BU-0044	64,2	63	0,2	12,6	12,6	Geen afvoer	Geen afvoer	Water	1	T-2823	Enkelwandig	4,1	2,65	0,2	CHLOORBLEEKLOOG	75	100	2"	Geen	Beperkt	Enkelvoudig	4,1	4800
Keystone:																							
14-BU-0035	290	275	1,5	412	513	Geen afvoer	Geen afvoer	Water	2	T-3980 / 3981	Enkelwandig	188	4,3	1,8	MCB	80	100	6"	Sprinkler	Gegarandeerd	Enkelvoudig	188 (per tank)	203792 (per tank)
14-BU-004										T2109A	Enkelwandig	2500	15	1	HCL - zoutzuur 30%	50	90	6"	Geen	Camera's	dubbel onafhankelijk		
	1364	988	2,65	2919		Geen afvoer	geen afvoer	Water	2	T2109B	Enkelwandig	2500	15	1	HCL - zoutzuur 30%	50	90	6"	Geen	Camera's	dubbel onafhankelijk		
T2606	355,5		1,5	533		handbediend gesloten		Water		T2606	Enkelwandig	441	17	0	caustic soda (NaOH, Natronloog) 10%	100	100	24"	Geen	gegarandeerd	dubbel onafhankelijk		485100
14-BU-0004	46		1,5	70						V2170	Enkelwandig	45	4		methanol	100	100	8"	Sprinkler	Gegarandeerd			

Bulkopslag Var.Form.Pol.

Tankpit data											Data storage tanks													
Bund nr.	Bruto oppervlak bund [m2]	Netto oppervlak bund [m2]	Hoogte bund [m]	Bruto volume [m3]	Netto volume [m3]	Bufferend volume [m3]	Doorstroom afsluiter bund	Bufferen afsluiter bund	Blusstof	Aantal tanks	Tank no.	Type opslagtank	Bruto volume tank [m3]	Hoogte van de tank [m]	Hoogte grondvlak [m]	Stoffen	Gemiddelde vullingsgraad [%]	Fractie van de tijd aanwezig [%]	Diameter van de grootste aansluiting [m]	Brand-beveiligings-Systeem	Toezicht	Overvul-beveiliging	maximale tank inhoud [m3]	Hoeveelheid opgeslagen stof [kg]
-	36	36	0,1	3,6	3,6	3,6	Afvoer zonder afsluiter	Afvoer zonder afsluiter	water	1	13-T550	Enkelwandig	30	1	0	Di-ethyleenglycol	100	100			Beperkt (aanne)	Dubbel onafhankelijk	30	3180
13-BU-201	-	72	1,2	86	86	86	Handbediend (gesloten)	Handbediend (gesloten)	water	1	V101	Enkelwandig	58	7	0,6	propylene oxide	100	100	4* (onder vloeistoffijn)	Sprinkler	Toezicht & backup	Enkelvoudig	70	37350

Bulkoverslag tankwagen

Bulkoverslag tankwagen

Beschrijving verlaadplaats	Doorstroom afsluiter verlaadplaats	Netto opvang volume verlaadplaats [m3]	Oppervlak verlaadplaats [m2]	Blusstof	Diameter overslagverbinding [m]	Stoffen	Laden of lossen	Doorzet per jaar [ton]	Laadgewicht transportmiddel [ton]	Tijd aanwezig [uur]	Type overslagverbinding
MCB Verlaadplaats MDI-1	handbediend dicht	20	50	schuim	4 "	MCB	Lossen	300	30	2	Laadslang
NaOCl Verlaadplaats MDI-1	naar pompput 1	1	50	water	4 "	NaOCl	Lossen	300	30	2	Laadslang
MCB Verlaadplaats MDI-2	naar AV4 riool	1	50	schuim	4 "	MCB	Lossen	300	30	2	Laadslang
NaOCl Verlaadplaats MDI-2	bund met inhoud tank	30	50	water	4 "	NaOCl	Lossen	300	30	2	Laadslang

Productie - Batch of Continue MDI-1

Productieruimte data				Batch proces data of Continue proces data						Recepten batch reactor							Opmerkingen	
Beschrijving productieruimte	Doorstroom afsluiter productieruimte	Netto opvang volume [m3]	Reactor proces	Toezicht	Blusstof	Volume [m3]	Hoogte van de tank [m]	Diameter grootste aansluiting / pijp (warmte-wisselaar) [m]	Brand-beveiligings-Systeem	Gemiddelde vullingsgraad [%]	Druk [Pascal]	Run away reactie mogelijk	Gebruik warmte wisselaar	Samenstelling: Stoffen	Gemiddelde massa in reactor [kg]	Tijdfractie [%]	voorbeeldstof	
12-V230	afvoer zonder afsluiter	0	Continue proces	Toezicht & backup	Water	44,8	3	10"	Sprinkler	100	ATM	Nee	Nee	Aniline/DADPM/HCl	45786	100	33% Aniline/DADPM/HCl	jacketed tank
12-V209A	afvoer zonder afsluiter	0	Continue proces	Toezicht & backup	Water	42,5	3	10"	Sprinkler	100	ATM			Amine Brine	43350	100	100% aniline	BUND 12-BU-0035
12-V704	afvoer zonder afsluiter	0	Continue proces	Toezicht & backup	Water	33	2,3	6"	Sprinkler	100	ATM			Methanol	26136	100	100% Methanol	
12-V602A	geen afvoer	406	Continue proces	Toezicht & backup	Water	222	4,1	16"	Sprinkler	100	ATM			Caustic/MCB/Fosgeen	266373	100	33%Caustic/33%MCB/ 33%vb volumecontaminatie	(DRIJFLAAG+PROCES)
12-V206B	geen afvoer	406	Continue proces	Toezicht & backup	Water	222	4,1	16"	Sprinkler	100	ATM	Nee	Nee	Aniline/DADPM	12922	100		
12-V210	afvoer zonder afsluiter	0	Continue proces	Toezicht & backup	Water	41,2	2,75	6"	Sprinkler	100	ATM	Nee	Nee	Aniline/DADPM	29252	100		

Productie - Batch of Continue MDI-2

Productieruimte data				Batch proces data of Continue proces data						Recepten batch reactor				
Beschrijving productieruimte	Doorstroom afsluiter productieruimte	Netto opvang volume [m3]	Reactor proces	Toezicht	Blusstof	Volume [m3]	Hoogte van de tank [m]	Diameter grootste aansluiting / pijp (warmte-wisselaar) [m]	Brand-beveiligings Systeem	Samenstelling: Stoffen	Gemiddelde massa in reactor [kg]	Tijdfractie [%]	voorbeeldstof	Opmerkingen
14-C2405	Afvoer zonder afsluiter	0	Continue proces	Toezicht & backup	Water	10,7	3,3	10"	Sprinkler	MCB / FOSGEEN	11272,45	100	50/50 MCB /Vbstof	
14-V2207	Afvoer zonder afsluiter	0	Continue proces	Toezicht & backup	Water	74	7	12"	Sprinkler	ANILINE /DADPM / WATER	81400	100	33% per stof	
14-E2409	Afvoer zonder afsluiter	0	Continue proces	Toezicht & backup	Water	80	8	10"	Sprinkler	MCB / MDI	87760	100	100% MCB	
C-2202	Afvoer zonder afsluiter	0	Continue proces	Toezicht & backup	Water	63	7	10"	Sprinkler	Aniline / DADPM	64764	100	50/50 Aniline / DADPM	

Productie - Batch of Continue Var.Form. Pol.

Productieruimte data				Batch proces data of Continue proces data						Recepten batch reactor								
Beschrijving productieruimte	Doorstroom afsluiter productieruimte	Netto opvang volume [m3]	Reactor proces	Toezicht	Blusstof	Volume [m3]	Hoogte van de tank [m]	Diameter grootste aansluiting / pijp (warmte-wisselaar) [m]	Brand-beveiligings Systeem	Gemiddelde vullingsgraad [%]	Druk [Pascal]	Run away reactie mogelijk	Gebruik warmte wisselaar	Samenstelling: Stoffen	Gemiddelde massa in reactor [kg]	Tijdfractie [%]	voorbeeldstof	Opmerkingen
V562	Afvoer zonder afsluiter	0	Continue proces	Beperkt (aanneme)	water	91	9	10"	sprinkler	100		nee	nee	water/glycerine/KOH/polyolen/PO/EO	91000	100	volumecontaminatie en voorbeeldstof drijf/aagvorming	

Leidingtransport

Leiding omschrijving	Lengte [m]	Toezicht	Stoffen	Fractie van de tijd in bedrijf	Leiding diameter [inch]	Aantal leidingen	Lengte insluitsysteem [m]	Opmerkingen
Voorbeeld leiding MDI-1	1000	beperkt	voorbeeldstof volumecontaminatie	50%	8	1	100	Bij leidingbreuken of –lekkages kunnen geen vloeistoffen in die riolen terechtkomen; terreinopvang of een zogenaamde 'eindput' van voldoende capaciteit opgenomen.
Voorbeeld leiding MDI-1	1000	beperkt	voorbeeldstof drijfslagvorming	50%	8	1	100	Bij leidingbreuken of –lekkages kunnen geen vloeistoffen in die riolen terechtkomen; terreinopvang of een zogenaamde 'eindput' van voldoende capaciteit opgenomen.
Voorbeeld leiding MDI-2	1000	beperkt	HCL, zoutzuur	99%	8	1	100	Bij leidingbreuken of –lekkages kunnen geen vloeistoffen in die riolen terechtkomen; terreinopvang of een zogenaamde 'eindput' van voldoende capaciteit opgenomen.
Voorbeeld leiding MDI-2	1000	beperkt	voorbeeldstof volumecontaminatie	1%	8	1	100	Bij leidingbreuken of –lekkages kunnen geen vloeistoffen in die riolen terechtkomen; terreinopvang of een zogenaamde 'eindput' van voldoende capaciteit opgenomen.
Voorbeeld leiding Var.Form.Pol.	1000	beperkt	voorbeeldstof volumecontaminatie	50%	8	1	100	
Voorbeeld leiding Var.Form.Pol.	1000	beperkt	voorbeeldstof drijfslagvorming	50%	8	1	100	

Keuze in:

Putten en Riolering

Putten										
Algemeen					Standaardput			Pompput		
Naam put	Puttype	Aansluiting van	Aansluiting naar	Bergend volume [m3]	Bufferend volume [m3]	Afsluiter (doorstromen)	Afsluiter (bufferen)	Volume activering pomp [m3]	Capaciteit pomp [m3/uur]	Pomptype [-]
Pompput 1	pompput	Installaties	AWZI / Brittaniehaven	1000	-	-	-	-	240	Automatisch (enkelvoudige niveaucontrole)
Pompput 2	pompput	Installaties	AWZI / Pompput 1	160	-	-	-	-	160	Automatisch (enkelvoudige niveaucontrole)
Calamiteitenopvang (bufferbak V320)	standaard put	Pompput 1 en 2	AWZI	950	950	Handbediend (gesloten)	Handbediend (gesloten)	-	-	-
Fire water pond	standaard put	MDI opslag MDI-2 productie	Overstort haven	800	800	Handbediend (gesloten)	Handbediend (gesloten)	-	-	-

Riolering				
Naam Riool	Afsluiter (doorstromen)	Afsluiter (bufferen)	Bergend volume [m3]	Bufferend volume [m3]
Gemengd riool	Afvoer zonder afsluiter	Afvoer zonder afsluiter	0	0

Riool AV1 (aangesloten op pompput 1) heeft een bergend vermogen van 1000 m3. Dit is nu opgenomen bij pompput 1.

Afscheider			
Naam	Capaciteit [m3]	Afvoerwijze drijfslag	Afvoerdebit drijfslag [m3/s]
-			

Splitter		
Type	Kans top	Volumefractie top
Overstort pompput 2		
Overstort pompput 1 naar Brittaniehaven	0,03 (6 x per jaar)	0,02

BWZI

Naam	Type zuivering	Type doorstroming	Volume [m3]	Ontwerp belasting [kg/d]	debiet [m3/d]	Influent BZV [mg/L]	Opmerking
AWZI	Hoogbelast Aerobe zuivering	Gemengde batch	8620	3415	4200	575	Het is een aerobe zuivering in carrouselvorm. Cijfers zijn op basis van gemiddelde laatste 3 jaar.
AWZI CAB (nieuwe situatie)	Hoogbelast Aerobe zuivering	Gemengde batch	12500	8500	4200	575	Volume: 8000 (binnenste ring) + 4500 (buitenste ring). Het daadwerkelijke debiet en influent kan veel hoger in de toekomst. Huidige waarden zijn gebaseerd op situatie na opstart (fase 1).

Tebodin Netherlands B.V.
Milieurisicoanalyse (MRA)
Huntsman Holland B.V.

Ordernummer: T49966.00
Documentnummer: 3413645
Revisie: B
05 mei 2017
Pagina 36 / 37



BILFINGER

Bijlage 4: Proteus III rapportage voor Huntsman Holland B.V.

Rapportage

Bijlage 4 Proteusrapportage, 2017-05-05, 05:15:14

1 Projectgegevens

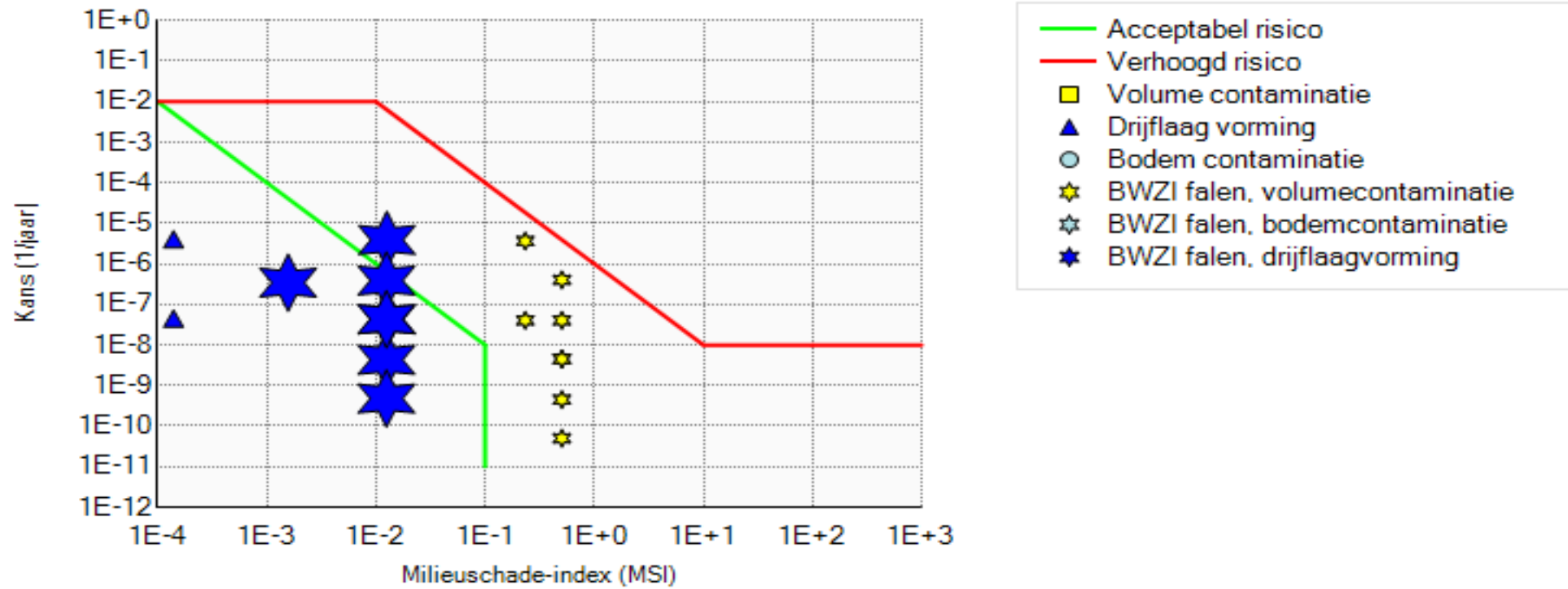
1.1 Bedrijfsgegevens

Bedrijfsnaam	Huntsman	
Omschrijving	MRA	
Contactpersoon	E. Smits	
Telefoon		
E-Mail		
Postadres	Merseyweg 10	
Postcode		
Plaats	Rotterdam-Rozenburg	
UitgevoerdDoor	Harkema / Vermeer	
VanBedrijf	Tebodin	
OppervlakBedrijfsterrein	0	m ²
Centroïde		
X-coördinaat	0	
Y-coördinaat	0	

2 Executive Summary

2.1 MSI Grafiek

MSI Grafiek



2.2 Verhoogd risico units

Group	Afstroomroute	Frequentie	Massa uitstroom	Volume contaminatie	MSI Factored	Weegfactor	Oever Contaminatie	Uitstroom tijd	Bluswater	RWZI			LC50 gewogen
										inhibitie	overbelasting	Actief slib beïnvloeding	
		[j-1]	[kg]	[m3]			[m]	[s]	[m3]				[m3]
Geen bund,14-T2611,Overvullen,Lube oil -smeerolie Hntsm	R45[D]->D352[O]->D119[D]->D274[D]->D207[B]->W23	3.886E-6	8.970E+4		0.000E+0	1.000E+0		2.880E+4	0.000E+0	ja (BWZI)		ja (BWZI)	8.970E+5
Geen bund,14-T2611,Overvullen,Lube oil -smeerolie Hntsm	R45[D]->D352[O]->D119[D]->D274[O]->D194[D]->D207[B]->W23	4.317E-8	8.970E+4		0.000E+0	1.000E+0		2.880E+4	0.000E+0	ja (BWZI)		ja (BWZI)	8.970E+5
Geen bund,14-T2611,Overvullen,Lube oil -smeerolie Hntsm	R45[D]->D352[O]->D119[B]->D274[D]->D207[B]->W23	3.886E-7	8.881E+4		0.000E+0	1.000E+0		2.880E+4	0.000E+0	ja (BWZI)		ja (BWZI)	8.881E+5
Geen bund,14-T2611,Overvullen,Lube oil -smeerolie Hntsm	R45[D]->D352[O]->D119[B]->D274[O]->D194[D]->D207[B]->W23	4.317E-9	8.881E+4		0.000E+0	1.000E+0		2.880E+4	0.000E+0	ja (BWZI)		ja (BWZI)	8.881E+5
Geen bund,14-T2611,Overvullen,Lube oil -smeerolie Hntsm	R45[D]->D352[O]->D119[O]->D274[D]->D207[B]->W23	4.317E-8	8.881E+4		0.000E+0	1.000E+0		2.880E+4	0.000E+0	ja (BWZI)		ja (BWZI)	8.881E+5
Geen bund,14-T2611,Overvullen,Lube oil -smeerolie Hntsm	R45[D]->D352[O]->D119[O]->D274[O]->D194[D]->D207[B]->W23	4.797E-10	8.881E+4		0.000E+0	1.000E+0		2.880E+4	0.000E+0	ja (BWZI)		ja (BWZI)	8.881E+5
14-BU-0001,14-T2216,Topping,DADPM Hntsm	R49[O]->D410[O]->D119[D]->D274[D]->D207[B]->W23	4.050E-6	1.479E+6		0.000E+0	1.000E+0		2.880E+4	0.000E+0	ja (BWZI)			9.287E+6
14-BU-0001,14-T2216,Topping,DADPM Hntsm	R49[O]->D410[O]->D119[D]->D274[O]->D194[D]->D207[B]->W23	4.500E-8	1.479E+6		0.000E+0	1.000E+0		2.880E+4	0.000E+0	ja (BWZI)			9.287E+6
14-BU-0001,14-T2216,Topping,DADPM Hntsm	R49[O]->D410[O]->D119[B]->D274[D]->D207[B]->W23	4.050E-7	1.478E+6		0.000E+0	1.000E+0		2.880E+4	0.000E+0	ja (BWZI)			9.162E+6
14-BU-0001,14-T2216,Topping,DADPM Hntsm	R49[O]->D410[O]->D119[B]->D274[O]->D194[D]->D207[B]->W23	4.500E-9	1.478E+6		0.000E+0	1.000E+0		2.880E+4	0.000E+0	ja (BWZI)			9.162E+6
14-BU-0001,14-T2216,Topping,DADPM Hntsm	R49[O]->D410[O]->D119[O]->D274[D]->D207[B]->W23	4.500E-8	1.478E+6		0.000E+0	1.000E+0		2.880E+4	0.000E+0	ja (BWZI)			9.162E+6
14-BU-0001,14-T2216,Topping,DADPM Hntsm	R49[O]->D410[O]->D119[O]->D274[O]->D194[D]->D207[B]->W23	5.000E-10	1.478E+6		0.000E+0	1.000E+0		2.880E+4	0.000E+0	ja (BWZI)			9.162E+6
14-BU-0001,14-V2121,Topping,Aniline Hntsm	R49[O]->D410[O]->D119[D]->D274[D]->D207[B]->W23	4.050E-6	1.451E+6		0.000E+0	1.000E+0		2.880E+4	0.000E+0	ja (BWZI)			5.939E+5
14-BU-0001,14-V2121,Topping,Aniline Hntsm	R49[O]->D410[O]->D119[D]->D274[O]->D194[D]->D207[B]->W23	4.500E-8	1.451E+6		0.000E+0	1.000E+0		2.880E+4	0.000E+0	ja (BWZI)			5.939E+5
14-BU-0001,14-V2121,Topping,Aniline Hntsm	R49[O]->D410[O]->D119[B]->D274[D]->D207[B]->W23	4.050E-7	1.450E+6		0.000E+0	1.000E+0		2.880E+4	0.000E+0	ja (BWZI)			5.817E+5
14-BU-0001,14-V2121,Topping,Aniline Hntsm	R49[O]->D410[O]->D119[B]->D274[O]->D194[D]->D207[B]->W23	4.500E-9	1.450E+6		0.000E+0	1.000E+0		2.880E+4	0.000E+0	ja (BWZI)			5.817E+5
14-BU-0001,14-V2121,Topping,Aniline Hntsm	R49[O]->D410[O]->D119[O]->D274[D]->D207[B]->W23	4.500E-8	1.450E+6		0.000E+0	1.000E+0		2.880E+4	0.000E+0	ja (BWZI)			5.817E+5

Group	Afstroomroute	Frequentie	Massa uitstroom	Volume contaminatie	MSI Factored	Weegfactor	Oever Contaminatie	Uitstroom tijd	Bluswater	RWZI			LC50 gewogen
		[j-1]	[kg]	[m3]			[m]	[s]	[m3]	inhibitie	overbelasting	Actief slib beïnvloeding	[m3]
14-BU-0001,14-V2121,Topping,Aniline Hntsm	R49[O]->D410[O]->D119[O]->D274[O]->D194[D]->D207[B]->W23	5.000E-10	1.450E+6		0.000E+0	1.000E+0		2.880E+4	0.000E+0	ja (BWZI)			5.817E+5
14-BU-0006,14-V2107A,Topping,MCB Hntsm	R53[O]->D352[O]->D119[D]->D274[D]->D207[B]->W23	4.050E-6	0.000E+0		0.000E+0	1.000E+0		2.880E+4	0.000E+0	ja (BWZI)			0.000E+0
14-BU-0006,14-V2107A,Topping,MCB Hntsm	R53[O]->D352[O]->D119[D]->D274[O]->D194[D]->D207[B]->W23	4.500E-8	0.000E+0		0.000E+0	1.000E+0		2.880E+4	0.000E+0	ja (BWZI)			0.000E+0
14-BU-0006,14-V2107A,Topping,MCB Hntsm	R53[O]->D352[O]->D119[B]->D274[D]->D207[B]->W23	4.050E-7	0.000E+0		0.000E+0	1.000E+0		2.880E+4	0.000E+0	ja (BWZI)			0.000E+0
14-BU-0006,14-V2107A,Topping,MCB Hntsm	R53[O]->D352[O]->D119[B]->D274[O]->D194[D]->D207[B]->W23	4.500E-9	0.000E+0		0.000E+0	1.000E+0		2.880E+4	0.000E+0	ja (BWZI)			0.000E+0
14-BU-0006,14-V2107A,Topping,MCB Hntsm	R53[O]->D352[O]->D119[O]->D274[D]->D207[B]->W23	4.500E-8	0.000E+0		0.000E+0	1.000E+0		2.880E+4	0.000E+0	ja (BWZI)			0.000E+0
14-BU-0006,14-V2107A,Topping,MCB Hntsm	R53[O]->D352[O]->D119[O]->D274[O]->D194[D]->D207[B]->W23	5.000E-10	0.000E+0		0.000E+0	1.000E+0		2.880E+4	0.000E+0	ja (BWZI)			0.000E+0
MDI1 Productie,12-V230,Instantaan falen,Receptnr 1: Aniline/DADPM/HCl (C.Reactor: 12-V230)	R61[D]->D259[D]->D274[D]->D207[B]->W23	4.050E-6	1.449E+6		0.000E+0	1.000E+0		2.880E+4	0.000E+0	ja (BWZI)			4.532E+6
MDI1 Productie,12-V230,Instantaan falen,Receptnr 1: Aniline/DADPM/HCl (C.Reactor: 12-V230)	R61[D]->D259[D]->D274[O]->D194[D]->D207[B]->W23	4.500E-8	1.449E+6		0.000E+0	1.000E+0		2.880E+4	0.000E+0	ja (BWZI)			4.532E+6
MDI1 Productie,12-V230,Instantaan falen,Receptnr 1: Aniline/DADPM/HCl (C.Reactor: 12-V230)	R61[D]->D259[B]->D274[D]->D207[B]->W23	4.050E-7	1.448E+6		0.000E+0	1.000E+0		2.880E+4	0.000E+0	ja (BWZI)			4.431E+6
MDI1 Productie,12-V230,Instantaan falen,Receptnr 1: Aniline/DADPM/HCl (C.Reactor: 12-V230)	R61[D]->D259[B]->D274[O]->D194[D]->D207[B]->W23	4.500E-9	1.448E+6		0.000E+0	1.000E+0		2.880E+4	0.000E+0	ja (BWZI)			4.431E+6
MDI1 Productie,12-V230,Instantaan falen,Receptnr 1: Aniline/DADPM/HCl (C.Reactor: 12-V230)	R61[D]->D259[O]->D274[D]->D207[B]->W23	4.500E-8	1.448E+6		0.000E+0	1.000E+0		2.880E+4	0.000E+0	ja (BWZI)			4.431E+6
MDI1 Productie,12-V230,Instantaan falen,Receptnr 1: Aniline/DADPM/HCl (C.Reactor: 12-V230)	R61[D]->D259[O]->D274[O]->D194[D]->D207[B]->W23	5.000E-10	1.448E+6		0.000E+0	1.000E+0		2.880E+4	0.000E+0	ja (BWZI)			4.431E+6
MDI1 Productie,12-V230,Continu falen,Receptnr 1: Aniline/DADPM/HCl (C.Reactor: 12-V230)	R61[D]->D259[D]->D274[D]->D207[B]->W23	8.092E-5	1.406E+6		0.000E+0	1.000E+0		2.880E+4	0.000E+0	ja (BWZI)			5.526E+5
MDI1 Productie,12-V230,Continu falen,Receptnr 1: Aniline/DADPM/HCl (C.Reactor: 12-V230)	R61[D]->D259[D]->D274[O]->D194[D]->D207[B]->W23	8.991E-7	1.406E+6		0.000E+0	1.000E+0		2.880E+4	0.000E+0	ja (BWZI)			5.526E+5

Group	Afstroomroute	Frequentie	Massa uitstroom	Volume contaminatie	MSI Factored	Weegfactor	Oever Contaminatie	Uitstroom tijd	Bluswater	RWZI			LC50 gewogen
										inhibitie	overbelasting	Actief slib beïnvloeding	
		[j-1]	[kg]	[m3]			[m]	[s]	[m3]				[m3]
MDI1 Productie,12-V230,Continu falen,Receptnr 1: Aniline/DADPM/HCl (C.Reactor: 12-V230)	R61[D]->D259[B]->D274[D]->D207[B]->W23	8.092E-6	1.405E+6		0.000E+0	1.000E+0		2.880E+4	0.000E+0	ja (BWZI)			4.573E+5
MDI1 Productie,12-V230,Continu falen,Receptnr 1: Aniline/DADPM/HCl (C.Reactor: 12-V230)	R61[D]->D259[B]->D274[O]->D194[D]->D207[B]->W23	8.991E-8	1.405E+6		0.000E+0	1.000E+0		2.880E+4	0.000E+0	ja (BWZI)			4.573E+5
MDI1 Productie,12-V230,Continu falen,Receptnr 1: Aniline/DADPM/HCl (C.Reactor: 12-V230)	R61[D]->D259[O]->D274[D]->D207[B]->W23	8.991E-7	1.405E+6		0.000E+0	1.000E+0		2.880E+4	0.000E+0	ja (BWZI)			4.573E+5
MDI1 Productie,12-V230,Continu falen,Receptnr 1: Aniline/DADPM/HCl (C.Reactor: 12-V230)	R61[D]->D259[O]->D274[O]->D194[D]->D207[B]->W23	9.990E-9	1.405E+6		0.000E+0	1.000E+0		2.880E+4	0.000E+0	ja (BWZI)			4.573E+5
MDI1 Productie,12-V209A,Instantaan falen,Receptnr 1: Amine Brine (C.Reactor: 12-V209A)	R61[D]->D259[D]->D274[D]->D207[B]->W23	4.050E-6	1.445E+6		0.000E+0	1.000E+0		2.880E+4	0.000E+0	ja (BWZI)			5.192E+5
MDI1 Productie,12-V209A,Instantaan falen,Receptnr 1: Amine Brine (C.Reactor: 12-V209A)	R61[D]->D259[D]->D274[O]->D194[D]->D207[B]->W23	4.500E-8	1.445E+6		0.000E+0	1.000E+0		2.880E+4	0.000E+0	ja (BWZI)			5.192E+5
MDI1 Productie,12-V209A,Instantaan falen,Receptnr 1: Amine Brine (C.Reactor: 12-V209A)	R61[D]->D259[B]->D274[D]->D207[B]->W23	4.050E-7	1.444E+6		0.000E+0	1.000E+0		2.880E+4	0.000E+0	ja (BWZI)			5.070E+5
MDI1 Productie,12-V209A,Instantaan falen,Receptnr 1: Amine Brine (C.Reactor: 12-V209A)	R61[D]->D259[B]->D274[O]->D194[D]->D207[B]->W23	4.500E-9	1.444E+6		0.000E+0	1.000E+0		2.880E+4	0.000E+0	ja (BWZI)			5.070E+5
MDI1 Productie,12-V209A,Instantaan falen,Receptnr 1: Amine Brine (C.Reactor: 12-V209A)	R61[D]->D259[O]->D274[D]->D207[B]->W23	4.500E-8	1.444E+6		0.000E+0	1.000E+0		2.880E+4	0.000E+0	ja (BWZI)			5.070E+5
MDI1 Productie,12-V209A,Instantaan falen,Receptnr 1: Amine Brine (C.Reactor: 12-V209A)	R61[D]->D259[O]->D274[O]->D194[D]->D207[B]->W23	5.000E-10	1.444E+6		0.000E+0	1.000E+0		2.880E+4	0.000E+0	ja (BWZI)			5.070E+5
MDI1 Productie,12-V209A,Continu falen,Receptnr 1: Amine Brine (C.Reactor: 12-V209A)	R61[D]->D259[D]->D274[D]->D207[B]->W23	8.092E-5	1.404E+6		0.000E+0	1.000E+0		2.880E+4	0.000E+0	ja (BWZI)			4.090E+4
MDI1 Productie,12-V209A,Continu falen,Receptnr 1: Amine Brine (C.Reactor: 12-V209A)	R61[D]->D259[D]->D274[O]->D194[D]->D207[B]->W23	8.991E-7	1.404E+6		0.000E+0	1.000E+0		2.880E+4	0.000E+0	ja (BWZI)			4.090E+4
MDI1 Productie,12-V209A,Continu falen,Receptnr 1: Amine Brine (C.Reactor: 12-V209A)	R61[D]->D259[B]->D274[D]->D207[B]->W23	8.092E-6	1.403E+6		0.000E+0	1.000E+0		2.880E+4	0.000E+0	ja (BWZI)			2.943E+4

Group	Afstroomroute	Frequentie	Massa uitstroom	Volume contaminatie	MSI Factored	Weegfactor	Oever Contaminatie	Uitstroom tijd	Bluswater	RWZI			LC50 gewogen
										inhibitie	overbelasting	Actief slib beïnvloeding	
		[j-1]	[kg]	[m3]			[m]	[s]	[m3]				[m3]
MDI1 Productie,12-V209A,Continu falen,Receptnr 1: Amine Brine (C.Reactor: 12-V209A)	R61[D]->D259[B]->D274[O]->D194[D]->D207[B]->W23	8.991E-8	1.403E+6		0.000E+0	1.000E+0		2.880E+4	0.000E+0	ja (BWZI)			2.943E+4
MDI1 Productie,12-V209A,Continu falen,Receptnr 1: Amine Brine (C.Reactor: 12-V209A)	R61[D]->D259[O]->D274[D]->D207[B]->W23	8.991E-7	1.403E+6		0.000E+0	1.000E+0		2.880E+4	0.000E+0	ja (BWZI)			2.943E+4
MDI1 Productie,12-V209A,Continu falen,Receptnr 1: Amine Brine (C.Reactor: 12-V209A)	R61[D]->D259[O]->D274[O]->D194[D]->D207[B]->W23	9.990E-9	1.403E+6		0.000E+0	1.000E+0		2.880E+4	0.000E+0	ja (BWZI)			2.943E+4
MDI1 Productie,12-V704,Instantaan falen,Receptnr 1: Methanol (C.Reactor: 12-V704)	R61[D]->D259[D]->D274[D]->D207[B]->W23	4.050E-6	1.426E+6		0.000E+0	1.000E+0		2.880E+4	0.000E+0		ja (BWZI)		1.801E+3
MDI1 Productie,12-V704,Instantaan falen,Receptnr 1: Methanol (C.Reactor: 12-V704)	R61[D]->D259[D]->D274[O]->D194[D]->D207[B]->W23	4.500E-8	1.426E+6		0.000E+0	1.000E+0		2.880E+4	0.000E+0		ja (BWZI)		1.801E+3
MDI1 Productie,12-V704,Instantaan falen,Receptnr 1: Methanol (C.Reactor: 12-V704)	R61[D]->D259[B]->D274[D]->D207[B]->W23	4.050E-7	1.426E+6		0.000E+0	1.000E+0		2.880E+4	0.000E+0		ja (BWZI)		1.788E+3
MDI1 Productie,12-V704,Instantaan falen,Receptnr 1: Methanol (C.Reactor: 12-V704)	R61[D]->D259[B]->D274[O]->D194[D]->D207[B]->W23	4.500E-9	1.426E+6		0.000E+0	1.000E+0		2.880E+4	0.000E+0		ja (BWZI)		1.788E+3
MDI1 Productie,12-V704,Instantaan falen,Receptnr 1: Methanol (C.Reactor: 12-V704)	R61[D]->D259[O]->D274[D]->D207[B]->W23	4.500E-8	1.426E+6		0.000E+0	1.000E+0		2.880E+4	0.000E+0		ja (BWZI)		1.788E+3
MDI1 Productie,12-V704,Instantaan falen,Receptnr 1: Methanol (C.Reactor: 12-V704)	R61[D]->D259[O]->D274[O]->D194[D]->D207[B]->W23	5.000E-10	1.426E+6		0.000E+0	1.000E+0		2.880E+4	0.000E+0		ja (BWZI)		1.788E+3
MDI1 Productie,12-V210,Instantaan falen,Receptnr 1: Aniline/DADPM (C.Reactor: 12-V210)	R61[D]->D259[D]->D274[D]->D207[B]->W23	4.050E-6	1.442E+6		0.000E+0	1.000E+0		2.880E+4	0.000E+0	ja (BWZI)			2.554E+6
MDI1 Productie,12-V210,Instantaan falen,Receptnr 1: Aniline/DADPM (C.Reactor: 12-V210)	R61[D]->D259[D]->D274[O]->D194[D]->D207[B]->W23	4.500E-8	1.442E+6		0.000E+0	1.000E+0		2.880E+4	0.000E+0	ja (BWZI)			2.554E+6
MDI1 Productie,12-V210,Instantaan falen,Receptnr 1: Aniline/DADPM (C.Reactor: 12-V210)	R61[D]->D259[B]->D274[D]->D207[B]->W23	4.050E-7	1.441E+6		0.000E+0	1.000E+0		2.880E+4	0.000E+0	ja (BWZI)			2.491E+6
MDI1 Productie,12-V210,Instantaan falen,Receptnr 1: Aniline/DADPM (C.Reactor: 12-V210)	R61[D]->D259[B]->D274[O]->D194[D]->D207[B]->W23	4.500E-9	1.441E+6		0.000E+0	1.000E+0		2.880E+4	0.000E+0	ja (BWZI)			2.491E+6

Group	Afstroomroute	Frequentie	Massa uitstroom	Volume contaminatie	MSI Factored	Weegfactor	Oever Contaminatie	Uitstroom tijd	Bluswater	RWZI			LC50 gewogen
		[j-1]	[kg]	[m3]			[m]	[s]	[m3]	inhibitie	overbelasting	Actief slib beïnvloeding	[m3]
MDI1 Productie,12-V210,Instantaan falen,Receptnr 1: Aniline/DADPM (C.Reactor: 12-V210)	R61[D]->D259[O]->D274[D]->D207[B]->W23	4.500E-8	1.441E+6		0.000E+0	1.000E+0		2.880E+4	0.000E+0	ja (BWZI)			2.491E+6
MDI1 Productie,12-V210,Instantaan falen,Receptnr 1: Aniline/DADPM (C.Reactor: 12-V210)	R61[D]->D259[O]->D274[O]->D194[D]->D207[B]->W23	5.000E-10	1.441E+6		0.000E+0	1.000E+0		2.880E+4	0.000E+0	ja (BWZI)			2.491E+6
MDI1 Productie,12-V210,Continu falen,Receptnr 1: Aniline/DADPM (C.Reactor: 12-V210)	R61[D]->D259[D]->D274[D]->D207[B]->W23	8.092E-5	1.412E+6		0.000E+0	1.000E+0		2.880E+4	0.000E+0	ja (BWZI)			7.004E+5
MDI1 Productie,12-V210,Continu falen,Receptnr 1: Aniline/DADPM (C.Reactor: 12-V210)	R61[D]->D259[D]->D274[O]->D194[D]->D207[B]->W23	8.991E-7	1.412E+6		0.000E+0	1.000E+0		2.880E+4	0.000E+0	ja (BWZI)			7.004E+5
MDI1 Productie,12-V210,Continu falen,Receptnr 1: Aniline/DADPM (C.Reactor: 12-V210)	R61[D]->D259[B]->D274[D]->D207[B]->W23	8.092E-6	1.411E+6		0.000E+0	1.000E+0		2.880E+4	0.000E+0	ja (BWZI)			6.393E+5
MDI1 Productie,12-V210,Continu falen,Receptnr 1: Aniline/DADPM (C.Reactor: 12-V210)	R61[D]->D259[B]->D274[O]->D194[D]->D207[B]->W23	8.991E-8	1.411E+6		0.000E+0	1.000E+0		2.880E+4	0.000E+0	ja (BWZI)			6.393E+5
MDI1 Productie,12-V210,Continu falen,Receptnr 1: Aniline/DADPM (C.Reactor: 12-V210)	R61[D]->D259[O]->D274[D]->D207[B]->W23	8.991E-7	1.411E+6		0.000E+0	1.000E+0		2.880E+4	0.000E+0	ja (BWZI)			6.393E+5
MDI1 Productie,12-V210,Continu falen,Receptnr 1: Aniline/DADPM (C.Reactor: 12-V210)	R61[D]->D259[O]->D274[O]->D194[D]->D207[B]->W23	9.990E-9	1.411E+6		0.000E+0	1.000E+0		2.880E+4	0.000E+0	ja (BWZI)			6.393E+5
MDI2 Productie,14-C2405,Instantaan falen,Receptnr 1: MCB/Fosgeen (C.Reactor: 14-C2405)	R73[D]->D119[D]->D274[D]->D207[B]->W23	4.050E-6	1.452E+6		0.000E+0	1.000E+0		2.880E+4	0.000E+0	ja (BWZI)			8.195E+6
MDI2 Productie,14-C2405,Instantaan falen,Receptnr 1: MCB/Fosgeen (C.Reactor: 14-C2405)	R73[D]->D119[D]->D274[O]->D194[D]->D207[B]->W23	4.500E-8	1.452E+6		0.000E+0	1.000E+0		2.880E+4	0.000E+0	ja (BWZI)			8.195E+6
MDI2 Productie,14-C2405,Instantaan falen,Receptnr 1: MCB/Fosgeen (C.Reactor: 14-C2405)	R73[D]->D119[B]->D274[D]->D207[B]->W23	4.050E-7	1.451E+6		0.000E+0	1.000E+0		2.880E+4	0.000E+0	ja (BWZI)			8.022E+6
MDI2 Productie,14-C2405,Instantaan falen,Receptnr 1: MCB/Fosgeen (C.Reactor: 14-C2405)	R73[D]->D119[B]->D274[O]->D194[D]->D207[B]->W23	4.500E-9	1.451E+6		0.000E+0	1.000E+0		2.880E+4	0.000E+0	ja (BWZI)			8.022E+6
MDI2 Productie,14-C2405,Instantaan falen,Receptnr 1: MCB/Fosgeen (C.Reactor: 14-C2405)	R73[D]->D119[O]->D274[D]->D207[B]->W23	4.500E-8	1.451E+6		0.000E+0	1.000E+0		2.880E+4	0.000E+0	ja (BWZI)			8.022E+6
MDI2 Productie,14-C2405,Instantaan falen,Receptnr 1: MCB/Fosgeen (C.Reactor: 14-C2405)	R73[D]->D119[O]->D274[O]->D194[D]->D207[B]->W23	5.000E-10	1.451E+6		0.000E+0	1.000E+0		2.880E+4	0.000E+0	ja (BWZI)			8.022E+6

Group	Afstroomroute	Frequentie	Massa uitstroom	Volume contaminatie	MSI Factored	Weegfactor	Oever Contaminatie	Uitstroom tijd	Bluswater	RWZI			LC50 gewogen
										inhibitie	overbelasting	Actief slib beïnvloeding	
		[j-1]	[kg]	[m3]			[m]	[s]	[m3]				[m3]
MDI2 Productie,14-C2405,Continu falen,Receptnr 1: MCB/Fosgeen (C.Reactor: 14-C2405)	R73[D]->D119[D]->D274[D]->D207[B]->W23	8.092E-5	1.404E+6		0.000E+0	1.000E+0		2.880E+4	0.000E+0	ja (BWZI)			5.616E+5
MDI2 Productie,14-C2405,Continu falen,Receptnr 1: MCB/Fosgeen (C.Reactor: 14-C2405)	R73[D]->D119[D]->D274[O]->D194[D]->D207[B]->W23	8.991E-7	1.404E+6		0.000E+0	1.000E+0		2.880E+4	0.000E+0	ja (BWZI)			5.616E+5
MDI2 Productie,14-C2405,Continu falen,Receptnr 1: MCB/Fosgeen (C.Reactor: 14-C2405)	R73[D]->D119[B]->D274[D]->D207[B]->W23	8.092E-6	1.403E+6		0.000E+0	1.000E+0		2.880E+4	0.000E+0	ja (BWZI)			3.998E+5
MDI2 Productie,14-C2405,Continu falen,Receptnr 1: MCB/Fosgeen (C.Reactor: 14-C2405)	R73[D]->D119[B]->D274[O]->D194[D]->D207[B]->W23	8.991E-8	1.403E+6		0.000E+0	1.000E+0		2.880E+4	0.000E+0	ja (BWZI)			3.998E+5
MDI2 Productie,14-C2405,Continu falen,Receptnr 1: MCB/Fosgeen (C.Reactor: 14-C2405)	R73[D]->D119[O]->D274[D]->D207[B]->W23	8.991E-7	1.403E+6		0.000E+0	1.000E+0		2.880E+4	0.000E+0	ja (BWZI)			3.998E+5
MDI2 Productie,14-C2405,Continu falen,Receptnr 1: MCB/Fosgeen (C.Reactor: 14-C2405)	R73[D]->D119[O]->D274[O]->D194[D]->D207[B]->W23	9.990E-9	1.403E+6		0.000E+0	1.000E+0		2.880E+4	0.000E+0	ja (BWZI)			3.998E+5
MDI2 Productie,14-V2207,Instantaan falen,Receptnr 1: Aniline / DADPM / WATER (C.Reactor: 14-V2207)	R73[D]->D119[D]->D274[D]->D207[B]->W23	4.050E-6	1.475E+6		0.000E+0	1.000E+0		2.880E+4	0.000E+0	ja (BWZI)			3.121E+6
MDI2 Productie,14-V2207,Instantaan falen,Receptnr 1: Aniline / DADPM / WATER (C.Reactor: 14-V2207)	R73[D]->D119[D]->D274[O]->D194[D]->D207[B]->W23	4.500E-8	1.475E+6		0.000E+0	1.000E+0		2.880E+4	0.000E+0	ja (BWZI)			3.121E+6
MDI2 Productie,14-V2207,Instantaan falen,Receptnr 1: Aniline / DADPM / WATER (C.Reactor: 14-V2207)	R73[D]->D119[B]->D274[D]->D207[B]->W23	4.050E-7	1.474E+6		0.000E+0	1.000E+0		2.880E+4	0.000E+0	ja (BWZI)			3.076E+6
MDI2 Productie,14-V2207,Instantaan falen,Receptnr 1: Aniline / DADPM / WATER (C.Reactor: 14-V2207)	R73[D]->D119[B]->D274[O]->D194[D]->D207[B]->W23	4.500E-9	1.474E+6		0.000E+0	1.000E+0		2.880E+4	0.000E+0	ja (BWZI)			3.076E+6
MDI2 Productie,14-V2207,Instantaan falen,Receptnr 1: Aniline / DADPM / WATER (C.Reactor: 14-V2207)	R73[D]->D119[O]->D274[D]->D207[B]->W23	4.500E-8	1.474E+6		0.000E+0	1.000E+0		2.880E+4	0.000E+0	ja (BWZI)			3.076E+6
MDI2 Productie,14-V2207,Instantaan falen,Receptnr 1: Aniline / DADPM / WATER (C.Reactor: 14-V2207)	R73[D]->D119[O]->D274[O]->D194[D]->D207[B]->W23	5.000E-10	1.474E+6		0.000E+0	1.000E+0		2.880E+4	0.000E+0	ja (BWZI)			3.076E+6
MDI2 Productie,14-V2207,Continu falen,Receptnr 1: Aniline / DADPM / WATER (C.Reactor: 14-V2207)	R73[D]->D119[D]->D274[D]->D207[B]->W23	8.092E-5	1.404E+6		0.000E+0	1.000E+0		2.880E+4	0.000E+0	ja (BWZI)			1.422E+5

Group	Afstroomroute	Frequentie	Massa uitstroom	Volume contaminatie	MSI Factored	Weegfactor	Oever Contaminatie	Uitstroom tijd	Bluswater	RWZI			LC50 gewogen
										inhibitie	overbelasting	Actief slib beïnvloeding	
		[j-1]	[kg]	[m3]			[m]	[s]	[m3]				[m3]
MDI2 Productie,14-V2207,Continu falen,Receptnr 1: Aniline / DADPM / WATER (C.Reactor: 14-V2207)	R73[D]->D119[D]->D274[O]->D194[D]->D207[B]->W23	8.991E-7	1.404E+6		0.000E+0	1.000E+0		2.880E+4	0.000E+0	ja (BWZI)			1.422E+5
MDI2 Productie,14-V2207,Continu falen,Receptnr 1: Aniline / DADPM / WATER (C.Reactor: 14-V2207)	R73[D]->D119[B]->D274[D]->D207[B]->W23	8.092E-6	1.403E+6		0.000E+0	1.000E+0		2.880E+4	0.000E+0	ja (BWZI)			1.020E+5
MDI2 Productie,14-V2207,Continu falen,Receptnr 1: Aniline / DADPM / WATER (C.Reactor: 14-V2207)	R73[D]->D119[B]->D274[O]->D194[D]->D207[B]->W23	8.991E-8	1.403E+6		0.000E+0	1.000E+0		2.880E+4	0.000E+0	ja (BWZI)			1.020E+5
MDI2 Productie,14-V2207,Continu falen,Receptnr 1: Aniline / DADPM / WATER (C.Reactor: 14-V2207)	R73[D]->D119[O]->D274[D]->D207[B]->W23	8.991E-7	1.403E+6		0.000E+0	1.000E+0		2.880E+4	0.000E+0	ja (BWZI)			1.020E+5
MDI2 Productie,14-V2207,Continu falen,Receptnr 1: Aniline / DADPM / WATER (C.Reactor: 14-V2207)	R73[D]->D119[O]->D274[O]->D194[D]->D207[B]->W23	9.990E-9	1.403E+6		0.000E+0	1.000E+0		2.880E+4	0.000E+0	ja (BWZI)			1.020E+5
MDI2 Productie,14-E2409,Instantaan falen,Receptnr 1: MCB/MDI (C.Reactor: 14-E2409)	R73[D]->D119[D]->D274[D]->D207[B]->W23	4.050E-6	0.000E+0		0.000E+0	1.000E+0		2.880E+4	0.000E+0	ja (BWZI)			0.000E+0
MDI2 Productie,14-E2409,Instantaan falen,Receptnr 1: MCB/MDI (C.Reactor: 14-E2409)	R73[D]->D119[D]->D274[O]->D194[D]->D207[B]->W23	4.500E-8	0.000E+0		0.000E+0	1.000E+0		2.880E+4	0.000E+0	ja (BWZI)			0.000E+0
MDI2 Productie,14-E2409,Instantaan falen,Receptnr 1: MCB/MDI (C.Reactor: 14-E2409)	R73[D]->D119[B]->D274[D]->D207[B]->W23	4.050E-7	0.000E+0		0.000E+0	1.000E+0		2.880E+4	0.000E+0	ja (BWZI)			0.000E+0
MDI2 Productie,14-E2409,Instantaan falen,Receptnr 1: MCB/MDI (C.Reactor: 14-E2409)	R73[D]->D119[B]->D274[O]->D194[D]->D207[B]->W23	4.500E-9	0.000E+0		0.000E+0	1.000E+0		2.880E+4	0.000E+0	ja (BWZI)			0.000E+0
MDI2 Productie,14-E2409,Instantaan falen,Receptnr 1: MCB/MDI (C.Reactor: 14-E2409)	R73[D]->D119[O]->D274[D]->D207[B]->W23	4.500E-8	0.000E+0		0.000E+0	1.000E+0		2.880E+4	0.000E+0	ja (BWZI)			0.000E+0
MDI2 Productie,14-E2409,Instantaan falen,Receptnr 1: MCB/MDI (C.Reactor: 14-E2409)	R73[D]->D119[O]->D274[O]->D194[D]->D207[B]->W23	5.000E-10	0.000E+0		0.000E+0	1.000E+0		2.880E+4	0.000E+0	ja (BWZI)			0.000E+0
MDI2 Productie,14-E2409,Continu falen,Receptnr 1: MCB/MDI (C.Reactor: 14-E2409)	R73[D]->D119[D]->D274[D]->D207[B]->W23	8.092E-5	0.000E+0		0.000E+0	1.000E+0		2.880E+4	0.000E+0	ja (BWZI)			0.000E+0
MDI2 Productie,14-E2409,Continu falen,Receptnr 1: MCB/MDI (C.Reactor: 14-E2409)	R73[D]->D119[D]->D274[O]->D194[D]->D207[B]->W23	8.991E-7	0.000E+0		0.000E+0	1.000E+0		2.880E+4	0.000E+0	ja (BWZI)			0.000E+0

Group	Afstroomroute	Frequentie	Massa uitstroom	Volume contaminatie	MSI Factored	Weegfactor	Oever contaminatie	Uitstroom tijd	Bluswater	RWZI			LC50 gewogen
										inhibitie	overbelasting	Actief slib beïnvloeding	
		[j-1]	[kg]	[m3]			[m]	[s]	[m3]				[m3]
MDI2 Productie,14-E2409,Continu falen,Receptnr 1: MCB/MDI (C.Reactor: 14-E2409)	R73[D]->D119[B]->D274[D]->D207[B]->W23	8.092E-6	0.000E+0		0.000E+0	1.000E+0		2.880E+4	0.000E+0	ja (BWZI)			0.000E+0
MDI2 Productie,14-E2409,Continu falen,Receptnr 1: MCB/MDI (C.Reactor: 14-E2409)	R73[D]->D119[B]->D274[O]->D194[D]->D207[B]->W23	8.991E-8	0.000E+0		0.000E+0	1.000E+0		2.880E+4	0.000E+0	ja (BWZI)			0.000E+0
MDI2 Productie,14-E2409,Continu falen,Receptnr 1: MCB/MDI (C.Reactor: 14-E2409)	R73[D]->D119[O]->D274[D]->D207[B]->W23	8.991E-7	0.000E+0		0.000E+0	1.000E+0		2.880E+4	0.000E+0	ja (BWZI)			0.000E+0
MDI2 Productie,14-E2409,Continu falen,Receptnr 1: MCB/MDI (C.Reactor: 14-E2409)	R73[D]->D119[O]->D274[O]->D194[D]->D207[B]->W23	9.990E-9	0.000E+0		0.000E+0	1.000E+0		2.880E+4	0.000E+0	ja (BWZI)			0.000E+0
MDI2 Productie,C-2202,Instantaan falen,Receptnr 1: Aniline/DADPM (C.Reactor: C-2202)	R73[D]->D119[D]->D274[D]->D207[B]->W23	4.050E-6	1.448E+6		0.000E+0	1.000E+0		2.880E+4	0.000E+0	ja (BWZI)			2.943E+6
MDI2 Productie,C-2202,Instantaan falen,Receptnr 1: Aniline/DADPM (C.Reactor: C-2202)	R73[D]->D119[D]->D274[O]->D194[D]->D207[B]->W23	4.500E-8	1.448E+6		0.000E+0	1.000E+0		2.880E+4	0.000E+0	ja (BWZI)			2.943E+6
MDI2 Productie,C-2202,Instantaan falen,Receptnr 1: Aniline/DADPM (C.Reactor: C-2202)	R73[D]->D119[B]->D274[D]->D207[B]->W23	4.050E-7	1.447E+6		0.000E+0	1.000E+0		2.880E+4	0.000E+0	ja (BWZI)			2.879E+6
MDI2 Productie,C-2202,Instantaan falen,Receptnr 1: Aniline/DADPM (C.Reactor: C-2202)	R73[D]->D119[B]->D274[O]->D194[D]->D207[B]->W23	4.500E-9	1.447E+6		0.000E+0	1.000E+0		2.880E+4	0.000E+0	ja (BWZI)			2.879E+6
MDI2 Productie,C-2202,Instantaan falen,Receptnr 1: Aniline/DADPM (C.Reactor: C-2202)	R73[D]->D119[O]->D274[D]->D207[B]->W23	4.500E-8	1.447E+6		0.000E+0	1.000E+0		2.880E+4	0.000E+0	ja (BWZI)			2.879E+6
MDI2 Productie,C-2202,Instantaan falen,Receptnr 1: Aniline/DADPM (C.Reactor: C-2202)	R73[D]->D119[O]->D274[O]->D194[D]->D207[B]->W23	5.000E-10	1.447E+6		0.000E+0	1.000E+0		2.880E+4	0.000E+0	ja (BWZI)			2.879E+6
MDI2 Productie,C-2202,Continu falen,Receptnr 1: Aniline/DADPM (C.Reactor: C-2202)	R73[D]->D119[D]->D274[D]->D207[B]->W23	8.092E-5	1.424E+6		0.000E+0	1.000E+0		2.880E+4	0.000E+0	ja (BWZI)			1.444E+6
MDI2 Productie,C-2202,Continu falen,Receptnr 1: Aniline/DADPM (C.Reactor: C-2202)	R73[D]->D119[D]->D274[O]->D194[D]->D207[B]->W23	8.991E-7	1.424E+6		0.000E+0	1.000E+0		2.880E+4	0.000E+0	ja (BWZI)			1.444E+6
MDI2 Productie,C-2202,Continu falen,Receptnr 1: Aniline/DADPM (C.Reactor: C-2202)	R73[D]->D119[B]->D274[D]->D207[B]->W23	8.092E-6	1.423E+6		0.000E+0	1.000E+0		2.880E+4	0.000E+0	ja (BWZI)			1.382E+6
MDI2 Productie,C-2202,Continu falen,Receptnr 1: Aniline/DADPM (C.Reactor: C-2202)	R73[D]->D119[B]->D274[O]->D194[D]->D207[B]->W23	8.991E-8	1.423E+6		0.000E+0	1.000E+0		2.880E+4	0.000E+0	ja (BWZI)			1.382E+6
MDI2 Productie,C-2202,Continu falen,Receptnr 1: Aniline/DADPM (C.Reactor: C-2202)	R73[D]->D119[O]->D274[D]->D207[B]->W23	8.991E-7	1.423E+6		0.000E+0	1.000E+0		2.880E+4	0.000E+0	ja (BWZI)			1.382E+6

Group	Afstroomroute	Frequentie	Massa uitstroom	Volume contaminatie	MSI Factored	Weegfactor	Oever Contaminatie	Uitstroom tijd	Bluswater	RWZI			LC50 gewogen
		[j-1]	[kg]	[m3]			[m]	[s]	[m3]	inhibitie	overbelasting	Actief slib beïnvloeding	[m3]
MDI2 Productie,C-2202,Continuafalen,Receptnr 1: Aniline/DADPM (C.Reactor: C-2202)	R73[D]->D119[O]->D274[O]->D194[D]->D207[B]->W23	9.990E-9	1.423E+6		0.000E+0	1.000E+0		2.880E+4	0.000E+0	ja (BWZI)			1.382E+6
Verlading MCB MDI-2,,Kleine brand,MCB Hntsm	R105[D]->D119[D]->D274[D]->D207[B]->W23	1.846E-10	0.000E+0		0.000E+0	1.000E+0		2.880E+4	1.912E+0	ja (BWZI)			0.000E+0
Verlading MCB MDI-2,,Kleine brand,MCB Hntsm	R105[D]->D119[D]->D274[O]->D194[D]->D207[B]->W23	2.051E-12	0.000E+0		0.000E+0	1.000E+0		2.880E+4	1.912E+0	ja (BWZI)			0.000E+0
Verlading MCB MDI-2,,Kleine brand,MCB Hntsm	R105[D]->D119[B]->D274[D]->D207[B]->W23	1.846E-11	0.000E+0		0.000E+0	1.000E+0		2.880E+4	1.912E+0	ja (BWZI)			0.000E+0
Verlading MCB MDI-2,,Kleine brand,MCB Hntsm	R105[D]->D119[B]->D274[O]->D194[D]->D207[B]->W23	2.051E-13	0.000E+0		0.000E+0	1.000E+0		2.880E+4	1.912E+0	ja (BWZI)			0.000E+0
Verlading MCB MDI-2,,Kleine brand,MCB Hntsm	R105[D]->D119[O]->D274[D]->D207[B]->W23	2.051E-12	0.000E+0		0.000E+0	1.000E+0		2.880E+4	1.912E+0	ja (BWZI)			0.000E+0
Verlading MCB MDI-2,,Kleine brand,MCB Hntsm	R105[D]->D119[O]->D274[O]->D194[D]->D207[B]->W23	2.279E-14	0.000E+0		0.000E+0	1.000E+0		2.880E+4	1.912E+0	ja (BWZI)			0.000E+0
Verlading MCB MDI-2,,Breuk tankauto,MCB Hntsm	R105[D]->D119[D]->D274[D]->D207[B]->W23	1.828E-8	0.000E+0		0.000E+0	1.000E+0		2.880E+4	0.000E+0	ja (BWZI)			0.000E+0
Verlading MCB MDI-2,,Breuk tankauto,MCB Hntsm	R105[D]->D119[D]->D274[O]->D194[D]->D207[B]->W23	2.031E-10	0.000E+0		0.000E+0	1.000E+0		2.880E+4	0.000E+0	ja (BWZI)			0.000E+0
Verlading MCB MDI-2,,Breuk tankauto,MCB Hntsm	R105[D]->D119[B]->D274[D]->D207[B]->W23	1.828E-9	0.000E+0		0.000E+0	1.000E+0		2.880E+4	0.000E+0	ja (BWZI)			0.000E+0
Verlading MCB MDI-2,,Breuk tankauto,MCB Hntsm	R105[D]->D119[B]->D274[O]->D194[D]->D207[B]->W23	2.031E-11	0.000E+0		0.000E+0	1.000E+0		2.880E+4	0.000E+0	ja (BWZI)			0.000E+0
Verlading MCB MDI-2,,Breuk tankauto,MCB Hntsm	R105[D]->D119[O]->D274[D]->D207[B]->W23	2.031E-10	0.000E+0		0.000E+0	1.000E+0		2.880E+4	0.000E+0	ja (BWZI)			0.000E+0
Verlading MCB MDI-2,,Breuk tankauto,MCB Hntsm	R105[D]->D119[O]->D274[O]->D194[D]->D207[B]->W23	2.256E-12	0.000E+0		0.000E+0	1.000E+0		2.880E+4	0.000E+0	ja (BWZI)			0.000E+0
14-BU-0044,T2170,Kleine brand,Methanol Hntsm	R180[O]->D352[O]->D119[D]->D274[D]->D207[B]->W23	2.600E-9	1.422E+6		0.000E+0	1.000E+0		2.880E+4	1.259E+1		ja (BWZI)		1.729E+3
14-BU-0044,T2170,Kleine brand,Methanol Hntsm	R180[O]->D352[O]->D119[D]->D274[O]->D194[D]->D207[B]->W23	2.889E-11	1.422E+6		0.000E+0	1.000E+0		2.880E+4	1.259E+1		ja (BWZI)		1.729E+3
14-BU-0044,T2170,Kleine brand,Methanol Hntsm	R180[O]->D352[O]->D119[B]->D274[D]->D207[B]->W23	2.600E-10	1.421E+6		0.000E+0	1.000E+0		2.880E+4	1.259E+1		ja (BWZI)		1.719E+3
14-BU-0044,T2170,Kleine brand,Methanol Hntsm	R180[O]->D352[O]->D119[B]->D274[O]->D194[D]->D207[B]->W23	2.889E-12	1.421E+6		0.000E+0	1.000E+0		2.880E+4	1.259E+1		ja (BWZI)		1.719E+3
14-BU-0044,T2170,Kleine brand,Methanol Hntsm	R180[O]->D352[O]->D119[O]->D274[D]->D207[B]->W23	2.889E-11	1.421E+6		0.000E+0	1.000E+0		2.880E+4	1.259E+1		ja (BWZI)		1.719E+3
14-BU-0044,T2170,Kleine brand,Methanol Hntsm	R180[O]->D352[O]->D119[O]->D274[O]->D194[D]->D207[B]->W23	3.210E-13	1.421E+6		0.000E+0	1.000E+0		2.880E+4	1.259E+1		ja (BWZI)		1.719E+3
14-BU-0044,T2170,Overvullen,Methanol Hntsm	R180[O]->D352[O]->D119[D]->D274[D]->D207[B]->W23	2.340E-8	1.418E+6		0.000E+0	1.000E+0		2.880E+4	0.000E+0		ja (BWZI)		1.670E+3
14-BU-0044,T2170,Overvullen,Methanol Hntsm	R180[O]->D352[O]->D119[D]->D274[O]->D194[D]->D207[B]->W23	2.600E-10	1.418E+6		0.000E+0	1.000E+0		2.880E+4	0.000E+0		ja (BWZI)		1.670E+3

Group	Afstroomroute	Frequentie	Massa uitstroom	Volume contaminatie	MSI Factored	Weegfactor	Oever Contaminatie	Uitstroom tijd	Bluswater	RWZI			LC50 gewogen
										inhibitie	overbelasting	Actief slib beïnvloeding	
		[j-1]	[kg]	[m3]			[m]	[s]	[m3]				[m3]
14-BU-0044,T2170,Overvullen,Methanol Hntsm	R180[O]->D352[O]->D119[B]->D274[D]->D207[B]->W23	2.340E-9	1.417E+6		0.000E+0	1.000E+0		2.880E+4	0.000E+0		ja (BWZI)		1.658E+3
14-BU-0044,T2170,Overvullen,Methanol Hntsm	R180[O]->D352[O]->D119[B]->D274[O]->D194[D]->D207[B]->W23	2.600E-11	1.417E+6		0.000E+0	1.000E+0		2.880E+4	0.000E+0		ja (BWZI)		1.658E+3
14-BU-0044,T2170,Overvullen,Methanol Hntsm	R180[O]->D352[O]->D119[O]->D274[D]->D207[B]->W23	2.600E-10	1.417E+6		0.000E+0	1.000E+0		2.880E+4	0.000E+0		ja (BWZI)		1.658E+3
14-BU-0044,T2170,Overvullen,Methanol Hntsm	R180[O]->D352[O]->D119[O]->D274[O]->D194[D]->D207[B]->W23	2.889E-12	1.417E+6		0.000E+0	1.000E+0		2.880E+4	0.000E+0		ja (BWZI)		1.658E+3
14-BU-0035,T-3981,Topping,MCB Hntsm	R187[O]->D352[O]->D119[D]->D274[D]->D207[B]->W23	4.050E-6	0.000E+0		0.000E+0	1.000E+0		2.880E+4	0.000E+0	ja (BWZI)			0.000E+0
14-BU-0035,T-3981,Topping,MCB Hntsm	R187[O]->D352[O]->D119[D]->D274[O]->D194[D]->D207[B]->W23	4.500E-8	0.000E+0		0.000E+0	1.000E+0		2.880E+4	0.000E+0	ja (BWZI)			0.000E+0
14-BU-0035,T-3981,Topping,MCB Hntsm	R187[O]->D352[O]->D119[B]->D274[D]->D207[B]->W23	4.050E-7	0.000E+0		0.000E+0	1.000E+0		2.880E+4	0.000E+0	ja (BWZI)			0.000E+0
14-BU-0035,T-3981,Topping,MCB Hntsm	R187[O]->D352[O]->D119[B]->D274[O]->D194[D]->D207[B]->W23	4.500E-9	0.000E+0		0.000E+0	1.000E+0		2.880E+4	0.000E+0	ja (BWZI)			0.000E+0
14-BU-0035,T-3981,Topping,MCB Hntsm	R187[O]->D352[O]->D119[O]->D274[D]->D207[B]->W23	4.500E-8	0.000E+0		0.000E+0	1.000E+0		2.880E+4	0.000E+0	ja (BWZI)			0.000E+0
14-BU-0035,T-3981,Topping,MCB Hntsm	R187[O]->D352[O]->D119[O]->D274[O]->D194[D]->D207[B]->W23	5.000E-10	0.000E+0		0.000E+0	1.000E+0		2.880E+4	0.000E+0	ja (BWZI)			0.000E+0
14-BU-0035,T-3980,Topping,MCB Hntsm	R187[O]->D352[O]->D119[D]->D274[D]->D207[B]->W23	4.050E-6	0.000E+0		0.000E+0	1.000E+0		2.880E+4	0.000E+0	ja (BWZI)			0.000E+0
14-BU-0035,T-3980,Topping,MCB Hntsm	R187[O]->D352[O]->D119[D]->D274[O]->D194[D]->D207[B]->W23	4.500E-8	0.000E+0		0.000E+0	1.000E+0		2.880E+4	0.000E+0	ja (BWZI)			0.000E+0
14-BU-0035,T-3980,Topping,MCB Hntsm	R187[O]->D352[O]->D119[B]->D274[D]->D207[B]->W23	4.050E-7	0.000E+0		0.000E+0	1.000E+0		2.880E+4	0.000E+0	ja (BWZI)			0.000E+0
14-BU-0035,T-3980,Topping,MCB Hntsm	R187[O]->D352[O]->D119[B]->D274[O]->D194[D]->D207[B]->W23	4.500E-9	0.000E+0		0.000E+0	1.000E+0		2.880E+4	0.000E+0	ja (BWZI)			0.000E+0
14-BU-0035,T-3980,Topping,MCB Hntsm	R187[O]->D352[O]->D119[O]->D274[D]->D207[B]->W23	4.500E-8	0.000E+0		0.000E+0	1.000E+0		2.880E+4	0.000E+0	ja (BWZI)			0.000E+0
14-BU-0035,T-3980,Topping,MCB Hntsm	R187[O]->D352[O]->D119[O]->D274[O]->D194[D]->D207[B]->W23	5.000E-10	0.000E+0		0.000E+0	1.000E+0		2.880E+4	0.000E+0	ja (BWZI)			0.000E+0
Verlading NaOCl MDI-2.,Breuk overslag tankauto,sodiumhypochlorite Hntsm	R379[D]->D119[D]->D274[D]->D207[B]->W23	5.767E-6	1.401E+6		0.000E+0	1.000E+0		2.880E+4	0.000E+0	ja (BWZI)			1.509E+5
Verlading NaOCl MDI-2.,Breuk overslag tankauto,sodiumhypochlorite Hntsm	R379[D]->D119[D]->D274[O]->D194[D]->D207[B]->W23	6.408E-8	1.401E+6		0.000E+0	1.000E+0		2.880E+4	0.000E+0	ja (BWZI)			1.509E+5

Group	Afstroomroute	Frequentie	Massa uitstroom	Volume contaminatie	MSI Factored	Weegfactor	Oever Contaminatie	Uitstroom tijd	Bluswater	RWZI			LC50 gewogen
		[j-1]	[kg]	[m3]			[m]	[s]	[m3]	inhibitie	overbelasting	Actief slib beïnvloeding	[m3]
Verlading NaOCl MDI-2.,Breuk tankauto,sodiumhypochlorite Hntsm	R379[D]->D119[D]->D274[D]->D207[B]->W23	1.846E-8	1.430E+6		0.000E+0	1.000E+0		2.880E+4	0.000E+0	ja (BWZI)			4.902E+6
Verlading NaOCl MDI-2.,Breuk tankauto,sodiumhypochlorite Hntsm	R379[D]->D119[D]->D274[O]->D194[D]->D207[B]->W23	2.051E-10	1.430E+6		0.000E+0	1.000E+0		2.880E+4	0.000E+0	ja (BWZI)			4.902E+6
Verlading NaOCl MDI-2.,Breuk tankauto,sodiumhypochlorite Hntsm	R379[D]->D119[B]->D274[D]->D207[B]->W23	1.846E-9	1.429E+6		0.000E+0	1.000E+0		2.880E+4	0.000E+0	ja (BWZI)			4.702E+6
Verlading NaOCl MDI-2.,Breuk tankauto,sodiumhypochlorite Hntsm	R379[D]->D119[B]->D274[O]->D194[D]->D207[B]->W23	2.051E-11	1.429E+6		0.000E+0	1.000E+0		2.880E+4	0.000E+0	ja (BWZI)			4.702E+6
Verlading NaOCl MDI-2.,Breuk tankauto,sodiumhypochlorite Hntsm	R379[D]->D119[O]->D274[D]->D207[B]->W23	2.051E-10	1.429E+6		0.000E+0	1.000E+0		2.880E+4	0.000E+0	ja (BWZI)			4.702E+6
Verlading NaOCl MDI-2.,Breuk tankauto,sodiumhypochlorite Hntsm	R379[D]->D119[O]->D274[O]->D194[D]->D207[B]->W23	2.279E-12	1.429E+6		0.000E+0	1.000E+0		2.880E+4	0.000E+0	ja (BWZI)			4.702E+6
14-BU-004,14-T-2109B,Topping,Zoutzuur, HCl 30% Hntsm	R395[O]->D410[O]->D119[D]->D274[D]->D207[B]->W23	4.050E-7	1.652E+6		0.000E+0	1.000E+0		2.880E+4	0.000E+0	ja (BWZI)			4.554E+7
14-BU-004,14-T-2109B,Topping,Zoutzuur, HCl 30% Hntsm	R395[O]->D410[O]->D119[D]->D274[O]->D194[D]->D207[B]->W23	4.500E-9	1.652E+6		0.000E+0	1.000E+0		2.880E+4	0.000E+0	ja (BWZI)			4.554E+7
14-BU-004,14-T-2109B,Topping,Zoutzuur, HCl 30% Hntsm	R395[O]->D410[O]->D119[B]->D274[D]->D207[B]->W23	4.050E-8	1.651E+6		0.000E+0	1.000E+0		2.880E+4	0.000E+0	ja (BWZI)			4.529E+7
14-BU-004,14-T-2109B,Topping,Zoutzuur, HCl 30% Hntsm	R395[O]->D410[O]->D119[B]->D274[O]->D194[D]->D207[B]->W23	4.500E-10	1.651E+6		0.000E+0	1.000E+0		2.880E+4	0.000E+0	ja (BWZI)			4.529E+7
14-BU-004,14-T-2109B,Topping,Zoutzuur, HCl 30% Hntsm	R395[O]->D410[O]->D119[O]->D274[D]->D207[B]->W23	4.500E-9	1.651E+6		0.000E+0	1.000E+0		2.880E+4	0.000E+0	ja (BWZI)			4.529E+7
14-BU-004,14-T-2109B,Topping,Zoutzuur, HCl 30% Hntsm	R395[O]->D410[O]->D119[O]->D274[O]->D194[D]->D207[B]->W23	5.000E-11	1.651E+6		0.000E+0	1.000E+0		2.880E+4	0.000E+0	ja (BWZI)			4.529E+7
14-BU-004,14-T-2109B,Topping,Zoutzuur, HCl 30% Hntsm	R395[O]->D410[O]->D119[D]->D274[D]->D207[B]->W23	3.645E-6	1.492E+6		0.000E+0	1.000E+0		2.880E+4	0.000E+0	ja (BWZI)			1.500E+7
14-BU-004,14-T-2109B,Topping,Zoutzuur, HCl 30% Hntsm	R395[O]->D410[O]->D119[D]->D274[O]->D194[D]->D207[B]->W23	4.050E-8	1.492E+6		0.000E+0	1.000E+0		2.880E+4	0.000E+0	ja (BWZI)			1.500E+7
14-BU-004,14-T-2109B,Topping,Zoutzuur, HCl 30% Hntsm	R395[O]->D410[O]->D119[B]->D274[D]->D207[B]->W23	3.645E-7	1.491E+6		0.000E+0	1.000E+0		2.880E+4	0.000E+0	ja (BWZI)			1.479E+7
14-BU-004,14-T-2109B,Topping,Zoutzuur, HCl 30% Hntsm	R395[O]->D410[O]->D119[B]->D274[O]->D194[D]->D207[B]->W23	4.050E-9	1.491E+6		0.000E+0	1.000E+0		2.880E+4	0.000E+0	ja (BWZI)			1.479E+7

Group	Afstroomroute	Frequentie	Massa uitstroom	Volume contaminatie	MSI Factored	Weegfactor	Oever Contaminatie	Uitstroom tijd	Bluswater	RWZI			LC50 gewogen
		[j-1]	[kg]	[m3]			[m]	[s]	[m3]	inhibitie	overbelasting	Actief slib beïnvloeding	[m3]
14-BU-004,14-T-2109B,Topping,Zoutzuur, HCl 30% Hntsm	R395[O]->D410[O]->D119[O]->D274[D]->D207[B]->W23	4.050E-8	1.491E+6		0.000E+0	1.000E+0		2.880E+4	0.000E+0	ja (BWZI)			1.479E+7
14-BU-004,14-T-2109B,Topping,Zoutzuur, HCl 30% Hntsm	R395[O]->D410[O]->D119[O]->D274[O]->D194[D]->D207[B]->W23	4.500E-10	1.491E+6		0.000E+0	1.000E+0		2.880E+4	0.000E+0	ja (BWZI)			1.479E+7
14-BU-004,14-T-2109A,Topping,Zoutzuur, HCl 30% Hntsm	R395[O]->D410[O]->D119[D]->D274[D]->D207[B]->W23	4.050E-7	1.652E+6		0.000E+0	1.000E+0		2.880E+4	0.000E+0	ja (BWZI)			4.554E+7
14-BU-004,14-T-2109A,Topping,Zoutzuur, HCl 30% Hntsm	R395[O]->D410[O]->D119[D]->D274[O]->D194[D]->D207[B]->W23	4.500E-9	1.652E+6		0.000E+0	1.000E+0		2.880E+4	0.000E+0	ja (BWZI)			4.554E+7
14-BU-004,14-T-2109A,Topping,Zoutzuur, HCl 30% Hntsm	R395[O]->D410[O]->D119[B]->D274[D]->D207[B]->W23	4.050E-8	1.651E+6		0.000E+0	1.000E+0		2.880E+4	0.000E+0	ja (BWZI)			4.529E+7
14-BU-004,14-T-2109A,Topping,Zoutzuur, HCl 30% Hntsm	R395[O]->D410[O]->D119[B]->D274[O]->D194[D]->D207[B]->W23	4.500E-10	1.651E+6		0.000E+0	1.000E+0		2.880E+4	0.000E+0	ja (BWZI)			4.529E+7
14-BU-004,14-T-2109A,Topping,Zoutzuur, HCl 30% Hntsm	R395[O]->D410[O]->D119[O]->D274[D]->D207[B]->W23	4.500E-9	1.651E+6		0.000E+0	1.000E+0		2.880E+4	0.000E+0	ja (BWZI)			4.529E+7
14-BU-004,14-T-2109A,Topping,Zoutzuur, HCl 30% Hntsm	R395[O]->D410[O]->D119[O]->D274[O]->D194[D]->D207[B]->W23	5.000E-11	1.651E+6		0.000E+0	1.000E+0		2.880E+4	0.000E+0	ja (BWZI)			4.529E+7
14-BU-004,14-T-2109A,Topping,Zoutzuur, HCl 30% Hntsm	R395[O]->D410[O]->D119[D]->D274[D]->D207[B]->W23	3.645E-6	1.492E+6		0.000E+0	1.000E+0		2.880E+4	0.000E+0	ja (BWZI)			1.500E+7
14-BU-004,14-T-2109A,Topping,Zoutzuur, HCl 30% Hntsm	R395[O]->D410[O]->D119[D]->D274[O]->D194[D]->D207[B]->W23	4.050E-8	1.492E+6		0.000E+0	1.000E+0		2.880E+4	0.000E+0	ja (BWZI)			1.500E+7
14-BU-004,14-T-2109A,Topping,Zoutzuur, HCl 30% Hntsm	R395[O]->D410[O]->D119[B]->D274[D]->D207[B]->W23	3.645E-7	1.491E+6		0.000E+0	1.000E+0		2.880E+4	0.000E+0	ja (BWZI)			1.479E+7
14-BU-004,14-T-2109A,Topping,Zoutzuur, HCl 30% Hntsm	R395[O]->D410[O]->D119[B]->D274[O]->D194[D]->D207[B]->W23	4.050E-9	1.491E+6		0.000E+0	1.000E+0		2.880E+4	0.000E+0	ja (BWZI)			1.479E+7
14-BU-004,14-T-2109A,Topping,Zoutzuur, HCl 30% Hntsm	R395[O]->D410[O]->D119[O]->D274[D]->D207[B]->W23	4.050E-8	1.491E+6		0.000E+0	1.000E+0		2.880E+4	0.000E+0	ja (BWZI)			1.479E+7
14-BU-004,14-T-2109A,Topping,Zoutzuur, HCl 30% Hntsm	R395[O]->D410[O]->D119[O]->D274[O]->D194[D]->D207[B]->W23	4.500E-10	1.491E+6		0.000E+0	1.000E+0		2.880E+4	0.000E+0	ja (BWZI)			1.479E+7
12-BU-0016,12-T-125,Overvullen,Natronloog Hntsm 10-50%	R438[D]->D303[D]->D286[D]->D7[O]->D227[O]->D227[D]->D207[B]->W23	1.605E-11	2.441E+6		0.000E+0	1.000E+0		2.880E+4	0.000E+0	ja (BWZI)			5.977E+6
12-BU-0016,12-T-125,Overvullen,Natronloog Hntsm 10-50%	R438[D]->D303[D]->D286[D]->D7[O]->D227[O]->D227[D]->D207[B]->W23	3.049E-10	2.319E+6		0.000E+0	1.000E+0		2.880E+4	0.000E+0	ja (BWZI)			5.030E+6

Group	Afstroomroute	Frequentie	Massa uitstroom	Volume contaminatie	MSI Factored	Weegfactor	Oever Contaminatie	Uitstroom tijd	Bluswater	RWZI			LC50 gewogen
										inhibitie	overbelasting	Actief slib beïnvloeding	
		[j-1]	[kg]	[m3]			[m]	[s]	[m3]				[m3]
12-BU-0016,12-T-125,Overvullen,Natronloog Hntsm 10-50%	R438[D]->D303[B]->D286[D]->D7[O]->D227[O]->D227[D]->D207[B]->W23	1.444E-11	2.440E+6		0.000E+0	1.000E+0		2.880E+4	0.000E+0	ja (BWZI)			5.965E+6
12-BU-0016,12-T-125,Overvullen,Natronloog Hntsm 10-50%	R438[D]->D303[B]->D286[D]->D7[O]->D227[O]->D227[D]->D207[B]->W23	2.744E-10	2.318E+6		0.000E+0	1.000E+0		2.880E+4	0.000E+0	ja (BWZI)			5.019E+6
12-BU-0016,12-T-125,Overvullen,Natronloog Hntsm 10-50%	R438[D]->D303[O]->D286[D]->D7[O]->D227[O]->D227[D]->D207[B]->W23	1.300E-10	2.440E+6		0.000E+0	1.000E+0		2.880E+4	0.000E+0	ja (BWZI)			5.965E+6
12-BU-0016,12-T-125,Overvullen,Natronloog Hntsm 10-50%	R438[D]->D303[O]->D286[D]->D7[O]->D227[O]->D227[D]->D207[B]->W23	2.470E-9	2.318E+6		0.000E+0	1.000E+0		2.880E+4	0.000E+0	ja (BWZI)			5.019E+6
12-BU-0016,12-T-125,Overvullen,Natronloog Hntsm 10-50%	R438[O]->D303[D]->D286[D]->D7[O]->D227[O]->D227[D]->D207[B]->W23	1.444E-10	2.212E+6		0.000E+0	1.000E+0		2.880E+4	0.000E+0	ja (BWZI)			4.254E+6
12-BU-0016,12-T-125,Overvullen,Natronloog Hntsm 10-50%	R438[O]->D303[D]->D286[D]->D7[O]->D227[O]->D227[D]->D207[B]->W23	2.744E-9	2.101E+6		0.000E+0	1.000E+0		2.880E+4	0.000E+0	ja (BWZI)			3.497E+6
12-BU-0016,12-T-125,Overvullen,Natronloog Hntsm 10-50%	R438[O]->D303[B]->D286[D]->D7[O]->D227[O]->D227[D]->D207[B]->W23	1.300E-10	2.211E+6		0.000E+0	1.000E+0		2.880E+4	0.000E+0	ja (BWZI)			4.243E+6
12-BU-0016,12-T-125,Overvullen,Natronloog Hntsm 10-50%	R438[O]->D303[B]->D286[D]->D7[O]->D227[O]->D227[D]->D207[B]->W23	2.470E-9	2.099E+6		0.000E+0	1.000E+0		2.880E+4	0.000E+0	ja (BWZI)			3.488E+6
12-BU-0016,12-T-125,Overvullen,Natronloog Hntsm 10-50%	R438[O]->D303[O]->D286[D]->D7[O]->D227[O]->D227[D]->D207[B]->W23	1.170E-9	2.211E+6		0.000E+0	1.000E+0		2.880E+4	0.000E+0	ja (BWZI)			4.243E+6
12-BU-0016,12-T-125,Overvullen,Natronloog Hntsm 10-50%	R438[O]->D303[O]->D286[D]->D7[O]->D227[O]->D227[D]->D207[B]->W23	2.223E-8	2.099E+6		0.000E+0	1.000E+0		2.880E+4	0.000E+0	ja (BWZI)			3.488E+6
14-BU-T2606,14-T-2606,Instantaan falen,Natronloog Hntsm 10-50%	R449[D]->D352[O]->D119[D]->D274[D]->D207[B]->W23	4.050E-7	1.633E+6		0.000E+0	1.000E+0		2.880E+4	0.000E+0	ja (BWZI)			9.165E+5
14-BU-T2606,14-T-2606,Instantaan falen,Natronloog Hntsm 10-50%	R449[D]->D352[O]->D119[D]->D274[O]->D194[D]->D207[B]->W23	4.500E-9	1.633E+6		0.000E+0	1.000E+0		2.880E+4	0.000E+0	ja (BWZI)			9.165E+5
14-BU-T2606,14-T-2606,Instantaan falen,Natronloog Hntsm 10-50%	R449[D]->D352[O]->D119[B]->D274[D]->D207[B]->W23	4.050E-8	1.631E+6		0.000E+0	1.000E+0		2.880E+4	0.000E+0	ja (BWZI)			9.096E+5
14-BU-T2606,14-T-2606,Instantaan falen,Natronloog Hntsm 10-50%	R449[D]->D352[O]->D119[B]->D274[O]->D194[D]->D207[B]->W23	4.500E-10	1.631E+6		0.000E+0	1.000E+0		2.880E+4	0.000E+0	ja (BWZI)			9.096E+5
14-BU-T2606,14-T-2606,Instantaan falen,Natronloog Hntsm 10-50%	R449[D]->D352[O]->D119[O]->D274[D]->D207[B]->W23	4.500E-9	1.631E+6		0.000E+0	1.000E+0		2.880E+4	0.000E+0	ja (BWZI)			9.096E+5
14-BU-T2606,14-T-2606,Instantaan falen,Natronloog Hntsm 10-50%	R449[D]->D352[O]->D119[O]->D274[O]->D194[D]->D207[B]->W23	5.000E-11	1.631E+6		0.000E+0	1.000E+0		2.880E+4	0.000E+0	ja (BWZI)			9.096E+5

Group	Afstroomroute	Frequentie	Massa uitstroom	Volume contaminatie	MSI Factored	Weegfactor	Oever Contaminatie	Uitstroom tijd	Bluswater	RWZI			LC50 gewogen
		[j-1]	[kg]	[m3]			[m]	[s]	[m3]	inhibitie	overbelasting	Actief slib beïnvloeding	[m3]
14-BU-T2606,14-T-2606,Overvullen,Natronloog Hntsm 10-50%	R449[D]->D352[O]->D119[D]->D274[D]->D207[B]->W23	2.600E-9	2.684E+6		0.000E+0	1.000E+0		2.880E+4	0.000E+0	ja (BWZI)			8.035E+6
14-BU-T2606,14-T-2606,Overvullen,Natronloog Hntsm 10-50%	R449[D]->D352[O]->D119[D]->D274[O]->D194[D]->D207[B]->W23	2.889E-11	2.684E+6		0.000E+0	1.000E+0		2.880E+4	0.000E+0	ja (BWZI)			8.035E+6
14-BU-T2606,14-T-2606,Overvullen,Natronloog Hntsm 10-50%	R449[D]->D352[O]->D119[B]->D274[D]->D207[B]->W23	2.600E-10	2.682E+6		0.000E+0	1.000E+0		2.880E+4	0.000E+0	ja (BWZI)			8.021E+6
14-BU-T2606,14-T-2606,Overvullen,Natronloog Hntsm 10-50%	R449[D]->D352[O]->D119[B]->D274[O]->D194[D]->D207[B]->W23	2.889E-12	2.682E+6		0.000E+0	1.000E+0		2.880E+4	0.000E+0	ja (BWZI)			8.021E+6
14-BU-T2606,14-T-2606,Overvullen,Natronloog Hntsm 10-50%	R449[D]->D352[O]->D119[O]->D274[D]->D207[B]->W23	2.889E-11	2.682E+6		0.000E+0	1.000E+0		2.880E+4	0.000E+0	ja (BWZI)			8.021E+6
14-BU-T2606,14-T-2606,Overvullen,Natronloog Hntsm 10-50%	R449[D]->D352[O]->D119[O]->D274[O]->D194[D]->D207[B]->W23	3.210E-13	2.682E+6		0.000E+0	1.000E+0		2.880E+4	0.000E+0	ja (BWZI)			8.021E+6
14-BU-T2606,14-T-2606,Overvullen,Natronloog Hntsm 10-50%	R449[O]->D352[O]->D119[D]->D274[D]->D207[B]->W23	2.340E-8	1.869E+6		0.000E+0	1.000E+0		2.880E+4	0.000E+0	ja (BWZI)			2.097E+6
14-BU-T2606,14-T-2606,Overvullen,Natronloog Hntsm 10-50%	R449[O]->D352[O]->D119[D]->D274[O]->D194[D]->D207[B]->W23	2.600E-10	1.869E+6		0.000E+0	1.000E+0		2.880E+4	0.000E+0	ja (BWZI)			2.097E+6
14-BU-T2606,14-T-2606,Overvullen,Natronloog Hntsm 10-50%	R449[O]->D352[O]->D119[B]->D274[D]->D207[B]->W23	2.340E-9	1.867E+6		0.000E+0	1.000E+0		2.880E+4	0.000E+0	ja (BWZI)			2.088E+6
14-BU-T2606,14-T-2606,Overvullen,Natronloog Hntsm 10-50%	R449[O]->D352[O]->D119[B]->D274[O]->D194[D]->D207[B]->W23	2.600E-11	1.867E+6		0.000E+0	1.000E+0		2.880E+4	0.000E+0	ja (BWZI)			2.088E+6
14-BU-T2606,14-T-2606,Overvullen,Natronloog Hntsm 10-50%	R449[O]->D352[O]->D119[O]->D274[D]->D207[B]->W23	2.600E-10	1.867E+6		0.000E+0	1.000E+0		2.880E+4	0.000E+0	ja (BWZI)			2.088E+6
14-BU-T2606,14-T-2606,Overvullen,Natronloog Hntsm 10-50%	R449[O]->D352[O]->D119[O]->D274[O]->D194[D]->D207[B]->W23	2.889E-12	1.867E+6		0.000E+0	1.000E+0		2.880E+4	0.000E+0	ja (BWZI)			2.088E+6
14-BU-T2606,14-T-2606,Continu falen,Natronloog Hntsm 10-50%	R449[D]->D352[O]->D119[D]->D274[D]->D207[B]->W23	8.092E-6	1.596E+6		0.000E+0	1.000E+0		2.880E+4	0.000E+0	ja (BWZI)			7.536E+5
14-BU-T2606,14-T-2606,Continu falen,Natronloog Hntsm 10-50%	R449[D]->D352[O]->D119[D]->D274[O]->D194[D]->D207[B]->W23	8.991E-8	1.596E+6		0.000E+0	1.000E+0		2.880E+4	0.000E+0	ja (BWZI)			7.536E+5
14-BU-T2606,14-T-2606,Continu falen,Natronloog Hntsm 10-50%	R449[D]->D352[O]->D119[B]->D274[D]->D207[B]->W23	8.092E-7	1.594E+6		0.000E+0	1.000E+0		2.880E+4	0.000E+0	ja (BWZI)			7.471E+5
14-BU-T2606,14-T-2606,Continu falen,Natronloog Hntsm 10-50%	R449[D]->D352[O]->D119[B]->D274[O]->D194[D]->D207[B]->W23	8.991E-9	1.594E+6		0.000E+0	1.000E+0		2.880E+4	0.000E+0	ja (BWZI)			7.471E+5
14-BU-T2606,14-T-2606,Continu falen,Natronloog Hntsm 10-50%	R449[D]->D352[O]->D119[O]->D274[D]->D207[B]->W23	8.991E-8	1.594E+6		0.000E+0	1.000E+0		2.880E+4	0.000E+0	ja (BWZI)			7.471E+5

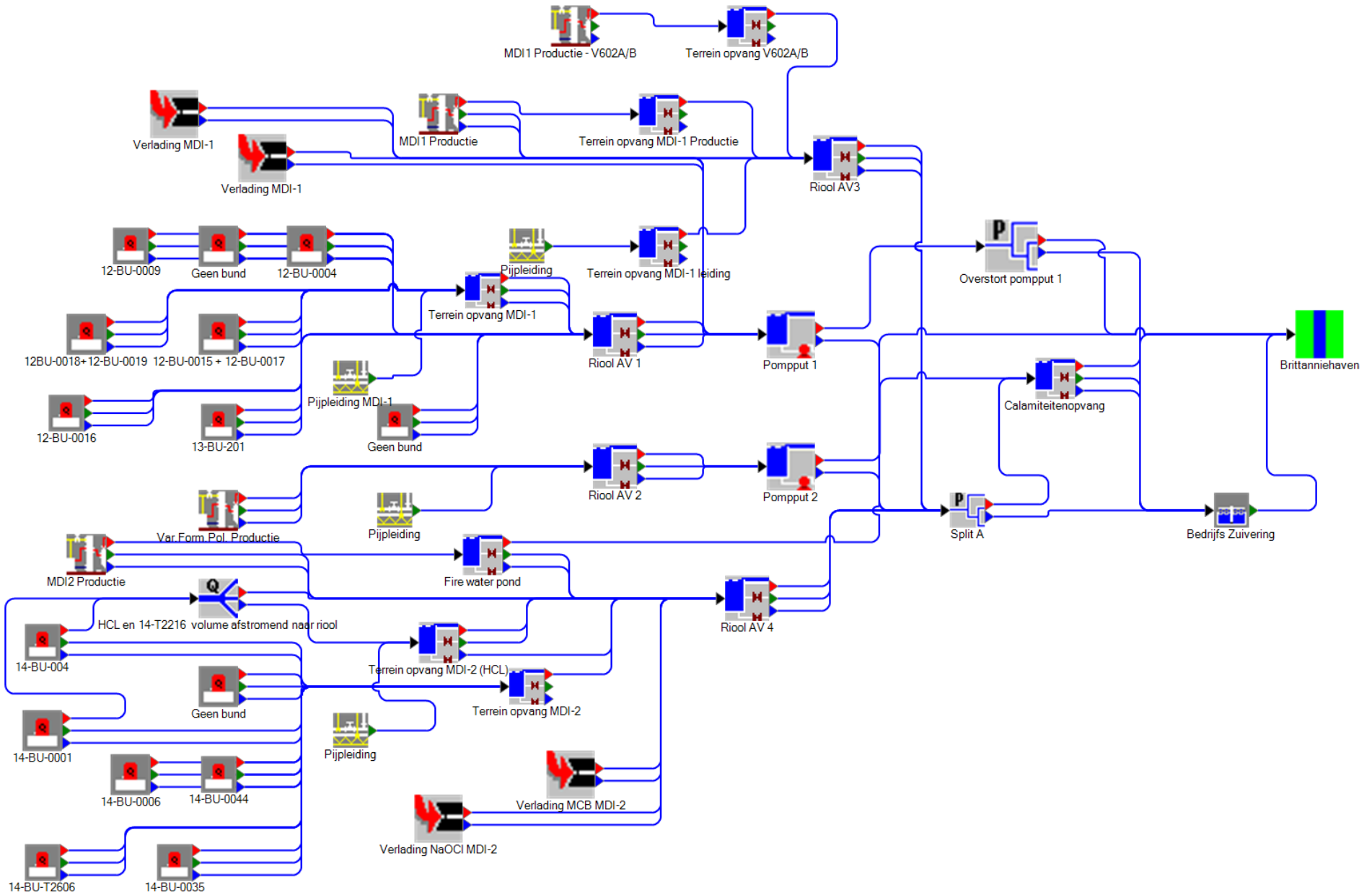
Group	Afstroomroute	Frequentie	Massa uitstroom	Volume contaminatie	MSI Factored	Weegfactor	Oever Contaminatie	Uitstroom tijd	Bluswater	RWZI			LC50 gewogen
		[j-1]	[kg]	[m3]			[m]	[s]	[m3]	inhibitie	overbelasting	Actief slib beïnvloeding	[m3]
14-BU-T2606,14-T-2606,Continuafalen,Natronloog Hntsm 10-50%	R449[D]->D352[O]->D119[O]->D274[O]->D194[D]->D207[B]->W23	9.990E-10	1.594E+6		0.000E+0	1.000E+0		2.880E+4	0.000E+0	ja (BWZI)			7.471E+5
14-BU-T2606,14-T-2606,Topping,Natronloog Hntsm 10-50%	R449[O]->D352[O]->D119[D]->D274[D]->D207[B]->W23	4.050E-6	1.839E+6		0.000E+0	1.000E+0		2.880E+4	0.000E+0	ja (BWZI)			1.932E+6
14-BU-T2606,14-T-2606,Topping,Natronloog Hntsm 10-50%	R449[O]->D352[O]->D119[D]->D274[O]->D194[D]->D207[B]->W23	4.500E-8	1.839E+6		0.000E+0	1.000E+0		2.880E+4	0.000E+0	ja (BWZI)			1.932E+6
14-BU-T2606,14-T-2606,Topping,Natronloog Hntsm 10-50%	R449[O]->D352[O]->D119[B]->D274[D]->D207[B]->W23	4.050E-7	1.837E+6		0.000E+0	1.000E+0		2.880E+4	0.000E+0	ja (BWZI)			1.924E+6
14-BU-T2606,14-T-2606,Topping,Natronloog Hntsm 10-50%	R449[O]->D352[O]->D119[B]->D274[O]->D194[D]->D207[B]->W23	4.500E-9	1.837E+6		0.000E+0	1.000E+0		2.880E+4	0.000E+0	ja (BWZI)			1.924E+6
14-BU-T2606,14-T-2606,Topping,Natronloog Hntsm 10-50%	R449[O]->D352[O]->D119[O]->D274[D]->D207[B]->W23	4.500E-8	1.837E+6		0.000E+0	1.000E+0		2.880E+4	0.000E+0	ja (BWZI)			1.924E+6
14-BU-T2606,14-T-2606,Topping,Natronloog Hntsm 10-50%	R449[O]->D352[O]->D119[O]->D274[O]->D194[D]->D207[B]->W23	5.000E-10	1.837E+6		0.000E+0	1.000E+0		2.880E+4	0.000E+0	ja (BWZI)			1.924E+6
14-BU-T2606,14-T-2606,Spigot,Natronloog Hntsm 10-50%	R449[O]->D352[O]->D119[D]->D274[D]->D207[B]->W23	5.631E-5	1.539E+6		0.000E+0	1.000E+0		2.880E+4	0.000E+0	ja (BWZI)			5.164E+5
14-BU-T2606,14-T-2606,Spigot,Natronloog Hntsm 10-50%	R449[O]->D352[O]->D119[D]->D274[O]->D194[D]->D207[B]->W23	6.257E-7	1.539E+6		0.000E+0	1.000E+0		2.880E+4	0.000E+0	ja (BWZI)			5.164E+5
14-BU-T2606,14-T-2606,Spigot,Natronloog Hntsm 10-50%	R449[O]->D352[O]->D119[B]->D274[D]->D207[B]->W23	5.631E-6	1.537E+6		0.000E+0	1.000E+0		2.880E+4	0.000E+0	ja (BWZI)			5.102E+5
14-BU-T2606,14-T-2606,Spigot,Natronloog Hntsm 10-50%	R449[O]->D352[O]->D119[B]->D274[O]->D194[D]->D207[B]->W23	6.257E-8	1.537E+6		0.000E+0	1.000E+0		2.880E+4	0.000E+0	ja (BWZI)			5.102E+5
14-BU-T2606,14-T-2606,Spigot,Natronloog Hntsm 10-50%	R449[O]->D352[O]->D119[O]->D274[D]->D207[B]->W23	6.257E-7	1.537E+6		0.000E+0	1.000E+0		2.880E+4	0.000E+0	ja (BWZI)			5.102E+5
14-BU-T2606,14-T-2606,Spigot,Natronloog Hntsm 10-50%	R449[O]->D352[O]->D119[O]->D274[O]->D194[D]->D207[B]->W23	6.952E-9	1.537E+6		0.000E+0	1.000E+0		2.880E+4	0.000E+0	ja (BWZI)			5.102E+5
Pijpleiding,,Leidingbreuk,Voorbedstof oevercontaminatie	R459[B]->D312[D]->D3[O]->D194[O]->D194[D]->D207[B]->W23	3.444E-7	1.002E+4		0.000E+0	1.000E+0		2.880E+4	0.000E+0	ja (BWZI)			1.002E+7
Pijpleiding,,Leidingbreuk,Voorbedstof volumecontaminatie	R459[B]->D312[D]->D3[O]->D194[O]->D194[D]->D207[B]->W23	3.444E-7	1.413E+6		0.000E+0	1.000E+0		2.880E+4	0.000E+0	ja (BWZI)			1.417E+6

2.3 Acceptabel risico units

Group	Afstroomroute	Frequentie	Massa uitstroom	Volume contaminatie	MSI Factored	Weegfactor	Oever Contaminatie	Uitstroom tijd	Bluswater	RWZI			LC50 gewogen
										inhibitie	overbelasting	Actief slib beïnvloeding	
		[j-1]	[kg]	[m3]			[m]	[s]	[m3]				[m3]
Geen bund,14-T2611,Overvullen,Lube oil - smeerolie Hntsm	R45[D]->D352[O]->D119[D]->D274[D]->D207[B]->W23	3.886E-6	8.970E+4		1.260E-2	1.500E+0	2.533E+2	2.880E+4	0.000E+0	ja (BWZI)		ja (BWZI)	8.970E+5
14-BU-004,14-T-2109B,Topping,Zoutzuur, HCl 30% Hntsm	R395[O]->D410[O]->D119[D]->D274[D]->D207[B]->W23	4.050E-7	1.652E+6	7.083E+6	5.060E-1	1.071E+0		2.880E+4	0.000E+0	ja (BWZI)			4.554E+7
14-BU-004,14-T-2109B,Topping,Zoutzuur, HCl 30% Hntsm	R395[O]->D410[O]->D119[D]->D274[O]->D194[D]->D207[B]->W23	4.500E-9	1.652E+6	7.083E+6	5.060E-1	1.071E+0		2.880E+4	0.000E+0	ja (BWZI)			4.554E+7
14-BU-004,14-T-2109B,Topping,Zoutzuur, HCl 30% Hntsm	R395[O]->D410[O]->D119[B]->D274[D]->D207[B]->W23	4.050E-8	1.651E+6	7.068E+6	5.048E-1	1.071E+0		2.880E+4	0.000E+0	ja (BWZI)			4.529E+7
14-BU-004,14-T-2109B,Topping,Zoutzuur, HCl 30% Hntsm	R395[O]->D410[O]->D119[B]->D274[O]->D194[D]->D207[B]->W23	4.500E-10	1.651E+6	7.068E+6	5.048E-1	1.071E+0		2.880E+4	0.000E+0	ja (BWZI)			4.529E+7
14-BU-004,14-T-2109B,Topping,Zoutzuur, HCl 30% Hntsm	R395[O]->D410[O]->D119[O]->D274[D]->D207[B]->W23	4.500E-9	1.651E+6	7.068E+6	5.048E-1	1.071E+0		2.880E+4	0.000E+0	ja (BWZI)			4.529E+7
14-BU-004,14-T-2109B,Topping,Zoutzuur, HCl 30% Hntsm	R395[O]->D410[O]->D119[O]->D274[O]->D194[D]->D207[B]->W23	5.000E-11	1.651E+6	7.068E+6	5.048E-1	1.071E+0		2.880E+4	0.000E+0	ja (BWZI)			4.529E+7
14-BU-004,14-T-2109B,Topping,Zoutzuur, HCl 30% Hntsm	R395[O]->D410[O]->D119[D]->D274[D]->D207[B]->W23	3.645E-6	1.492E+6	3.263E+6	2.331E-1	1.071E+0		2.880E+4	0.000E+0	ja (BWZI)			1.500E+7
14-BU-004,14-T-2109B,Topping,Zoutzuur, HCl 30% Hntsm	R395[O]->D410[O]->D119[D]->D274[O]->D194[D]->D207[B]->W23	4.050E-8	1.492E+6	3.263E+6	2.331E-1	1.071E+0		2.880E+4	0.000E+0	ja (BWZI)			1.500E+7
14-BU-004,14-T-2109A,Topping,Zoutzuur, HCl 30% Hntsm	R395[O]->D410[O]->D119[D]->D274[D]->D207[B]->W23	4.050E-7	1.652E+6	7.083E+6	5.060E-1	1.071E+0		2.880E+4	0.000E+0	ja (BWZI)			4.554E+7
14-BU-004,14-T-2109A,Topping,Zoutzuur, HCl 30% Hntsm	R395[O]->D410[O]->D119[D]->D274[O]->D194[D]->D207[B]->W23	4.500E-9	1.652E+6	7.083E+6	5.060E-1	1.071E+0		2.880E+4	0.000E+0	ja (BWZI)			4.554E+7
14-BU-004,14-T-2109A,Topping,Zoutzuur, HCl 30% Hntsm	R395[O]->D410[O]->D119[B]->D274[D]->D207[B]->W23	4.050E-8	1.651E+6	7.068E+6	5.048E-1	1.071E+0		2.880E+4	0.000E+0	ja (BWZI)			4.529E+7
14-BU-004,14-T-2109A,Topping,Zoutzuur, HCl 30% Hntsm	R395[O]->D410[O]->D119[B]->D274[O]->D194[D]->D207[B]->W23	4.500E-10	1.651E+6	7.068E+6	5.048E-1	1.071E+0		2.880E+4	0.000E+0	ja (BWZI)			4.529E+7
14-BU-004,14-T-2109A,Topping,Zoutzuur, HCl 30% Hntsm	R395[O]->D410[O]->D119[O]->D274[D]->D207[B]->W23	4.500E-9	1.651E+6	7.068E+6	5.048E-1	1.071E+0		2.880E+4	0.000E+0	ja (BWZI)			4.529E+7
14-BU-004,14-T-2109A,Topping,Zoutzuur, HCl 30% Hntsm	R395[O]->D410[O]->D119[O]->D274[O]->D194[D]->D207[B]->W23	5.000E-11	1.651E+6	7.068E+6	5.048E-1	1.071E+0		2.880E+4	0.000E+0	ja (BWZI)			4.529E+7

Group	Afstroomroute	Frequentie	Massa uitstroom	Volume contaminatie	MSI Factored	Weegfactor	Oever Contaminatie	Uitstroom tijd	Bluswater	RWZI			LC50 gewogen
										inhibitie	overbelasting	Actief slib beïnvloeding	
		[j-1]	[kg]	[m3]			[m]	[s]	[m3]				[m3]
14-BU-004,14-T-2109A,Topping,Zoutzuur, HCl 30% Hntsm	R395[O]->D410[O]->D119[D]->D274[D]->D207[B]->W23	3.645E-6	1.492E+6	3.263E+6	2.331E-1	1.071E+0		2.880E+4	0.000E+0	ja (BWZI)			1.500E+7
14-BU-004,14-T-2109A,Topping,Zoutzuur, HCl 30% Hntsm	R395[O]->D410[O]->D119[D]->D274[O]->D194[D]->D207[B]->W23	4.050E-8	1.492E+6	3.263E+6	2.331E-1	1.071E+0		2.880E+4	0.000E+0	ja (BWZI)			1.500E+7

3 Schema



4. Volledig berekeningsresultaat

4.1 Unit Geen bund

Group	Afstroomroute	Frequentie	Massa uitstroom	Volume contaminatie	MSI Factored	Weegfactor	Oever Contaminatie	Uitstroom tijd	Bluswater	RWZI			LC50 gewogen
		[j-1]	[kg]	[m3]			[m]	[s]	[m3]	inhibitie	overbelasting	Actief slib beïnvloeding	[m3]
Geen bund,14-T2611,Overvullen,Lube oil - smeerolie Hntsm	R45[D]->D352[O]->D119[D]->D274[D]->D207[B]->W23	3.886E-6	8.970E+4		1.260E-2	1.500E+0	2.533E+2	2.880E+4	0.000E+0	ja (BWZI)		ja (BWZI)	8.970E+5
Geen bund,14-T2611,Overvullen,Lube oil - smeerolie Hntsm	R45[D]->D352[O]->D119[D]->D274[D]->D207[B]->W23	3.886E-6	8.970E+4		0.000E+0	1.000E+0		2.880E+4	0.000E+0	ja (BWZI)		ja (BWZI)	8.970E+5
Geen bund,14-T2611,Overvullen,Lube oil - smeerolie Hntsm	R45[D]->D352[O]->D119[D]->D274[O]->D194[D]->D207[B]->W23	4.317E-8	8.970E+4		1.260E-2	1.500E+0	2.533E+2	2.880E+4	0.000E+0	ja (BWZI)		ja (BWZI)	8.970E+5
Geen bund,14-T2611,Overvullen,Lube oil - smeerolie Hntsm	R45[D]->D352[O]->D119[D]->D274[O]->D194[D]->D207[B]->W23	4.317E-8	8.970E+4		0.000E+0	1.000E+0		2.880E+4	0.000E+0	ja (BWZI)		ja (BWZI)	8.970E+5
Geen bund,14-T2611,Overvullen,Lube oil - smeerolie Hntsm	R45[D]->D352[O]->D119[B]->D274[D]->D207[B]->W23	3.886E-7	8.881E+4		1.247E-2	1.500E+0	2.520E+2	2.880E+4	0.000E+0	ja (BWZI)		ja (BWZI)	8.881E+5
Geen bund,14-T2611,Overvullen,Lube oil - smeerolie Hntsm	R45[D]->D352[O]->D119[B]->D274[D]->D207[B]->W23	3.886E-7	8.881E+4		0.000E+0	1.000E+0		2.880E+4	0.000E+0	ja (BWZI)		ja (BWZI)	8.881E+5
Geen bund,14-T2611,Overvullen,Lube oil - smeerolie Hntsm	R45[D]->D352[O]->D119[B]->D274[O]->D194[D]->D207[B]->W23	4.317E-9	8.881E+4		1.247E-2	1.500E+0	2.520E+2	2.880E+4	0.000E+0	ja (BWZI)		ja (BWZI)	8.881E+5
Geen bund,14-T2611,Overvullen,Lube oil - smeerolie Hntsm	R45[D]->D352[O]->D119[B]->D274[O]->D194[D]->D207[B]->W23	4.317E-9	8.881E+4		0.000E+0	1.000E+0		2.880E+4	0.000E+0	ja (BWZI)		ja (BWZI)	8.881E+5
Geen bund,14-T2611,Overvullen,Lube oil - smeerolie Hntsm	R45[D]->D352[O]->D119[O]->D274[D]->D207[B]->W23	4.317E-8	8.881E+4		1.247E-2	1.500E+0	2.520E+2	2.880E+4	0.000E+0	ja (BWZI)		ja (BWZI)	8.881E+5
Geen bund,14-T2611,Overvullen,Lube oil - smeerolie Hntsm	R45[D]->D352[O]->D119[O]->D274[D]->D207[B]->W23	4.317E-8	8.881E+4		0.000E+0	1.000E+0		2.880E+4	0.000E+0	ja (BWZI)		ja (BWZI)	8.881E+5
Geen bund,14-T2611,Overvullen,Lube oil - smeerolie Hntsm	R45[D]->D352[O]->D119[O]->D274[O]->D194[D]->D207[B]->W23	4.797E-10	8.881E+4		1.247E-2	1.500E+0	2.520E+2	2.880E+4	0.000E+0	ja (BWZI)		ja (BWZI)	8.881E+5
Geen bund,14-T2611,Overvullen,Lube oil - smeerolie Hntsm	R45[D]->D352[O]->D119[O]->D274[O]->D194[D]->D207[B]->W23	4.797E-10	8.881E+4		0.000E+0	1.000E+0		2.880E+4	0.000E+0	ja (BWZI)		ja (BWZI)	8.881E+5
Geen bund,14-T2611,Continu falen,Lube oil - smeerolie Hntsm	R45[D]->D352[O]->D119[D]->D274[D]->D207[B]->W23	8.092E-5	3.338E+2		4.688E-5	1.500E+0	1.545E+1	2.880E+4	0.000E+0				3.338E+3
Geen bund,14-T2611,Continu falen,Lube oil - smeerolie Hntsm	R45[D]->D352[O]->D119[D]->D274[D]->D207[B]->W23	8.092E-5	3.338E+2		0.000E+0	1.000E+0		2.880E+4	0.000E+0				3.338E+3
Geen bund,14-T2611,Continu falen,Lube oil - smeerolie Hntsm	R45[D]->D352[O]->D119[D]->D274[O]->D194[D]->D207[B]->W23	8.991E-7	3.338E+2		4.688E-5	1.500E+0	1.545E+1	2.880E+4	0.000E+0				3.338E+3

Group	Afstroomroute	Frequentie	Massa uitstroom	Volume contaminatie	MSI Factored	Weegfactor	Oever Contaminatie	Uitstroom tijd	Bluswater	RWZI			LC50 gewogen
		[j-1]	[kg]	[m3]			[m]	[s]	[m3]	inhibitie	overbelasting	Actief slib beïnvloeding	[m3]
Geen bund,14-T2611,Continu falen,Lube oil - smeerolie Hntsm	R45[D]->D352[O]->D119[D]->D274[O]->D194[D]->D207[B]->W23	8.991E-7	3.338E+2		0.000E+0	1.000E+0		2.880E+4	0.000E+0				3.338E+3
Geen bund,14-T2611,Topping,Lube oil - smeerolie Hntsm	R45[O]->D352[O]->D119[D]->D274[D]->D207[B]->W23	4.050E-6	9.946E+2		1.397E-4	1.500E+0	2.667E+1	2.880E+4	0.000E+0				9.946E+3
Geen bund,14-T2611,Topping,Lube oil - smeerolie Hntsm	R45[O]->D352[O]->D119[D]->D274[D]->D207[B]->W23	4.050E-6	9.946E+2		0.000E+0	1.000E+0		2.880E+4	0.000E+0				9.946E+3
Geen bund,14-T2611,Topping,Lube oil - smeerolie Hntsm	R45[O]->D352[O]->D119[D]->D274[O]->D194[D]->D207[B]->W23	4.500E-8	9.946E+2		1.397E-4	1.500E+0	2.667E+1	2.880E+4	0.000E+0				9.946E+3
Geen bund,14-T2611,Topping,Lube oil - smeerolie Hntsm	R45[O]->D352[O]->D119[D]->D274[O]->D194[D]->D207[B]->W23	4.500E-8	9.946E+2		0.000E+0	1.000E+0		2.880E+4	0.000E+0				9.946E+3
Geen bund,14-T2611,Topping,Lube oil - smeerolie Hntsm	R45[O]->D352[O]->D119[B]->D274[D]->D207[B]->W23	4.050E-7	1.046E+2		1.469E-5	1.500E+0	8.649E+0	2.880E+4	0.000E+0				1.046E+3
Geen bund,14-T2611,Topping,Lube oil - smeerolie Hntsm	R45[O]->D352[O]->D119[B]->D274[D]->D207[B]->W23	4.050E-7	1.046E+2		0.000E+0	1.000E+0		2.880E+4	0.000E+0				1.046E+3
Geen bund,14-T2611,Topping,Lube oil - smeerolie Hntsm	R45[O]->D352[O]->D119[B]->D274[O]->D194[D]->D207[B]->W23	4.500E-9	1.046E+2		1.469E-5	1.500E+0	8.649E+0	2.880E+4	0.000E+0				1.046E+3
Geen bund,14-T2611,Topping,Lube oil - smeerolie Hntsm	R45[O]->D352[O]->D119[B]->D274[O]->D194[D]->D207[B]->W23	4.500E-9	1.046E+2		0.000E+0	1.000E+0		2.880E+4	0.000E+0				1.046E+3
Geen bund,14-T2611,Topping,Lube oil - smeerolie Hntsm	R45[O]->D352[O]->D119[O]->D274[D]->D207[B]->W23	4.500E-8	1.046E+2		1.469E-5	1.500E+0	8.649E+0	2.880E+4	0.000E+0				1.046E+3
Geen bund,14-T2611,Topping,Lube oil - smeerolie Hntsm	R45[O]->D352[O]->D119[O]->D274[D]->D207[B]->W23	4.500E-8	1.046E+2		0.000E+0	1.000E+0		2.880E+4	0.000E+0				1.046E+3
Geen bund,14-T2611,Topping,Lube oil - smeerolie Hntsm	R45[O]->D352[O]->D119[O]->D274[O]->D194[D]->D207[B]->W23	5.000E-10	1.046E+2		1.469E-5	1.500E+0	8.649E+0	2.880E+4	0.000E+0				1.046E+3
Geen bund,14-T2611,Topping,Lube oil - smeerolie Hntsm	R45[O]->D352[O]->D119[O]->D274[O]->D194[D]->D207[B]->W23	5.000E-10	1.046E+2		0.000E+0	1.000E+0		2.880E+4	0.000E+0				1.046E+3

4.2 Unit 14-BU-0001

Group	Afstroomroute	Frequentie	Massa uitstroom	Volume contaminatie	MSI Factored	Weegfactor	Oever Contaminatie	Uitstroom tijd	Bluswater	RWZI			LC50 gewogen
										inhibitie	overbelasting	Actief slib beïnvloeding	
		[j-1]	[kg]	[m3]			[m]	[s]	[m3]				[m3]
14-BU-0001,14-T2216,Topping,DADPM Hntsm	R49[O]->D410[O]->D119[D]->D274[D]->D207[B]->W23	4.050E-6	1.479E+6		0.000E+0	1.000E+0		2.880E+4	0.000E+0	ja (BWZI)			9.287E+6
14-BU-0001,14-T2216,Topping,DADPM Hntsm	R49[O]->D410[O]->D119[D]->D274[O]->D194[D]->D207[B]->W23	4.500E-8	1.479E+6		0.000E+0	1.000E+0		2.880E+4	0.000E+0	ja (BWZI)			9.287E+6
14-BU-0001,14-T2216,Topping,DADPM Hntsm	R49[O]->D410[O]->D119[B]->D274[D]->D207[B]->W23	4.050E-7	1.478E+6		0.000E+0	1.000E+0		2.880E+4	0.000E+0	ja (BWZI)			9.162E+6
14-BU-0001,14-T2216,Topping,DADPM Hntsm	R49[O]->D410[O]->D119[B]->D274[O]->D194[D]->D207[B]->W23	4.500E-9	1.478E+6		0.000E+0	1.000E+0		2.880E+4	0.000E+0	ja (BWZI)			9.162E+6
14-BU-0001,14-T2216,Topping,DADPM Hntsm	R49[O]->D410[O]->D119[O]->D274[D]->D207[B]->W23	4.500E-8	1.478E+6		0.000E+0	1.000E+0		2.880E+4	0.000E+0	ja (BWZI)			9.162E+6
14-BU-0001,14-T2216,Topping,DADPM Hntsm	R49[O]->D410[O]->D119[O]->D274[O]->D194[D]->D207[B]->W23	5.000E-10	1.478E+6		0.000E+0	1.000E+0		2.880E+4	0.000E+0	ja (BWZI)			9.162E+6
14-BU-0001,14-V2121,Topping,Aniline Hntsm	R49[O]->D410[O]->D119[D]->D274[D]->D207[B]->W23	4.050E-6	1.451E+6		0.000E+0	1.000E+0		2.880E+4	0.000E+0	ja (BWZI)			5.939E+5
14-BU-0001,14-V2121,Topping,Aniline Hntsm	R49[O]->D410[O]->D119[D]->D274[O]->D194[D]->D207[B]->W23	4.500E-8	1.451E+6		0.000E+0	1.000E+0		2.880E+4	0.000E+0	ja (BWZI)			5.939E+5
14-BU-0001,14-V2121,Topping,Aniline Hntsm	R49[O]->D410[O]->D119[B]->D274[D]->D207[B]->W23	4.050E-7	1.450E+6		0.000E+0	1.000E+0		2.880E+4	0.000E+0	ja (BWZI)			5.817E+5
14-BU-0001,14-V2121,Topping,Aniline Hntsm	R49[O]->D410[O]->D119[B]->D274[O]->D194[D]->D207[B]->W23	4.500E-9	1.450E+6		0.000E+0	1.000E+0		2.880E+4	0.000E+0	ja (BWZI)			5.817E+5
14-BU-0001,14-V2121,Topping,Aniline Hntsm	R49[O]->D410[O]->D119[O]->D274[D]->D207[B]->W23	4.500E-8	1.450E+6		0.000E+0	1.000E+0		2.880E+4	0.000E+0	ja (BWZI)			5.817E+5
14-BU-0001,14-V2121,Topping,Aniline Hntsm	R49[O]->D410[O]->D119[O]->D274[O]->D194[D]->D207[B]->W23	5.000E-10	1.450E+6		0.000E+0	1.000E+0		2.880E+4	0.000E+0	ja (BWZI)			5.817E+5

4.3 Unit 14-BU-0006

Group	Afstroomroute	Frequentie	Massa uitstroom	Volume contaminatie	MSI Factored	Weegfactor	Oever Contaminatie	Uitstroom tijd	Bluswater	RWZI			LC50 gewogen
										inhibitie	overbelasting	Actief slib beïnvloeding	
		[j-1]	[kg]	[m3]			[m]	[s]	[m3]				[m3]
14-BU-0006,14-V2107A,Topping,MCB Hntsm	R53[O]->D352[O]->D119[D]->D274[D]->D207[B]->W23	4.050E-6	0.000E+0		0.000E+0	1.500E+0	0.000E+0	2.880E+4	0.000E+0	nee (BWZI)			0.000E+0
14-BU-0006,14-V2107A,Topping,MCB Hntsm	R53[O]->D352[O]->D119[D]->D274[D]->D207[B]->W23	4.050E-6	0.000E+0		0.000E+0	1.000E+0		2.880E+4	0.000E+0	ja (BWZI)			0.000E+0
14-BU-0006,14-V2107A,Topping,MCB Hntsm	R53[O]->D352[O]->D119[D]->D274[O]->D194[D]->D207[B]->W23	4.500E-8	0.000E+0		0.000E+0	1.500E+0	0.000E+0	2.880E+4	0.000E+0	nee (BWZI)			0.000E+0
14-BU-0006,14-V2107A,Topping,MCB Hntsm	R53[O]->D352[O]->D119[D]->D274[O]->D194[D]->D207[B]->W23	4.500E-8	0.000E+0		0.000E+0	1.000E+0		2.880E+4	0.000E+0	ja (BWZI)			0.000E+0
14-BU-0006,14-V2107A,Topping,MCB Hntsm	R53[O]->D352[O]->D119[B]->D274[D]->D207[B]->W23	4.050E-7	0.000E+0		0.000E+0	1.500E+0	0.000E+0	2.880E+4	0.000E+0	nee (BWZI)			0.000E+0
14-BU-0006,14-V2107A,Topping,MCB Hntsm	R53[O]->D352[O]->D119[B]->D274[D]->D207[B]->W23	4.050E-7	0.000E+0		0.000E+0	1.000E+0		2.880E+4	0.000E+0	ja (BWZI)			0.000E+0
14-BU-0006,14-V2107A,Topping,MCB Hntsm	R53[O]->D352[O]->D119[B]->D274[O]->D194[D]->D207[B]->W23	4.500E-9	0.000E+0		0.000E+0	1.500E+0	0.000E+0	2.880E+4	0.000E+0	nee (BWZI)			0.000E+0
14-BU-0006,14-V2107A,Topping,MCB Hntsm	R53[O]->D352[O]->D119[B]->D274[O]->D194[D]->D207[B]->W23	4.500E-9	0.000E+0		0.000E+0	1.000E+0		2.880E+4	0.000E+0	ja (BWZI)			0.000E+0
14-BU-0006,14-V2107A,Topping,MCB Hntsm	R53[O]->D352[O]->D119[O]->D274[D]->D207[B]->W23	4.500E-8	0.000E+0		0.000E+0	1.500E+0	0.000E+0	2.880E+4	0.000E+0	nee (BWZI)			0.000E+0
14-BU-0006,14-V2107A,Topping,MCB Hntsm	R53[O]->D352[O]->D119[O]->D274[D]->D207[B]->W23	4.500E-8	0.000E+0		0.000E+0	1.000E+0		2.880E+4	0.000E+0	ja (BWZI)			0.000E+0
14-BU-0006,14-V2107A,Topping,MCB Hntsm	R53[O]->D352[O]->D119[O]->D274[O]->D194[D]->D207[B]->W23	5.000E-10	0.000E+0		0.000E+0	1.500E+0	0.000E+0	2.880E+4	0.000E+0	nee (BWZI)			0.000E+0
14-BU-0006,14-V2107A,Topping,MCB Hntsm	R53[O]->D352[O]->D119[O]->D274[O]->D194[D]->D207[B]->W23	5.000E-10	0.000E+0		0.000E+0	1.000E+0		2.880E+4	0.000E+0	ja (BWZI)			0.000E+0

4.4 Unit MDI1 Productie

Group	Afstroomroute	Frequentie	Massa uitstroom	Volume contaminatie	MSI Factored	Weegfactor	Oever Contaminatie	Uitstroom tijd	Bluswater	RWZI			LC50 gewogen
										inhibitie	overbelasting	Actief slib beïnvloeding	
		[j-1]	[kg]	[m3]			[m]	[s]	[m3]				[m3]
MDI1 Productie,12-V230,Instantaan falen,Receptnr 1: Aniline/DADPM/HCl (C.Reactor: 12-V230)	R61[D]->D259[D]->D274[D]->D207[B]->W23	4.050E-6	1.449E+6		0.000E+0	1.000E+0		2.880E+4	0.000E+0	ja (BWZI)			4.532E+6
MDI1 Productie,12-V230,Instantaan falen,Receptnr 1: Aniline/DADPM/HCl (C.Reactor: 12-V230)	R61[D]->D259[D]->D274[O]->D194[D]->D207[B]->W23	4.500E-8	1.449E+6		0.000E+0	1.000E+0		2.880E+4	0.000E+0	ja (BWZI)			4.532E+6
MDI1 Productie,12-V230,Instantaan falen,Receptnr 1: Aniline/DADPM/HCl (C.Reactor: 12-V230)	R61[D]->D259[B]->D274[D]->D207[B]->W23	4.050E-7	1.448E+6		0.000E+0	1.000E+0		2.880E+4	0.000E+0	ja (BWZI)			4.431E+6
MDI1 Productie,12-V230,Instantaan falen,Receptnr 1: Aniline/DADPM/HCl (C.Reactor: 12-V230)	R61[D]->D259[B]->D274[O]->D194[D]->D207[B]->W23	4.500E-9	1.448E+6		0.000E+0	1.000E+0		2.880E+4	0.000E+0	ja (BWZI)			4.431E+6
MDI1 Productie,12-V230,Instantaan falen,Receptnr 1: Aniline/DADPM/HCl (C.Reactor: 12-V230)	R61[D]->D259[O]->D274[D]->D207[B]->W23	4.500E-8	1.448E+6		0.000E+0	1.000E+0		2.880E+4	0.000E+0	ja (BWZI)			4.431E+6
MDI1 Productie,12-V230,Instantaan falen,Receptnr 1: Aniline/DADPM/HCl (C.Reactor: 12-V230)	R61[D]->D259[O]->D274[O]->D194[D]->D207[B]->W23	5.000E-10	1.448E+6		0.000E+0	1.000E+0		2.880E+4	0.000E+0	ja (BWZI)			4.431E+6
MDI1 Productie,12-V230,Continu falen,Receptnr 1: Aniline/DADPM/HCl (C.Reactor: 12-V230)	R61[D]->D259[D]->D274[D]->D207[B]->W23	8.092E-5	1.406E+6		0.000E+0	1.000E+0		2.880E+4	0.000E+0	ja (BWZI)			5.526E+5
MDI1 Productie,12-V230,Continu falen,Receptnr 1: Aniline/DADPM/HCl (C.Reactor: 12-V230)	R61[D]->D259[D]->D274[O]->D194[D]->D207[B]->W23	8.991E-7	1.406E+6		0.000E+0	1.000E+0		2.880E+4	0.000E+0	ja (BWZI)			5.526E+5
MDI1 Productie,12-V230,Continu falen,Receptnr 1: Aniline/DADPM/HCl (C.Reactor: 12-V230)	R61[D]->D259[B]->D274[D]->D207[B]->W23	8.092E-6	1.405E+6		0.000E+0	1.000E+0		2.880E+4	0.000E+0	ja (BWZI)			4.573E+5
MDI1 Productie,12-V230,Continu falen,Receptnr 1: Aniline/DADPM/HCl (C.Reactor: 12-V230)	R61[D]->D259[B]->D274[O]->D194[D]->D207[B]->W23	8.991E-8	1.405E+6		0.000E+0	1.000E+0		2.880E+4	0.000E+0	ja (BWZI)			4.573E+5
MDI1 Productie,12-V230,Continu falen,Receptnr 1: Aniline/DADPM/HCl (C.Reactor: 12-V230)	R61[D]->D259[O]->D274[D]->D207[B]->W23	8.991E-7	1.405E+6		0.000E+0	1.000E+0		2.880E+4	0.000E+0	ja (BWZI)			4.573E+5
MDI1 Productie,12-V230,Continu falen,Receptnr 1: Aniline/DADPM/HCl (C.Reactor: 12-V230)	R61[D]->D259[O]->D274[O]->D194[D]->D207[B]->W23	9.990E-9	1.405E+6		0.000E+0	1.000E+0		2.880E+4	0.000E+0	ja (BWZI)			4.573E+5

Group	Afstroomroute	Frequentie	Massa uitstroom	Volume contaminatie	MSI Factored	Weegfactor	Oever Contaminatie	Uitstroom tijd	Bluswater	RWZI			LC50 gewogen
										inhibitie	overbelasting	Actief slib beïnvloeding	
		[j-1]	[kg]	[m3]			[m]	[s]	[m3]				[m3]
MDI1 Productie,12-V209A,Instantaan falen,Receptnr 1: Amine Brine (C.Reactor: 12-V209A)	R61[D]->D259[D]->D274[D]->D207[B]->W23	4.050E-6	1.445E+6		0.000E+0	1.000E+0		2.880E+4	0.000E+0	ja (BWZI)			5.192E+5
MDI1 Productie,12-V209A,Instantaan falen,Receptnr 1: Amine Brine (C.Reactor: 12-V209A)	R61[D]->D259[D]->D274[O]->D194[D]->D207[B]->W23	4.500E-8	1.445E+6		0.000E+0	1.000E+0		2.880E+4	0.000E+0	ja (BWZI)			5.192E+5
MDI1 Productie,12-V209A,Instantaan falen,Receptnr 1: Amine Brine (C.Reactor: 12-V209A)	R61[D]->D259[B]->D274[D]->D207[B]->W23	4.050E-7	1.444E+6		0.000E+0	1.000E+0		2.880E+4	0.000E+0	ja (BWZI)			5.070E+5
MDI1 Productie,12-V209A,Instantaan falen,Receptnr 1: Amine Brine (C.Reactor: 12-V209A)	R61[D]->D259[B]->D274[O]->D194[D]->D207[B]->W23	4.500E-9	1.444E+6		0.000E+0	1.000E+0		2.880E+4	0.000E+0	ja (BWZI)			5.070E+5
MDI1 Productie,12-V209A,Instantaan falen,Receptnr 1: Amine Brine (C.Reactor: 12-V209A)	R61[D]->D259[O]->D274[D]->D207[B]->W23	4.500E-8	1.444E+6		0.000E+0	1.000E+0		2.880E+4	0.000E+0	ja (BWZI)			5.070E+5
MDI1 Productie,12-V209A,Instantaan falen,Receptnr 1: Amine Brine (C.Reactor: 12-V209A)	R61[D]->D259[O]->D274[O]->D194[D]->D207[B]->W23	5.000E-10	1.444E+6		0.000E+0	1.000E+0		2.880E+4	0.000E+0	ja (BWZI)			5.070E+5
MDI1 Productie,12-V209A,Continu falen,Receptnr 1: Amine Brine (C.Reactor: 12-V209A)	R61[D]->D259[D]->D274[D]->D207[B]->W23	8.092E-5	1.404E+6		0.000E+0	1.000E+0		2.880E+4	0.000E+0	ja (BWZI)			4.090E+4
MDI1 Productie,12-V209A,Continu falen,Receptnr 1: Amine Brine (C.Reactor: 12-V209A)	R61[D]->D259[D]->D274[O]->D194[D]->D207[B]->W23	8.991E-7	1.404E+6		0.000E+0	1.000E+0		2.880E+4	0.000E+0	ja (BWZI)			4.090E+4
MDI1 Productie,12-V209A,Continu falen,Receptnr 1: Amine Brine (C.Reactor: 12-V209A)	R61[D]->D259[B]->D274[D]->D207[B]->W23	8.092E-6	1.403E+6		0.000E+0	1.000E+0		2.880E+4	0.000E+0	ja (BWZI)			2.943E+4
MDI1 Productie,12-V209A,Continu falen,Receptnr 1: Amine Brine (C.Reactor: 12-V209A)	R61[D]->D259[B]->D274[O]->D194[D]->D207[B]->W23	8.991E-8	1.403E+6		0.000E+0	1.000E+0		2.880E+4	0.000E+0	ja (BWZI)			2.943E+4
MDI1 Productie,12-V209A,Continu falen,Receptnr 1: Amine Brine (C.Reactor: 12-V209A)	R61[D]->D259[O]->D274[D]->D207[B]->W23	8.991E-7	1.403E+6		0.000E+0	1.000E+0		2.880E+4	0.000E+0	ja (BWZI)			2.943E+4
MDI1 Productie,12-V209A,Continu falen,Receptnr 1: Amine Brine (C.Reactor: 12-V209A)	R61[D]->D259[O]->D274[O]->D194[D]->D207[B]->W23	9.990E-9	1.403E+6		0.000E+0	1.000E+0		2.880E+4	0.000E+0	ja (BWZI)			2.943E+4
MDI1 Productie,12-V704,Instantaan falen,Receptnr 1: Methanol (C.Reactor: 12-V704)	R61[D]->D259[D]->D274[D]->D207[B]->W23	4.050E-6	1.426E+6		0.000E+0	1.000E+0		2.880E+4	0.000E+0		ja (BWZI)		1.801E+3

Group	Afstroomroute	Frequentie	Massa uitstroom	Volume contaminatie	MSI Factored	Weegfactor	Oever Contaminatie	Uitstroom tijd	Bluswater	RWZI			LC50 gewogen
										inhibitie	overbelasting	Actief slib beïnvloeding	
		[j-1]	[kg]	[m3]			[m]	[s]	[m3]				[m3]
MDI1 Productie,12-V704,Instantaan falen,Receptnr 1: Methanol (C.Reactor: 12-V704)	R61[D]->D259[D]->D274[O]->D194[D]->D207[B]->W23	4.500E-8	1.426E+6		0.000E+0	1.000E+0		2.880E+4	0.000E+0		ja (BWZI)		1.801E+3
MDI1 Productie,12-V704,Instantaan falen,Receptnr 1: Methanol (C.Reactor: 12-V704)	R61[D]->D259[B]->D274[D]->D207[B]->W23	4.050E-7	1.426E+6		0.000E+0	1.000E+0		2.880E+4	0.000E+0		ja (BWZI)		1.788E+3
MDI1 Productie,12-V704,Instantaan falen,Receptnr 1: Methanol (C.Reactor: 12-V704)	R61[D]->D259[B]->D274[O]->D194[D]->D207[B]->W23	4.500E-9	1.426E+6		0.000E+0	1.000E+0		2.880E+4	0.000E+0		ja (BWZI)		1.788E+3
MDI1 Productie,12-V704,Instantaan falen,Receptnr 1: Methanol (C.Reactor: 12-V704)	R61[D]->D259[O]->D274[D]->D207[B]->W23	4.500E-8	1.426E+6		0.000E+0	1.000E+0		2.880E+4	0.000E+0		ja (BWZI)		1.788E+3
MDI1 Productie,12-V704,Instantaan falen,Receptnr 1: Methanol (C.Reactor: 12-V704)	R61[D]->D259[O]->D274[O]->D194[D]->D207[B]->W23	5.000E-10	1.426E+6		0.000E+0	1.000E+0		2.880E+4	0.000E+0		ja (BWZI)		1.788E+3
MDI1 Productie,12-V704,Continu falen,Receptnr 1: Methanol (C.Reactor: 12-V704)	R61[D]->D259[D]->D274[D]->D207[B]->W23	8.092E-5	1.408E+6		0.000E+0	1.000E+0		2.880E+4	0.000E+0				1.523E+3
MDI1 Productie,12-V704,Continu falen,Receptnr 1: Methanol (C.Reactor: 12-V704)	R61[D]->D259[D]->D274[O]->D194[D]->D207[B]->W23	8.991E-7	1.408E+6		0.000E+0	1.000E+0		2.880E+4	0.000E+0				1.523E+3
MDI1 Productie,12-V704,Continu falen,Receptnr 1: Methanol (C.Reactor: 12-V704)	R61[D]->D259[B]->D274[D]->D207[B]->W23	8.092E-6	1.407E+6		0.000E+0	1.000E+0		2.880E+4	0.000E+0				1.511E+3
MDI1 Productie,12-V704,Continu falen,Receptnr 1: Methanol (C.Reactor: 12-V704)	R61[D]->D259[B]->D274[O]->D194[D]->D207[B]->W23	8.991E-8	1.407E+6		0.000E+0	1.000E+0		2.880E+4	0.000E+0				1.511E+3
MDI1 Productie,12-V704,Continu falen,Receptnr 1: Methanol (C.Reactor: 12-V704)	R61[D]->D259[O]->D274[D]->D207[B]->W23	8.991E-7	1.407E+6		0.000E+0	1.000E+0		2.880E+4	0.000E+0				1.511E+3
MDI1 Productie,12-V704,Continu falen,Receptnr 1: Methanol (C.Reactor: 12-V704)	R61[D]->D259[O]->D274[O]->D194[D]->D207[B]->W23	9.990E-9	1.407E+6		0.000E+0	1.000E+0		2.880E+4	0.000E+0				1.511E+3
MDI1 Productie,12-V210,Instantaan falen,Receptnr 1: Aniline/DADPM (C.Reactor: 12-V210)	R61[D]->D259[D]->D274[D]->D207[B]->W23	4.050E-6	1.442E+6		0.000E+0	1.000E+0		2.880E+4	0.000E+0	ja (BWZI)			2.554E+6
MDI1 Productie,12-V210,Instantaan falen,Receptnr 1: Aniline/DADPM (C.Reactor: 12-V210)	R61[D]->D259[D]->D274[O]->D194[D]->D207[B]->W23	4.500E-8	1.442E+6		0.000E+0	1.000E+0		2.880E+4	0.000E+0	ja (BWZI)			2.554E+6
MDI1 Productie,12-V210,Instantaan falen,Receptnr 1: Aniline/DADPM (C.Reactor: 12-V210)	R61[D]->D259[B]->D274[D]->D207[B]->W23	4.050E-7	1.441E+6		0.000E+0	1.000E+0		2.880E+4	0.000E+0	ja (BWZI)			2.491E+6

Group	Afstroomroute	Frequentie	Massa uitstroom	Volume contaminatie	MSI Factored	Weegfactor	Oever Contaminatie	Uitstroom tijd	Bluswater	RWZI			LC50 gewogen
										inhibitie	overbelasting	Actief slib beïnvloeding	
		[j-1]	[kg]	[m3]			[m]	[s]	[m3]				[m3]
MDI1 Productie,12-V210,Instantaan falen,Receptnr 1: Aniline/DADPM (C.Reactor: 12-V210)	R61[D]->D259[B]->D274[O]->D194[D]->D207[B]->W23	4.500E-9	1.441E+6		0.000E+0	1.000E+0		2.880E+4	0.000E+0	ja (BWZI)			2.491E+6
MDI1 Productie,12-V210,Instantaan falen,Receptnr 1: Aniline/DADPM (C.Reactor: 12-V210)	R61[D]->D259[O]->D274[D]->D207[B]->W23	4.500E-8	1.441E+6		0.000E+0	1.000E+0		2.880E+4	0.000E+0	ja (BWZI)			2.491E+6
MDI1 Productie,12-V210,Instantaan falen,Receptnr 1: Aniline/DADPM (C.Reactor: 12-V210)	R61[D]->D259[O]->D274[O]->D194[D]->D207[B]->W23	5.000E-10	1.441E+6		0.000E+0	1.000E+0		2.880E+4	0.000E+0	ja (BWZI)			2.491E+6
MDI1 Productie,12-V210,Continu falen,Receptnr 1: Aniline/DADPM (C.Reactor: 12-V210)	R61[D]->D259[D]->D274[D]->D207[B]->W23	8.092E-5	1.412E+6		0.000E+0	1.000E+0		2.880E+4	0.000E+0	ja (BWZI)			7.004E+5
MDI1 Productie,12-V210,Continu falen,Receptnr 1: Aniline/DADPM (C.Reactor: 12-V210)	R61[D]->D259[D]->D274[O]->D194[D]->D207[B]->W23	8.991E-7	1.412E+6		0.000E+0	1.000E+0		2.880E+4	0.000E+0	ja (BWZI)			7.004E+5
MDI1 Productie,12-V210,Continu falen,Receptnr 1: Aniline/DADPM (C.Reactor: 12-V210)	R61[D]->D259[B]->D274[D]->D207[B]->W23	8.092E-6	1.411E+6		0.000E+0	1.000E+0		2.880E+4	0.000E+0	ja (BWZI)			6.393E+5
MDI1 Productie,12-V210,Continu falen,Receptnr 1: Aniline/DADPM (C.Reactor: 12-V210)	R61[D]->D259[B]->D274[O]->D194[D]->D207[B]->W23	8.991E-8	1.411E+6		0.000E+0	1.000E+0		2.880E+4	0.000E+0	ja (BWZI)			6.393E+5
MDI1 Productie,12-V210,Continu falen,Receptnr 1: Aniline/DADPM (C.Reactor: 12-V210)	R61[D]->D259[O]->D274[D]->D207[B]->W23	8.991E-7	1.411E+6		0.000E+0	1.000E+0		2.880E+4	0.000E+0	ja (BWZI)			6.393E+5
MDI1 Productie,12-V210,Continu falen,Receptnr 1: Aniline/DADPM (C.Reactor: 12-V210)	R61[D]->D259[O]->D274[O]->D194[D]->D207[B]->W23	9.990E-9	1.411E+6		0.000E+0	1.000E+0		2.880E+4	0.000E+0	ja (BWZI)			6.393E+5

4.5 Unit MDI2 Productie

Group	Afstroomroute	Frequentie	Massa uitstroom	Volume contaminatie	MSI Factored	Weegfactor	Oever Contaminatie	Uitstroom tijd	Bluswater	RWZI			LC50 gewogen
										inhibitie	overbelasting	Actief slib beïnvloeding	
		[j-1]	[kg]	[m3]			[m]	[s]	[m3]				[m3]
MDI2 Productie,14-C2405,Instantaan falen,Receptnr 1: MCB/Fosgeen (C.Reactor: 14-C2405)	R73[D]->D119[D]->D274[D]->D207[B]->W23	4.050E-6	1.452E+6		0.000E+0	1.000E+0		2.880E+4	0.000E+0	ja (BWZI)			8.195E+6
MDI2 Productie,14-C2405,Instantaan falen,Receptnr 1: MCB/Fosgeen (C.Reactor: 14-C2405)	R73[D]->D119[D]->D274[O]->D194[D]->D207[B]->W23	4.500E-8	1.452E+6		0.000E+0	1.000E+0		2.880E+4	0.000E+0	ja (BWZI)			8.195E+6
MDI2 Productie,14-C2405,Instantaan falen,Receptnr 1: MCB/Fosgeen (C.Reactor: 14-C2405)	R73[D]->D119[B]->D274[D]->D207[B]->W23	4.050E-7	1.451E+6		0.000E+0	1.000E+0		2.880E+4	0.000E+0	ja (BWZI)			8.022E+6
MDI2 Productie,14-C2405,Instantaan falen,Receptnr 1: MCB/Fosgeen (C.Reactor: 14-C2405)	R73[D]->D119[B]->D274[O]->D194[D]->D207[B]->W23	4.500E-9	1.451E+6		0.000E+0	1.000E+0		2.880E+4	0.000E+0	ja (BWZI)			8.022E+6
MDI2 Productie,14-C2405,Instantaan falen,Receptnr 1: MCB/Fosgeen (C.Reactor: 14-C2405)	R73[D]->D119[O]->D274[D]->D207[B]->W23	4.500E-8	1.451E+6		0.000E+0	1.000E+0		2.880E+4	0.000E+0	ja (BWZI)			8.022E+6
MDI2 Productie,14-C2405,Instantaan falen,Receptnr 1: MCB/Fosgeen (C.Reactor: 14-C2405)	R73[D]->D119[O]->D274[O]->D194[D]->D207[B]->W23	5.000E-10	1.451E+6		0.000E+0	1.000E+0		2.880E+4	0.000E+0	ja (BWZI)			8.022E+6
MDI2 Productie,14-C2405,Continu falen,Receptnr 1: MCB/Fosgeen (C.Reactor: 14-C2405)	R73[D]->D119[D]->D274[D]->D207[B]->W23	8.092E-5	1.404E+6		0.000E+0	1.000E+0		2.880E+4	0.000E+0	ja (BWZI)			5.616E+5
MDI2 Productie,14-C2405,Continu falen,Receptnr 1: MCB/Fosgeen (C.Reactor: 14-C2405)	R73[D]->D119[D]->D274[O]->D194[D]->D207[B]->W23	8.991E-7	1.404E+6		0.000E+0	1.000E+0		2.880E+4	0.000E+0	ja (BWZI)			5.616E+5
MDI2 Productie,14-C2405,Continu falen,Receptnr 1: MCB/Fosgeen (C.Reactor: 14-C2405)	R73[D]->D119[B]->D274[D]->D207[B]->W23	8.092E-6	1.403E+6		0.000E+0	1.000E+0		2.880E+4	0.000E+0	ja (BWZI)			3.998E+5
MDI2 Productie,14-C2405,Continu falen,Receptnr 1: MCB/Fosgeen (C.Reactor: 14-C2405)	R73[D]->D119[B]->D274[O]->D194[D]->D207[B]->W23	8.991E-8	1.403E+6		0.000E+0	1.000E+0		2.880E+4	0.000E+0	ja (BWZI)			3.998E+5
MDI2 Productie,14-C2405,Continu falen,Receptnr 1: MCB/Fosgeen (C.Reactor: 14-C2405)	R73[D]->D119[O]->D274[D]->D207[B]->W23	8.991E-7	1.403E+6		0.000E+0	1.000E+0		2.880E+4	0.000E+0	ja (BWZI)			3.998E+5
MDI2 Productie,14-C2405,Continu falen,Receptnr 1: MCB/Fosgeen (C.Reactor: 14-C2405)	R73[D]->D119[O]->D274[O]->D194[D]->D207[B]->W23	9.990E-9	1.403E+6		0.000E+0	1.000E+0		2.880E+4	0.000E+0	ja (BWZI)			3.998E+5

Group	Afstroomroute	Frequentie	Massa uitstroom	Volume contaminatie	MSI Factored	Weegfactor	Oever Contaminatie	Uitstroom tijd	Bluswater	RWZI			LC50 gewogen
										inhibitie	overbelasting	Actief slib beïnvloeding	
		[j-1]	[kg]	[m3]			[m]	[s]	[m3]				[m3]
MDI2 Productie,14-V2207,Instantaan falen,Receptnr 1: Aniline / DADPM / WATER (C.Reactor: 14-V2207)	R73[D]->D119[D]->D274[D]->D207[B]->W23	4.050E-6	1.475E+6		0.000E+0	1.000E+0		2.880E+4	0.000E+0	ja (BWZI)			3.121E+6
MDI2 Productie,14-V2207,Instantaan falen,Receptnr 1: Aniline / DADPM / WATER (C.Reactor: 14-V2207)	R73[D]->D119[D]->D274[O]->D194[D]->D207[B]->W23	4.500E-8	1.475E+6		0.000E+0	1.000E+0		2.880E+4	0.000E+0	ja (BWZI)			3.121E+6
MDI2 Productie,14-V2207,Instantaan falen,Receptnr 1: Aniline / DADPM / WATER (C.Reactor: 14-V2207)	R73[D]->D119[B]->D274[D]->D207[B]->W23	4.050E-7	1.474E+6		0.000E+0	1.000E+0		2.880E+4	0.000E+0	ja (BWZI)			3.076E+6
MDI2 Productie,14-V2207,Instantaan falen,Receptnr 1: Aniline / DADPM / WATER (C.Reactor: 14-V2207)	R73[D]->D119[B]->D274[O]->D194[D]->D207[B]->W23	4.500E-9	1.474E+6		0.000E+0	1.000E+0		2.880E+4	0.000E+0	ja (BWZI)			3.076E+6
MDI2 Productie,14-V2207,Instantaan falen,Receptnr 1: Aniline / DADPM / WATER (C.Reactor: 14-V2207)	R73[D]->D119[O]->D274[D]->D207[B]->W23	4.500E-8	1.474E+6		0.000E+0	1.000E+0		2.880E+4	0.000E+0	ja (BWZI)			3.076E+6
MDI2 Productie,14-V2207,Instantaan falen,Receptnr 1: Aniline / DADPM / WATER (C.Reactor: 14-V2207)	R73[D]->D119[O]->D274[O]->D194[D]->D207[B]->W23	5.000E-10	1.474E+6		0.000E+0	1.000E+0		2.880E+4	0.000E+0	ja (BWZI)			3.076E+6
MDI2 Productie,14-V2207,Continu falen,Receptnr 1: Aniline / DADPM / WATER (C.Reactor: 14-V2207)	R73[D]->D119[D]->D274[D]->D207[B]->W23	8.092E-5	1.404E+6		0.000E+0	1.000E+0		2.880E+4	0.000E+0	ja (BWZI)			1.422E+5
MDI2 Productie,14-V2207,Continu falen,Receptnr 1: Aniline / DADPM / WATER (C.Reactor: 14-V2207)	R73[D]->D119[D]->D274[O]->D194[D]->D207[B]->W23	8.991E-7	1.404E+6		0.000E+0	1.000E+0		2.880E+4	0.000E+0	ja (BWZI)			1.422E+5
MDI2 Productie,14-V2207,Continu falen,Receptnr 1: Aniline / DADPM / WATER (C.Reactor: 14-V2207)	R73[D]->D119[B]->D274[D]->D207[B]->W23	8.092E-6	1.403E+6		0.000E+0	1.000E+0		2.880E+4	0.000E+0	ja (BWZI)			1.020E+5
MDI2 Productie,14-V2207,Continu falen,Receptnr 1: Aniline / DADPM / WATER (C.Reactor: 14-V2207)	R73[D]->D119[B]->D274[O]->D194[D]->D207[B]->W23	8.991E-8	1.403E+6		0.000E+0	1.000E+0		2.880E+4	0.000E+0	ja (BWZI)			1.020E+5
MDI2 Productie,14-V2207,Continu falen,Receptnr 1: Aniline / DADPM / WATER (C.Reactor: 14-V2207)	R73[D]->D119[O]->D274[D]->D207[B]->W23	8.991E-7	1.403E+6		0.000E+0	1.000E+0		2.880E+4	0.000E+0	ja (BWZI)			1.020E+5
MDI2 Productie,14-V2207,Continu falen,Receptnr 1: Aniline / DADPM / WATER (C.Reactor: 14-V2207)	R73[D]->D119[O]->D274[O]->D194[D]->D207[B]->W23	9.990E-9	1.403E+6		0.000E+0	1.000E+0		2.880E+4	0.000E+0	ja (BWZI)			1.020E+5
MDI2 Productie,14-E2409,Instantaan falen,Receptnr 1: MCB/MDI (C.Reactor: 14-E2409)	R73[D]->D119[D]->D274[D]->D207[B]->W23	4.050E-6	0.000E+0		0.000E+0	1.500E+0	0.000E+0	2.880E+4	0.000E+0	nee (BWZI)			0.000E+0

Group	Afstroomroute	Frequentie	Massa uitstroom	Volume contaminatie	MSI Factored	Weegfactor	Oever Contaminatie	Uitstroom tijd	Bluswater	RWZI			LC50 gewogen
										inhibitie	overbelasting	Actief slib beïnvloeding	
		[j-1]	[kg]	[m3]			[m]	[s]	[m3]				[m3]
MDI2 Productie,14-E2409,Instantaan falen,Receptnr 1: MCB/MDI (C.Reactor: 14-E2409)	R73[D]->D119[D]->D274[D]->D207[B]->W23	4.050E-6	0.000E+0		0.000E+0	1.000E+0		2.880E+4	0.000E+0	ja (BWZI)			0.000E+0
MDI2 Productie,14-E2409,Instantaan falen,Receptnr 1: MCB/MDI (C.Reactor: 14-E2409)	R73[D]->D119[D]->D274[O]->D194[D]->D207[B]->W23	4.500E-8	0.000E+0		0.000E+0	1.500E+0	0.000E+0	2.880E+4	0.000E+0	nee (BWZI)			0.000E+0
MDI2 Productie,14-E2409,Instantaan falen,Receptnr 1: MCB/MDI (C.Reactor: 14-E2409)	R73[D]->D119[D]->D274[O]->D194[D]->D207[B]->W23	4.500E-8	0.000E+0		0.000E+0	1.000E+0		2.880E+4	0.000E+0	ja (BWZI)			0.000E+0
MDI2 Productie,14-E2409,Instantaan falen,Receptnr 1: MCB/MDI (C.Reactor: 14-E2409)	R73[D]->D119[B]->D274[D]->D207[B]->W23	4.050E-7	0.000E+0		0.000E+0	1.500E+0	0.000E+0	2.880E+4	0.000E+0	nee (BWZI)			0.000E+0
MDI2 Productie,14-E2409,Instantaan falen,Receptnr 1: MCB/MDI (C.Reactor: 14-E2409)	R73[D]->D119[B]->D274[D]->D207[B]->W23	4.050E-7	0.000E+0		0.000E+0	1.000E+0		2.880E+4	0.000E+0	ja (BWZI)			0.000E+0
MDI2 Productie,14-E2409,Instantaan falen,Receptnr 1: MCB/MDI (C.Reactor: 14-E2409)	R73[D]->D119[B]->D274[O]->D194[D]->D207[B]->W23	4.500E-9	0.000E+0		0.000E+0	1.500E+0	0.000E+0	2.880E+4	0.000E+0	nee (BWZI)			0.000E+0
MDI2 Productie,14-E2409,Instantaan falen,Receptnr 1: MCB/MDI (C.Reactor: 14-E2409)	R73[D]->D119[B]->D274[O]->D194[D]->D207[B]->W23	4.500E-9	0.000E+0		0.000E+0	1.000E+0		2.880E+4	0.000E+0	ja (BWZI)			0.000E+0
MDI2 Productie,14-E2409,Instantaan falen,Receptnr 1: MCB/MDI (C.Reactor: 14-E2409)	R73[D]->D119[O]->D274[D]->D207[B]->W23	4.500E-8	0.000E+0		0.000E+0	1.500E+0	0.000E+0	2.880E+4	0.000E+0	nee (BWZI)			0.000E+0
MDI2 Productie,14-E2409,Instantaan falen,Receptnr 1: MCB/MDI (C.Reactor: 14-E2409)	R73[D]->D119[O]->D274[D]->D207[B]->W23	4.500E-8	0.000E+0		0.000E+0	1.000E+0		2.880E+4	0.000E+0	ja (BWZI)			0.000E+0
MDI2 Productie,14-E2409,Instantaan falen,Receptnr 1: MCB/MDI (C.Reactor: 14-E2409)	R73[D]->D119[O]->D274[O]->D194[D]->D207[B]->W23	5.000E-10	0.000E+0		0.000E+0	1.500E+0	0.000E+0	2.880E+4	0.000E+0	nee (BWZI)			0.000E+0
MDI2 Productie,14-E2409,Instantaan falen,Receptnr 1: MCB/MDI (C.Reactor: 14-E2409)	R73[D]->D119[O]->D274[O]->D194[D]->D207[B]->W23	5.000E-10	0.000E+0		0.000E+0	1.000E+0		2.880E+4	0.000E+0	ja (BWZI)			0.000E+0
MDI2 Productie,14-E2409,Continu falen,Receptnr 1: MCB/MDI (C.Reactor: 14-E2409)	R73[D]->D119[D]->D274[D]->D207[B]->W23	8.092E-5	0.000E+0		0.000E+0	1.500E+0	0.000E+0	2.880E+4	0.000E+0	nee (BWZI)			0.000E+0
MDI2 Productie,14-E2409,Continu falen,Receptnr 1: MCB/MDI (C.Reactor: 14-E2409)	R73[D]->D119[D]->D274[D]->D207[B]->W23	8.092E-5	0.000E+0		0.000E+0	1.000E+0		2.880E+4	0.000E+0	ja (BWZI)			0.000E+0

Group	Afstroomroute	Frequentie	Massa uitstroom	Volume contaminatie	MSI Factored	Weegfactor	Oever Contaminatie	Uitstroom tijd	Bluswater	RWZI			LC50 gewogen
										inhibitie	overbelasting	Actief slib beïnvloeding	
		[j-1]	[kg]	[m3]			[m]	[s]	[m3]				[m3]
MDI2 Productie,14-E2409,Continu falen,Receptnr 1: MCB/MDI (C.Reactor: 14-E2409)	R73[D]->D119[D]->D274[O]->D194[D]->D207[B]->W23	8.991E-7	0.000E+0		0.000E+0	1.500E+0	0.000E+0	2.880E+4	0.000E+0	nee (BWZI)			0.000E+0
MDI2 Productie,14-E2409,Continu falen,Receptnr 1: MCB/MDI (C.Reactor: 14-E2409)	R73[D]->D119[D]->D274[O]->D194[D]->D207[B]->W23	8.991E-7	0.000E+0		0.000E+0	1.000E+0		2.880E+4	0.000E+0	ja (BWZI)			0.000E+0
MDI2 Productie,14-E2409,Continu falen,Receptnr 1: MCB/MDI (C.Reactor: 14-E2409)	R73[D]->D119[B]->D274[D]->D207[B]->W23	8.092E-6	0.000E+0		0.000E+0	1.500E+0	0.000E+0	2.880E+4	0.000E+0	nee (BWZI)			0.000E+0
MDI2 Productie,14-E2409,Continu falen,Receptnr 1: MCB/MDI (C.Reactor: 14-E2409)	R73[D]->D119[B]->D274[D]->D207[B]->W23	8.092E-6	0.000E+0		0.000E+0	1.000E+0		2.880E+4	0.000E+0	ja (BWZI)			0.000E+0
MDI2 Productie,14-E2409,Continu falen,Receptnr 1: MCB/MDI (C.Reactor: 14-E2409)	R73[D]->D119[B]->D274[O]->D194[D]->D207[B]->W23	8.991E-8	0.000E+0		0.000E+0	1.500E+0	0.000E+0	2.880E+4	0.000E+0	nee (BWZI)			0.000E+0
MDI2 Productie,14-E2409,Continu falen,Receptnr 1: MCB/MDI (C.Reactor: 14-E2409)	R73[D]->D119[B]->D274[O]->D194[D]->D207[B]->W23	8.991E-8	0.000E+0		0.000E+0	1.000E+0		2.880E+4	0.000E+0	ja (BWZI)			0.000E+0
MDI2 Productie,14-E2409,Continu falen,Receptnr 1: MCB/MDI (C.Reactor: 14-E2409)	R73[D]->D119[O]->D274[D]->D207[B]->W23	8.991E-7	0.000E+0		0.000E+0	1.500E+0	0.000E+0	2.880E+4	0.000E+0	nee (BWZI)			0.000E+0
MDI2 Productie,14-E2409,Continu falen,Receptnr 1: MCB/MDI (C.Reactor: 14-E2409)	R73[D]->D119[O]->D274[D]->D207[B]->W23	8.991E-7	0.000E+0		0.000E+0	1.000E+0		2.880E+4	0.000E+0	ja (BWZI)			0.000E+0
MDI2 Productie,14-E2409,Continu falen,Receptnr 1: MCB/MDI (C.Reactor: 14-E2409)	R73[D]->D119[O]->D274[O]->D194[D]->D207[B]->W23	9.990E-9	0.000E+0		0.000E+0	1.500E+0	0.000E+0	2.880E+4	0.000E+0	nee (BWZI)			0.000E+0
MDI2 Productie,14-E2409,Continu falen,Receptnr 1: MCB/MDI (C.Reactor: 14-E2409)	R73[D]->D119[O]->D274[O]->D194[D]->D207[B]->W23	9.990E-9	0.000E+0		0.000E+0	1.000E+0		2.880E+4	0.000E+0	ja (BWZI)			0.000E+0
MDI2 Productie,C-2202,Instantaan falen,Receptnr 1: Aniline/DADPM (C.Reactor: C-2202)	R73[D]->D119[D]->D274[D]->D207[B]->W23	4.050E-6	1.448E+6		0.000E+0	1.000E+0		2.880E+4	0.000E+0	ja (BWZI)			2.943E+6
MDI2 Productie,C-2202,Instantaan falen,Receptnr 1: Aniline/DADPM (C.Reactor: C-2202)	R73[D]->D119[D]->D274[O]->D194[D]->D207[B]->W23	4.500E-8	1.448E+6		0.000E+0	1.000E+0		2.880E+4	0.000E+0	ja (BWZI)			2.943E+6
MDI2 Productie,C-2202,Instantaan falen,Receptnr 1: Aniline/DADPM (C.Reactor: C-2202)	R73[D]->D119[B]->D274[D]->D207[B]->W23	4.050E-7	1.447E+6		0.000E+0	1.000E+0		2.880E+4	0.000E+0	ja (BWZI)			2.879E+6
MDI2 Productie,C-2202,Instantaan falen,Receptnr 1: Aniline/DADPM (C.Reactor: C-2202)	R73[D]->D119[B]->D274[O]->D194[D]->D207[B]->W23	4.500E-9	1.447E+6		0.000E+0	1.000E+0		2.880E+4	0.000E+0	ja (BWZI)			2.879E+6
MDI2 Productie,C-2202,Instantaan falen,Receptnr 1: Aniline/DADPM (C.Reactor: C-2202)	R73[D]->D119[O]->D274[D]->D207[B]->W23	4.500E-8	1.447E+6		0.000E+0	1.000E+0		2.880E+4	0.000E+0	ja (BWZI)			2.879E+6

Group	Afstroomroute	Frequentie	Massa uitstroom	Volume contaminatie	MSI Factored	Weegfactor	Oever Contaminatie	Uitstroom tijd	Bluswater	RWZI			LC50 gewogen
										inhibitie	overbelasting	Actief slib beïnvloeding	
		[j-1]	[kg]	[m3]			[m]	[s]	[m3]				[m3]
MDI2 Productie,C-2202,Instantaan falen,Receptnr 1: Aniline/DADPM (C.Reactor: C-2202)	R73[D]->D119[O]->D274[O]->D194[D]->D207[B]->W23	5.000E-10	1.447E+6		0.000E+0	1.000E+0		2.880E+4	0.000E+0	ja (BWZI)			2.879E+6
MDI2 Productie,C-2202,Continu falen,Receptnr 1: Aniline/DADPM (C.Reactor: C-2202)	R73[D]->D119[D]->D274[D]->D207[B]->W23	8.092E-5	1.424E+6		0.000E+0	1.000E+0		2.880E+4	0.000E+0	ja (BWZI)			1.444E+6
MDI2 Productie,C-2202,Continu falen,Receptnr 1: Aniline/DADPM (C.Reactor: C-2202)	R73[D]->D119[D]->D274[O]->D194[D]->D207[B]->W23	8.991E-7	1.424E+6		0.000E+0	1.000E+0		2.880E+4	0.000E+0	ja (BWZI)			1.444E+6
MDI2 Productie,C-2202,Continu falen,Receptnr 1: Aniline/DADPM (C.Reactor: C-2202)	R73[D]->D119[B]->D274[D]->D207[B]->W23	8.092E-6	1.423E+6		0.000E+0	1.000E+0		2.880E+4	0.000E+0	ja (BWZI)			1.382E+6
MDI2 Productie,C-2202,Continu falen,Receptnr 1: Aniline/DADPM (C.Reactor: C-2202)	R73[D]->D119[B]->D274[O]->D194[D]->D207[B]->W23	8.991E-8	1.423E+6		0.000E+0	1.000E+0		2.880E+4	0.000E+0	ja (BWZI)			1.382E+6
MDI2 Productie,C-2202,Continu falen,Receptnr 1: Aniline/DADPM (C.Reactor: C-2202)	R73[D]->D119[O]->D274[D]->D207[B]->W23	8.991E-7	1.423E+6		0.000E+0	1.000E+0		2.880E+4	0.000E+0	ja (BWZI)			1.382E+6
MDI2 Productie,C-2202,Continu falen,Receptnr 1: Aniline/DADPM (C.Reactor: C-2202)	R73[D]->D119[O]->D274[O]->D194[D]->D207[B]->W23	9.990E-9	1.423E+6		0.000E+0	1.000E+0		2.880E+4	0.000E+0	ja (BWZI)			1.382E+6

4.6 Unit Verlading MCB MDI-2

Group	Afstroomroute	Frequentie	Massa uitstroom	Volume contaminatie	MSI Factored	Weegfactor	Oever Contaminatie	Uitstroom tijd	Bluswater	RWZI			LC50 gewogen
										inhibitie	overbelasting	Actief slib beïnvloeding	
		[j-1]	[kg]	[m3]			[m]	[s]	[m3]				[m3]
Verlading MCB MDI-2,,Kleine brand,MCB Hntsm	R105[D]->D119[D]->D274[D]->D207[B]->W23	1.846E-10	0.000E+0		0.000E+0	1.500E+0	0.000E+0	2.880E+4	1.912E+0	nee (BWZI)			0.000E+0
Verlading MCB MDI-2,,Kleine brand,MCB Hntsm	R105[D]->D119[D]->D274[D]->D207[B]->W23	1.846E-10	0.000E+0		0.000E+0	1.000E+0		2.880E+4	1.912E+0	ja (BWZI)			0.000E+0
Verlading MCB MDI-2,,Kleine brand,MCB Hntsm	R105[D]->D119[D]->D274[O]->D194[D]->D207[B]->W23	2.051E-12	0.000E+0		0.000E+0	1.500E+0	0.000E+0	2.880E+4	1.912E+0	nee (BWZI)			0.000E+0
Verlading MCB MDI-2,,Kleine brand,MCB Hntsm	R105[D]->D119[D]->D274[O]->D194[D]->D207[B]->W23	2.051E-12	0.000E+0		0.000E+0	1.000E+0		2.880E+4	1.912E+0	ja (BWZI)			0.000E+0
Verlading MCB MDI-2,,Kleine brand,MCB Hntsm	R105[D]->D119[B]->D274[D]->D207[B]->W23	1.846E-11	0.000E+0		0.000E+0	1.500E+0	0.000E+0	2.880E+4	1.912E+0	nee (BWZI)			0.000E+0
Verlading MCB MDI-2,,Kleine brand,MCB Hntsm	R105[D]->D119[B]->D274[D]->D207[B]->W23	1.846E-11	0.000E+0		0.000E+0	1.000E+0		2.880E+4	1.912E+0	ja (BWZI)			0.000E+0
Verlading MCB MDI-2,,Kleine brand,MCB Hntsm	R105[D]->D119[B]->D274[O]->D194[D]->D207[B]->W23	2.051E-13	0.000E+0		0.000E+0	1.500E+0	0.000E+0	2.880E+4	1.912E+0	nee (BWZI)			0.000E+0
Verlading MCB MDI-2,,Kleine brand,MCB Hntsm	R105[D]->D119[B]->D274[O]->D194[D]->D207[B]->W23	2.051E-13	0.000E+0		0.000E+0	1.000E+0		2.880E+4	1.912E+0	ja (BWZI)			0.000E+0
Verlading MCB MDI-2,,Kleine brand,MCB Hntsm	R105[D]->D119[O]->D274[D]->D207[B]->W23	2.051E-12	0.000E+0		0.000E+0	1.500E+0	0.000E+0	2.880E+4	1.912E+0	nee (BWZI)			0.000E+0
Verlading MCB MDI-2,,Kleine brand,MCB Hntsm	R105[D]->D119[O]->D274[D]->D207[B]->W23	2.051E-12	0.000E+0		0.000E+0	1.000E+0		2.880E+4	1.912E+0	ja (BWZI)			0.000E+0
Verlading MCB MDI-2,,Kleine brand,MCB Hntsm	R105[D]->D119[O]->D274[O]->D194[D]->D207[B]->W23	2.279E-14	0.000E+0		0.000E+0	1.500E+0	0.000E+0	2.880E+4	1.912E+0	nee (BWZI)			0.000E+0
Verlading MCB MDI-2,,Kleine brand,MCB Hntsm	R105[D]->D119[O]->D274[O]->D194[D]->D207[B]->W23	2.279E-14	0.000E+0		0.000E+0	1.000E+0		2.880E+4	1.912E+0	ja (BWZI)			0.000E+0
Verlading MCB MDI-2,,Breuk tankauto,MCB Hntsm	R105[D]->D119[D]->D274[D]->D207[B]->W23	1.828E-8	0.000E+0		0.000E+0	1.500E+0	0.000E+0	2.880E+4	0.000E+0	nee (BWZI)			0.000E+0
Verlading MCB MDI-2,,Breuk tankauto,MCB Hntsm	R105[D]->D119[D]->D274[D]->D207[B]->W23	1.828E-8	0.000E+0		0.000E+0	1.000E+0		2.880E+4	0.000E+0	ja (BWZI)			0.000E+0
Verlading MCB MDI-2,,Breuk tankauto,MCB Hntsm	R105[D]->D119[D]->D274[O]->D194[D]->D207[B]->W23	2.031E-10	0.000E+0		0.000E+0	1.500E+0	0.000E+0	2.880E+4	0.000E+0	nee (BWZI)			0.000E+0
Verlading MCB MDI-2,,Breuk tankauto,MCB Hntsm	R105[D]->D119[D]->D274[O]->D194[D]->D207[B]->W23	2.031E-10	0.000E+0		0.000E+0	1.000E+0		2.880E+4	0.000E+0	ja (BWZI)			0.000E+0
Verlading MCB MDI-2,,Breuk tankauto,MCB Hntsm	R105[D]->D119[B]->D274[D]->D207[B]->W23	1.828E-9	0.000E+0		0.000E+0	1.500E+0	0.000E+0	2.880E+4	0.000E+0	nee (BWZI)			0.000E+0
Verlading MCB MDI-2,,Breuk tankauto,MCB Hntsm	R105[D]->D119[B]->D274[D]->D207[B]->W23	1.828E-9	0.000E+0		0.000E+0	1.000E+0		2.880E+4	0.000E+0	ja (BWZI)			0.000E+0
Verlading MCB MDI-2,,Breuk tankauto,MCB Hntsm	R105[D]->D119[B]->D274[O]->D194[D]->D207[B]->W23	2.031E-11	0.000E+0		0.000E+0	1.500E+0	0.000E+0	2.880E+4	0.000E+0	nee (BWZI)			0.000E+0
Verlading MCB MDI-2,,Breuk tankauto,MCB Hntsm	R105[D]->D119[B]->D274[O]->D194[D]->D207[B]->W23	2.031E-11	0.000E+0		0.000E+0	1.000E+0		2.880E+4	0.000E+0	ja (BWZI)			0.000E+0
Verlading MCB MDI-2,,Breuk tankauto,MCB Hntsm	R105[D]->D119[O]->D274[D]->D207[B]->W23	2.031E-10	0.000E+0		0.000E+0	1.500E+0	0.000E+0	2.880E+4	0.000E+0	nee (BWZI)			0.000E+0
Verlading MCB MDI-2,,Breuk tankauto,MCB Hntsm	R105[D]->D119[O]->D274[D]->D207[B]->W23	2.031E-10	0.000E+0		0.000E+0	1.000E+0		2.880E+4	0.000E+0	ja (BWZI)			0.000E+0

Group	Afstroomroute	Frequentie	Massa uitstroom	Volume contaminatie	MSI Factored	Weegfactor	Oever Contaminatie	Uitstroom tijd	Bluswater	RWZI			LC50 gewogen
										inhibitie	overbelasting	Actief slib beïnvloeding	
		[j-1]	[kg]	[m3]			[m]	[s]	[m3]				[m3]
Verlading MCB MDI-2,,Breuk tankauto,MCB Hntsm	R105[D]->D119[O]->D274[O]->D194[D]->D207[B]->W23	2.256E-12	0.000E+0		0.000E+0	1.500E+0	0.000E+0	2.880E+4	0.000E+0	nee (BWZI)			0.000E+0
Verlading MCB MDI-2,,Breuk tankauto,MCB Hntsm	R105[D]->D119[O]->D274[O]->D194[D]->D207[B]->W23	2.256E-12	0.000E+0		0.000E+0	1.000E+0		2.880E+4	0.000E+0	ja (BWZI)			0.000E+0

4.7 Unit 14-BU-0044

Group	Afstroomroute	Frequentie	Massa uitstroom	Volume contaminatie	MSI Factored	Weegfactor	Oever Contaminatie	Uitstroom tijd	Bluswater	RWZI			LC50 gewogen
										inhibitie	overbelasting	Actief slib beïnvloeding	
		[j-1]	[kg]	[m3]			[m]	[s]	[m3]				[m3]
14-BU-0044,T2170,Kleine brand,Methanol Hntsm	R180[O]->D352[O]->D119[D]->D274[D]->D207[B]->W23	2.600E-9	1.422E+6		0.000E+0	1.000E+0		2.880E+4	1.259E+1		ja (BWZI)		1.729E+3
14-BU-0044,T2170,Kleine brand,Methanol Hntsm	R180[O]->D352[O]->D119[D]->D274[O]->D194[D]->D207[B]->W23	2.889E-11	1.422E+6		0.000E+0	1.000E+0		2.880E+4	1.259E+1		ja (BWZI)		1.729E+3
14-BU-0044,T2170,Kleine brand,Methanol Hntsm	R180[O]->D352[O]->D119[B]->D274[D]->D207[B]->W23	2.600E-10	1.421E+6		0.000E+0	1.000E+0		2.880E+4	1.259E+1		ja (BWZI)		1.719E+3
14-BU-0044,T2170,Kleine brand,Methanol Hntsm	R180[O]->D352[O]->D119[B]->D274[O]->D194[D]->D207[B]->W23	2.889E-12	1.421E+6		0.000E+0	1.000E+0		2.880E+4	1.259E+1		ja (BWZI)		1.719E+3
14-BU-0044,T2170,Kleine brand,Methanol Hntsm	R180[O]->D352[O]->D119[O]->D274[D]->D207[B]->W23	2.889E-11	1.421E+6		0.000E+0	1.000E+0		2.880E+4	1.259E+1		ja (BWZI)		1.719E+3
14-BU-0044,T2170,Kleine brand,Methanol Hntsm	R180[O]->D352[O]->D119[O]->D274[O]->D194[D]->D207[B]->W23	3.210E-13	1.421E+6		0.000E+0	1.000E+0		2.880E+4	1.259E+1		ja (BWZI)		1.719E+3
14-BU-0044,T2170,Overvullen,Methanol Hntsm	R180[O]->D352[O]->D119[D]->D274[D]->D207[B]->W23	2.340E-8	1.418E+6		0.000E+0	1.000E+0		2.880E+4	0.000E+0		ja (BWZI)		1.670E+3
14-BU-0044,T2170,Overvullen,Methanol Hntsm	R180[O]->D352[O]->D119[D]->D274[O]->D194[D]->D207[B]->W23	2.600E-10	1.418E+6		0.000E+0	1.000E+0		2.880E+4	0.000E+0		ja (BWZI)		1.670E+3
14-BU-0044,T2170,Overvullen,Methanol Hntsm	R180[O]->D352[O]->D119[B]->D274[D]->D207[B]->W23	2.340E-9	1.417E+6		0.000E+0	1.000E+0		2.880E+4	0.000E+0		ja (BWZI)		1.658E+3
14-BU-0044,T2170,Overvullen,Methanol Hntsm	R180[O]->D352[O]->D119[B]->D274[O]->D194[D]->D207[B]->W23	2.600E-11	1.417E+6		0.000E+0	1.000E+0		2.880E+4	0.000E+0		ja (BWZI)		1.658E+3
14-BU-0044,T2170,Overvullen,Methanol Hntsm	R180[O]->D352[O]->D119[O]->D274[D]->D207[B]->W23	2.600E-10	1.417E+6		0.000E+0	1.000E+0		2.880E+4	0.000E+0		ja (BWZI)		1.658E+3
14-BU-0044,T2170,Overvullen,Methanol Hntsm	R180[O]->D352[O]->D119[O]->D274[O]->D194[D]->D207[B]->W23	2.889E-12	1.417E+6		0.000E+0	1.000E+0		2.880E+4	0.000E+0		ja (BWZI)		1.658E+3
14-BU-0044,T2170,Topping,Methanol Hntsm	R180[O]->D352[O]->D119[D]->D274[D]->D207[B]->W23	4.050E-6	1.409E+6		0.000E+0	1.000E+0		2.880E+4	0.000E+0				1.534E+3
14-BU-0044,T2170,Topping,Methanol Hntsm	R180[O]->D352[O]->D119[D]->D274[O]->D194[D]->D207[B]->W23	4.500E-8	1.409E+6		0.000E+0	1.000E+0		2.880E+4	0.000E+0				1.534E+3
14-BU-0044,T2170,Topping,Methanol Hntsm	R180[O]->D352[O]->D119[B]->D274[D]->D207[B]->W23	4.050E-7	1.408E+6		0.000E+0	1.000E+0		2.880E+4	0.000E+0				1.522E+3
14-BU-0044,T2170,Topping,Methanol Hntsm	R180[O]->D352[O]->D119[B]->D274[O]->D194[D]->D207[B]->W23	4.500E-9	1.408E+6		0.000E+0	1.000E+0		2.880E+4	0.000E+0				1.522E+3

Group	Afstroomroute	Frequentie	Massa uitstroom	Volume contaminatie	MSI Factored	Weegfactor	Oever Contaminatie	Uitstroom tijd	Bluswater	RWZI			LC50 gewogen
										inhibitie	overbelasting	Actief slib beïnvloeding	
		[j-1]	[kg]	[m3]			[m]	[s]	[m3]				[m3]
14-BU-0044,T2170,Topping,Methanol Hntsm	R180[O]->D352[O]->D119[O]->D274[D]->D207[B]->W23	4.500E-8	1.408E+6		0.000E+0	1.000E+0		2.880E+4	0.000E+0				1.522E+3
14-BU-0044,T2170,Topping,Methanol Hntsm	R180[O]->D352[O]->D119[O]->D274[O]->D194[D]->D207[B]->W23	5.000E-10	1.408E+6		0.000E+0	1.000E+0		2.880E+4	0.000E+0				1.522E+3

4.8 Unit 14-BU-0035

Group	Afstroomroute	Frequentie	Massa uitstroom	Volume contaminatie	MSI Factored	Weegfactor	Oever Contaminatie	Uitstroom tijd	Bluswater	RWZI			LC50 gewogen
										inhibitie	overbelasting	Actief slib beïnvloeding	
		[j-1]	[kg]	[m3]			[m]	[s]	[m3]				[m3]
14-BU-0035,T-3981,Topping,MCB Hntsm	R187[O]->D352[O]->D119[D]->D274[D]->D207[B]->W23	4.050E-6	0.000E+0		0.000E+0	1.500E+0	0.000E+0	2.880E+4	0.000E+0	nee (BWZI)			0.000E+0
14-BU-0035,T-3981,Topping,MCB Hntsm	R187[O]->D352[O]->D119[D]->D274[D]->D207[B]->W23	4.050E-6	0.000E+0		0.000E+0	1.000E+0		2.880E+4	0.000E+0	ja (BWZI)			0.000E+0
14-BU-0035,T-3981,Topping,MCB Hntsm	R187[O]->D352[O]->D119[D]->D274[O]->D194[D]->D207[B]->W23	4.500E-8	0.000E+0		0.000E+0	1.500E+0	0.000E+0	2.880E+4	0.000E+0	nee (BWZI)			0.000E+0
14-BU-0035,T-3981,Topping,MCB Hntsm	R187[O]->D352[O]->D119[D]->D274[O]->D194[D]->D207[B]->W23	4.500E-8	0.000E+0		0.000E+0	1.000E+0		2.880E+4	0.000E+0	ja (BWZI)			0.000E+0
14-BU-0035,T-3981,Topping,MCB Hntsm	R187[O]->D352[O]->D119[B]->D274[D]->D207[B]->W23	4.050E-7	0.000E+0		0.000E+0	1.500E+0	0.000E+0	2.880E+4	0.000E+0	nee (BWZI)			0.000E+0
14-BU-0035,T-3981,Topping,MCB Hntsm	R187[O]->D352[O]->D119[B]->D274[D]->D207[B]->W23	4.050E-7	0.000E+0		0.000E+0	1.000E+0		2.880E+4	0.000E+0	ja (BWZI)			0.000E+0
14-BU-0035,T-3981,Topping,MCB Hntsm	R187[O]->D352[O]->D119[B]->D274[O]->D194[D]->D207[B]->W23	4.500E-9	0.000E+0		0.000E+0	1.500E+0	0.000E+0	2.880E+4	0.000E+0	nee (BWZI)			0.000E+0
14-BU-0035,T-3981,Topping,MCB Hntsm	R187[O]->D352[O]->D119[B]->D274[O]->D194[D]->D207[B]->W23	4.500E-9	0.000E+0		0.000E+0	1.000E+0		2.880E+4	0.000E+0	ja (BWZI)			0.000E+0
14-BU-0035,T-3981,Topping,MCB Hntsm	R187[O]->D352[O]->D119[O]->D274[D]->D207[B]->W23	4.500E-8	0.000E+0		0.000E+0	1.500E+0	0.000E+0	2.880E+4	0.000E+0	nee (BWZI)			0.000E+0
14-BU-0035,T-3981,Topping,MCB Hntsm	R187[O]->D352[O]->D119[O]->D274[D]->D207[B]->W23	4.500E-8	0.000E+0		0.000E+0	1.000E+0		2.880E+4	0.000E+0	ja (BWZI)			0.000E+0
14-BU-0035,T-3981,Topping,MCB Hntsm	R187[O]->D352[O]->D119[O]->D274[O]->D194[D]->D207[B]->W23	5.000E-10	0.000E+0		0.000E+0	1.500E+0	0.000E+0	2.880E+4	0.000E+0	nee (BWZI)			0.000E+0
14-BU-0035,T-3981,Topping,MCB Hntsm	R187[O]->D352[O]->D119[O]->D274[O]->D194[D]->D207[B]->W23	5.000E-10	0.000E+0		0.000E+0	1.000E+0		2.880E+4	0.000E+0	ja (BWZI)			0.000E+0
14-BU-0035,T-3980,Topping,MCB Hntsm	R187[O]->D352[O]->D119[D]->D274[D]->D207[B]->W23	4.050E-6	0.000E+0		0.000E+0	1.500E+0	0.000E+0	2.880E+4	0.000E+0	nee (BWZI)			0.000E+0
14-BU-0035,T-3980,Topping,MCB Hntsm	R187[O]->D352[O]->D119[D]->D274[D]->D207[B]->W23	4.050E-6	0.000E+0		0.000E+0	1.000E+0		2.880E+4	0.000E+0	ja (BWZI)			0.000E+0
14-BU-0035,T-3980,Topping,MCB Hntsm	R187[O]->D352[O]->D119[D]->D274[O]->D194[D]->D207[B]->W23	4.500E-8	0.000E+0		0.000E+0	1.500E+0	0.000E+0	2.880E+4	0.000E+0	nee (BWZI)			0.000E+0
14-BU-0035,T-3980,Topping,MCB Hntsm	R187[O]->D352[O]->D119[D]->D274[O]->D194[D]->D207[B]->W23	4.500E-8	0.000E+0		0.000E+0	1.000E+0		2.880E+4	0.000E+0	ja (BWZI)			0.000E+0
14-BU-0035,T-3980,Topping,MCB Hntsm	R187[O]->D352[O]->D119[B]->D274[D]->D207[B]->W23	4.050E-7	0.000E+0		0.000E+0	1.500E+0	0.000E+0	2.880E+4	0.000E+0	nee (BWZI)			0.000E+0
14-BU-0035,T-3980,Topping,MCB Hntsm	R187[O]->D352[O]->D119[B]->D274[D]->D207[B]->W23	4.050E-7	0.000E+0		0.000E+0	1.000E+0		2.880E+4	0.000E+0	ja (BWZI)			0.000E+0

Group	Afstroomroute	Frequentie	Massa uitstroom	Volume contaminatie	MSI Factored	Weegfactor	Oever Contaminatie	Uitstroom tijd	Bluswater	RWZI			LC50 gewogen
										inhibitie	overbelasting	Actief slib beïnvloeding	
		[j-1]	[kg]	[m3]			[m]	[s]	[m3]				[m3]
14-BU-0035,T-3980,Topping,MCB Hntsm	R187[O]->D352[O]->D119[B]->D274[O]->D194[D]->D207[B]->W23	4.500E-9	0.000E+0		0.000E+0	1.500E+0	0.000E+0	2.880E+4	0.000E+0	nee (BWZI)			0.000E+0
14-BU-0035,T-3980,Topping,MCB Hntsm	R187[O]->D352[O]->D119[B]->D274[O]->D194[D]->D207[B]->W23	4.500E-9	0.000E+0		0.000E+0	1.000E+0		2.880E+4	0.000E+0	ja (BWZI)			0.000E+0
14-BU-0035,T-3980,Topping,MCB Hntsm	R187[O]->D352[O]->D119[O]->D274[D]->D207[B]->W23	4.500E-8	0.000E+0		0.000E+0	1.500E+0	0.000E+0	2.880E+4	0.000E+0	nee (BWZI)			0.000E+0
14-BU-0035,T-3980,Topping,MCB Hntsm	R187[O]->D352[O]->D119[O]->D274[D]->D207[B]->W23	4.500E-8	0.000E+0		0.000E+0	1.000E+0		2.880E+4	0.000E+0	ja (BWZI)			0.000E+0
14-BU-0035,T-3980,Topping,MCB Hntsm	R187[O]->D352[O]->D119[O]->D274[O]->D194[D]->D207[B]->W23	5.000E-10	0.000E+0		0.000E+0	1.500E+0	0.000E+0	2.880E+4	0.000E+0	nee (BWZI)			0.000E+0
14-BU-0035,T-3980,Topping,MCB Hntsm	R187[O]->D352[O]->D119[O]->D274[O]->D194[D]->D207[B]->W23	5.000E-10	0.000E+0		0.000E+0	1.000E+0		2.880E+4	0.000E+0	ja (BWZI)			0.000E+0

4.9 Unit Verlading NaOCI MDI-2

Group	Afstroomroute	Frequentie	Massa uitstroom	Volume contaminatie	MSI Factored	Weegfactor	Oever Contaminatie	Uitstroom tijd	Bluswater	RWZI			LC50 gewogen
										inhibitie	overbelasting	Actief slib beïnvloeding	
		[j-1]	[kg]	[m3]			[m]	[s]	[m3]				[m3]
Verlading NaOCI MDI-2,,Lekkage overslag tankauto,sodiumhypochlorite Hntsm	R379[D]->D119[D]->D274[D]->D207[B]->W23	5.767E-5	1.400E+6		0.000E+0	1.000E+0		2.880E+4	0.000E+0				2.894E+3
Verlading NaOCI MDI-2,,Lekkage overslag tankauto,sodiumhypochlorite Hntsm	R379[D]->D119[D]->D274[O]->D194[D]->D207[B]->W23	6.408E-7	1.400E+6		0.000E+0	1.000E+0		2.880E+4	0.000E+0				2.894E+3
Verlading NaOCI MDI-2,,Breuk overslag tankauto,sodiumhypochlorite Hntsm	R379[D]->D119[D]->D274[D]->D207[B]->W23	5.767E-6	1.401E+6		0.000E+0	1.000E+0		2.880E+4	0.000E+0	ja (BWZI)			1.509E+5
Verlading NaOCI MDI-2,,Breuk overslag tankauto,sodiumhypochlorite Hntsm	R379[D]->D119[D]->D274[O]->D194[D]->D207[B]->W23	6.408E-8	1.401E+6		0.000E+0	1.000E+0		2.880E+4	0.000E+0	ja (BWZI)			1.509E+5
Verlading NaOCI MDI-2,,Breuk tankauto,sodiumhypochlorite Hntsm	R379[D]->D119[D]->D274[D]->D207[B]->W23	1.846E-8	1.430E+6		0.000E+0	1.000E+0		2.880E+4	0.000E+0	ja (BWZI)			4.902E+6
Verlading NaOCI MDI-2,,Breuk tankauto,sodiumhypochlorite Hntsm	R379[D]->D119[D]->D274[O]->D194[D]->D207[B]->W23	2.051E-10	1.430E+6		0.000E+0	1.000E+0		2.880E+4	0.000E+0	ja (BWZI)			4.902E+6
Verlading NaOCI MDI-2,,Breuk tankauto,sodiumhypochlorite Hntsm	R379[D]->D119[B]->D274[D]->D207[B]->W23	1.846E-9	1.429E+6		0.000E+0	1.000E+0		2.880E+4	0.000E+0	ja (BWZI)			4.702E+6
Verlading NaOCI MDI-2,,Breuk tankauto,sodiumhypochlorite Hntsm	R379[D]->D119[B]->D274[O]->D194[D]->D207[B]->W23	2.051E-11	1.429E+6		0.000E+0	1.000E+0		2.880E+4	0.000E+0	ja (BWZI)			4.702E+6
Verlading NaOCI MDI-2,,Breuk tankauto,sodiumhypochlorite Hntsm	R379[D]->D119[O]->D274[D]->D207[B]->W23	2.051E-10	1.429E+6		0.000E+0	1.000E+0		2.880E+4	0.000E+0	ja (BWZI)			4.702E+6
Verlading NaOCI MDI-2,,Breuk tankauto,sodiumhypochlorite Hntsm	R379[D]->D119[O]->D274[O]->D194[D]->D207[B]->W23	2.279E-12	1.429E+6		0.000E+0	1.000E+0		2.880E+4	0.000E+0	ja (BWZI)			4.702E+6

4.10 Unit 14-BU-004

Group	Afstroomroute	Frequentie	Massa uitstroom	Volume contaminatie	MSI Factored	Weegfactor	Oever Contaminatie	Uitstroom tijd	Bluswater	RWZI			LC50 gewogen
										inhibitie	overbelasting	Actief slib beïnvloeding	
		[j-1]	[kg]	[m3]			[m]	[s]	[m3]				[m3]
14-BU-004, 14-T-2109B, Topping, Zoutzuur, HCl 30% Hntsm	R395[O]->D410[O]->D119[D]->D274[D]->D207[B]->W23	4.050E-7	1.652E+6	7.083E+6	5.060E-1	1.071E+0		2.880E+4	0.000E+0	ja (BWZI)			4.554E+7
14-BU-004, 14-T-2109B, Topping, Zoutzuur, HCl 30% Hntsm	R395[O]->D410[O]->D119[D]->D274[D]->D207[B]->W23	4.050E-7	1.652E+6		0.000E+0	1.000E+0		2.880E+4	0.000E+0	ja (BWZI)			4.554E+7
14-BU-004, 14-T-2109B, Topping, Zoutzuur, HCl 30% Hntsm	R395[O]->D410[O]->D119[D]->D274[O]->D194[D]->D207[B]->W23	4.500E-9	1.652E+6	7.083E+6	5.060E-1	1.071E+0		2.880E+4	0.000E+0	ja (BWZI)			4.554E+7
14-BU-004, 14-T-2109B, Topping, Zoutzuur, HCl 30% Hntsm	R395[O]->D410[O]->D119[D]->D274[O]->D194[D]->D207[B]->W23	4.500E-9	1.652E+6		0.000E+0	1.000E+0		2.880E+4	0.000E+0	ja (BWZI)			4.554E+7
14-BU-004, 14-T-2109B, Topping, Zoutzuur, HCl 30% Hntsm	R395[O]->D410[O]->D119[B]->D274[D]->D207[B]->W23	4.050E-8	1.651E+6	7.068E+6	5.048E-1	1.071E+0		2.880E+4	0.000E+0	ja (BWZI)			4.529E+7
14-BU-004, 14-T-2109B, Topping, Zoutzuur, HCl 30% Hntsm	R395[O]->D410[O]->D119[B]->D274[D]->D207[B]->W23	4.050E-8	1.651E+6		0.000E+0	1.000E+0		2.880E+4	0.000E+0	ja (BWZI)			4.529E+7
14-BU-004, 14-T-2109B, Topping, Zoutzuur, HCl 30% Hntsm	R395[O]->D410[O]->D119[B]->D274[O]->D194[D]->D207[B]->W23	4.500E-10	1.651E+6	7.068E+6	5.048E-1	1.071E+0		2.880E+4	0.000E+0	ja (BWZI)			4.529E+7
14-BU-004, 14-T-2109B, Topping, Zoutzuur, HCl 30% Hntsm	R395[O]->D410[O]->D119[B]->D274[O]->D194[D]->D207[B]->W23	4.500E-10	1.651E+6		0.000E+0	1.000E+0		2.880E+4	0.000E+0	ja (BWZI)			4.529E+7
14-BU-004, 14-T-2109B, Topping, Zoutzuur, HCl 30% Hntsm	R395[O]->D410[O]->D119[O]->D274[D]->D207[B]->W23	4.500E-9	1.651E+6	7.068E+6	5.048E-1	1.071E+0		2.880E+4	0.000E+0	ja (BWZI)			4.529E+7
14-BU-004, 14-T-2109B, Topping, Zoutzuur, HCl 30% Hntsm	R395[O]->D410[O]->D119[O]->D274[D]->D207[B]->W23	4.500E-9	1.651E+6		0.000E+0	1.000E+0		2.880E+4	0.000E+0	ja (BWZI)			4.529E+7
14-BU-004, 14-T-2109B, Topping, Zoutzuur, HCl 30% Hntsm	R395[O]->D410[O]->D119[O]->D274[O]->D194[D]->D207[B]->W23	5.000E-11	1.651E+6	7.068E+6	5.048E-1	1.071E+0		2.880E+4	0.000E+0	ja (BWZI)			4.529E+7
14-BU-004, 14-T-2109B, Topping, Zoutzuur, HCl 30% Hntsm	R395[O]->D410[O]->D119[O]->D274[O]->D194[D]->D207[B]->W23	5.000E-11	1.651E+6		0.000E+0	1.000E+0		2.880E+4	0.000E+0	ja (BWZI)			4.529E+7
14-BU-004, 14-T-2109B, Topping, Zoutzuur, HCl 30% Hntsm	R395[O]->D410[O]->D119[D]->D274[D]->D207[B]->W23	3.645E-6	1.492E+6	3.263E+6	2.331E-1	1.071E+0		2.880E+4	0.000E+0	ja (BWZI)			1.500E+7
14-BU-004, 14-T-2109B, Topping, Zoutzuur, HCl 30% Hntsm	R395[O]->D410[O]->D119[D]->D274[D]->D207[B]->W23	3.645E-6	1.492E+6		0.000E+0	1.000E+0		2.880E+4	0.000E+0	ja (BWZI)			1.500E+7
14-BU-004, 14-T-2109B, Topping, Zoutzuur, HCl 30% Hntsm	R395[O]->D410[O]->D119[D]->D274[O]->D194[D]->D207[B]->W23	4.050E-8	1.492E+6	3.263E+6	2.331E-1	1.071E+0		2.880E+4	0.000E+0	ja (BWZI)			1.500E+7

Group	Afstroomroute	Frequentie	Massa uitstroom	Volume contaminatie	MSI Factored	Weegfactor	Oever Contaminatie	Uitstroom tijd	Bluswater	RWZI			LC50 gewogen
		[j-1]	[kg]	[m3]			[m]	[s]	[m3]	inhibitie	overbelasting	Actief slib beïnvloeding	[m3]
14-BU-004,14-T-2109B,Topping,Zoutzuur, HCl 30% Hntsm	R395[O]->D410[O]->D119[D]->D274[O]->D194[D]->D207[B]->W23	4.050E-8	1.492E+6		0.000E+0	1.000E+0		2.880E+4	0.000E+0	ja (BWZI)			1.500E+7
14-BU-004,14-T-2109B,Topping,Zoutzuur, HCl 30% Hntsm	R395[O]->D410[O]->D119[B]->D274[D]->D207[B]->W23	3.645E-7	1.491E+6		0.000E+0	1.000E+0		2.880E+4	0.000E+0	ja (BWZI)			1.479E+7
14-BU-004,14-T-2109B,Topping,Zoutzuur, HCl 30% Hntsm	R395[O]->D410[O]->D119[B]->D274[O]->D194[D]->D207[B]->W23	4.050E-9	1.491E+6		0.000E+0	1.000E+0		2.880E+4	0.000E+0	ja (BWZI)			1.479E+7
14-BU-004,14-T-2109B,Topping,Zoutzuur, HCl 30% Hntsm	R395[O]->D410[O]->D119[O]->D274[D]->D207[B]->W23	4.050E-8	1.491E+6		0.000E+0	1.000E+0		2.880E+4	0.000E+0	ja (BWZI)			1.479E+7
14-BU-004,14-T-2109B,Topping,Zoutzuur, HCl 30% Hntsm	R395[O]->D410[O]->D119[O]->D274[O]->D194[D]->D207[B]->W23	4.500E-10	1.491E+6		0.000E+0	1.000E+0		2.880E+4	0.000E+0	ja (BWZI)			1.479E+7
14-BU-004,14-T-2109A,Topping,Zoutzuur, HCl 30% Hntsm	R395[O]->D410[O]->D119[D]->D274[D]->D207[B]->W23	4.050E-7	1.652E+6	7.083E+6	5.060E-1	1.071E+0		2.880E+4	0.000E+0	ja (BWZI)			4.554E+7
14-BU-004,14-T-2109A,Topping,Zoutzuur, HCl 30% Hntsm	R395[O]->D410[O]->D119[D]->D274[D]->D207[B]->W23	4.050E-7	1.652E+6		0.000E+0	1.000E+0		2.880E+4	0.000E+0	ja (BWZI)			4.554E+7
14-BU-004,14-T-2109A,Topping,Zoutzuur, HCl 30% Hntsm	R395[O]->D410[O]->D119[D]->D274[O]->D194[D]->D207[B]->W23	4.500E-9	1.652E+6	7.083E+6	5.060E-1	1.071E+0		2.880E+4	0.000E+0	ja (BWZI)			4.554E+7
14-BU-004,14-T-2109A,Topping,Zoutzuur, HCl 30% Hntsm	R395[O]->D410[O]->D119[D]->D274[O]->D194[D]->D207[B]->W23	4.500E-9	1.652E+6		0.000E+0	1.000E+0		2.880E+4	0.000E+0	ja (BWZI)			4.554E+7
14-BU-004,14-T-2109A,Topping,Zoutzuur, HCl 30% Hntsm	R395[O]->D410[O]->D119[B]->D274[D]->D207[B]->W23	4.050E-8	1.651E+6	7.068E+6	5.048E-1	1.071E+0		2.880E+4	0.000E+0	ja (BWZI)			4.529E+7
14-BU-004,14-T-2109A,Topping,Zoutzuur, HCl 30% Hntsm	R395[O]->D410[O]->D119[B]->D274[D]->D207[B]->W23	4.050E-8	1.651E+6		0.000E+0	1.000E+0		2.880E+4	0.000E+0	ja (BWZI)			4.529E+7
14-BU-004,14-T-2109A,Topping,Zoutzuur, HCl 30% Hntsm	R395[O]->D410[O]->D119[B]->D274[O]->D194[D]->D207[B]->W23	4.500E-10	1.651E+6	7.068E+6	5.048E-1	1.071E+0		2.880E+4	0.000E+0	ja (BWZI)			4.529E+7
14-BU-004,14-T-2109A,Topping,Zoutzuur, HCl 30% Hntsm	R395[O]->D410[O]->D119[B]->D274[O]->D194[D]->D207[B]->W23	4.500E-10	1.651E+6		0.000E+0	1.000E+0		2.880E+4	0.000E+0	ja (BWZI)			4.529E+7
14-BU-004,14-T-2109A,Topping,Zoutzuur, HCl 30% Hntsm	R395[O]->D410[O]->D119[O]->D274[D]->D207[B]->W23	4.500E-9	1.651E+6	7.068E+6	5.048E-1	1.071E+0		2.880E+4	0.000E+0	ja (BWZI)			4.529E+7
14-BU-004,14-T-2109A,Topping,Zoutzuur, HCl 30% Hntsm	R395[O]->D410[O]->D119[O]->D274[D]->D207[B]->W23	4.500E-9	1.651E+6		0.000E+0	1.000E+0		2.880E+4	0.000E+0	ja (BWZI)			4.529E+7
14-BU-004,14-T-2109A,Topping,Zoutzuur, HCl 30% Hntsm	R395[O]->D410[O]->D119[O]->D274[O]->D194[D]->D207[B]->W23	5.000E-11	1.651E+6	7.068E+6	5.048E-1	1.071E+0		2.880E+4	0.000E+0	ja (BWZI)			4.529E+7

Group	Afstroomroute	Frequentie	Massa uitstroom	Volume contaminatie	MSI Factored	Weegfactor	Oever Contaminatie	Uitstroom tijd	Bluswater	RWZI			LC50 gewogen
										inhibitie	overbelasting	Actief slib beïnvloeding	
		[j-1]	[kg]	[m3]			[m]	[s]	[m3]				[m3]
14-BU-004,14-T-2109A,Topping,Zoutzuur, HCl 30% Hntsm	R395[O]->D410[O]->D119[O]->D274[O]->D194[D]->D207[B]->W23	5.000E-11	1.651E+6		0.000E+0	1.000E+0		2.880E+4	0.000E+0	ja (BWZI)			4.529E+7
14-BU-004,14-T-2109A,Topping,Zoutzuur, HCl 30% Hntsm	R395[O]->D410[O]->D119[D]->D274[D]->D207[B]->W23	3.645E-6	1.492E+6	3.263E+6	2.331E-1	1.071E+0		2.880E+4	0.000E+0	ja (BWZI)			1.500E+7
14-BU-004,14-T-2109A,Topping,Zoutzuur, HCl 30% Hntsm	R395[O]->D410[O]->D119[D]->D274[D]->D207[B]->W23	3.645E-6	1.492E+6		0.000E+0	1.000E+0		2.880E+4	0.000E+0	ja (BWZI)			1.500E+7
14-BU-004,14-T-2109A,Topping,Zoutzuur, HCl 30% Hntsm	R395[O]->D410[O]->D119[D]->D274[O]->D194[D]->D207[B]->W23	4.050E-8	1.492E+6	3.263E+6	2.331E-1	1.071E+0		2.880E+4	0.000E+0	ja (BWZI)			1.500E+7
14-BU-004,14-T-2109A,Topping,Zoutzuur, HCl 30% Hntsm	R395[O]->D410[O]->D119[D]->D274[O]->D194[D]->D207[B]->W23	4.050E-8	1.492E+6		0.000E+0	1.000E+0		2.880E+4	0.000E+0	ja (BWZI)			1.500E+7
14-BU-004,14-T-2109A,Topping,Zoutzuur, HCl 30% Hntsm	R395[O]->D410[O]->D119[B]->D274[D]->D207[B]->W23	3.645E-7	1.491E+6		0.000E+0	1.000E+0		2.880E+4	0.000E+0	ja (BWZI)			1.479E+7
14-BU-004,14-T-2109A,Topping,Zoutzuur, HCl 30% Hntsm	R395[O]->D410[O]->D119[B]->D274[O]->D194[D]->D207[B]->W23	4.050E-9	1.491E+6		0.000E+0	1.000E+0		2.880E+4	0.000E+0	ja (BWZI)			1.479E+7
14-BU-004,14-T-2109A,Topping,Zoutzuur, HCl 30% Hntsm	R395[O]->D410[O]->D119[O]->D274[D]->D207[B]->W23	4.050E-8	1.491E+6		0.000E+0	1.000E+0		2.880E+4	0.000E+0	ja (BWZI)			1.479E+7
14-BU-004,14-T-2109A,Topping,Zoutzuur, HCl 30% Hntsm	R395[O]->D410[O]->D119[O]->D274[O]->D194[D]->D207[B]->W23	4.500E-10	1.491E+6		0.000E+0	1.000E+0		2.880E+4	0.000E+0	ja (BWZI)			1.479E+7

4.11 Unit 12-BU-0016

Group	Afstroomroute	Frequentie	Massa uitstroom	Volume contaminatie	MSI Factored	Weegfactor	Oever Contaminatie	Uitstroom tijd	Bluswater	RWZI			LC50 gewogen
										inhibitie	overbelasting	Actief slib beïnvloeding	
		[j-1]	[kg]	[m3]			[m]	[s]	[m3]				[m3]
12-BU-0016,12-T-125,Overvullen,Natronloog Hntsm 10-50%	R438[D]->D303[D]->D286[D]->D7[O]->D227[O]->D227[D]->D207[B]->W23	1.605E-11	2.441E+6		0.000E+0	1.000E+0		2.880E+4	0.000E+0	ja (BWZI)			5.977E+6
12-BU-0016,12-T-125,Overvullen,Natronloog Hntsm 10-50%	R438[D]->D303[D]->D286[D]->D7[O]->D227[O]->D227[D]->D207[B]->W23	3.049E-10	2.319E+6		0.000E+0	1.000E+0		2.880E+4	0.000E+0	ja (BWZI)			5.030E+6
12-BU-0016,12-T-125,Overvullen,Natronloog Hntsm 10-50%	R438[D]->D303[B]->D286[D]->D7[O]->D227[O]->D227[D]->D207[B]->W23	1.444E-11	2.440E+6		0.000E+0	1.000E+0		2.880E+4	0.000E+0	ja (BWZI)			5.965E+6
12-BU-0016,12-T-125,Overvullen,Natronloog Hntsm 10-50%	R438[D]->D303[B]->D286[D]->D7[O]->D227[O]->D227[D]->D207[B]->W23	2.744E-10	2.318E+6		0.000E+0	1.000E+0		2.880E+4	0.000E+0	ja (BWZI)			5.019E+6
12-BU-0016,12-T-125,Overvullen,Natronloog Hntsm 10-50%	R438[D]->D303[O]->D286[D]->D7[O]->D227[O]->D227[D]->D207[B]->W23	1.300E-10	2.440E+6		0.000E+0	1.000E+0		2.880E+4	0.000E+0	ja (BWZI)			5.965E+6
12-BU-0016,12-T-125,Overvullen,Natronloog Hntsm 10-50%	R438[D]->D303[O]->D286[D]->D7[O]->D227[O]->D227[D]->D207[B]->W23	2.470E-9	2.318E+6		0.000E+0	1.000E+0		2.880E+4	0.000E+0	ja (BWZI)			5.019E+6
12-BU-0016,12-T-125,Overvullen,Natronloog Hntsm 10-50%	R438[O]->D303[D]->D286[D]->D7[O]->D227[O]->D227[D]->D207[B]->W23	1.444E-10	2.212E+6		0.000E+0	1.000E+0		2.880E+4	0.000E+0	ja (BWZI)			4.254E+6
12-BU-0016,12-T-125,Overvullen,Natronloog Hntsm 10-50%	R438[O]->D303[D]->D286[D]->D7[O]->D227[O]->D227[D]->D207[B]->W23	2.744E-9	2.101E+6		0.000E+0	1.000E+0		2.880E+4	0.000E+0	ja (BWZI)			3.497E+6
12-BU-0016,12-T-125,Overvullen,Natronloog Hntsm 10-50%	R438[O]->D303[B]->D286[D]->D7[O]->D227[O]->D227[D]->D207[B]->W23	1.300E-10	2.211E+6		0.000E+0	1.000E+0		2.880E+4	0.000E+0	ja (BWZI)			4.243E+6
12-BU-0016,12-T-125,Overvullen,Natronloog Hntsm 10-50%	R438[O]->D303[B]->D286[D]->D7[O]->D227[O]->D227[D]->D207[B]->W23	2.470E-9	2.099E+6		0.000E+0	1.000E+0		2.880E+4	0.000E+0	ja (BWZI)			3.488E+6
12-BU-0016,12-T-125,Overvullen,Natronloog Hntsm 10-50%	R438[O]->D303[O]->D286[D]->D7[O]->D227[O]->D227[D]->D207[B]->W23	1.170E-9	2.211E+6		0.000E+0	1.000E+0		2.880E+4	0.000E+0	ja (BWZI)			4.243E+6
12-BU-0016,12-T-125,Overvullen,Natronloog Hntsm 10-50%	R438[O]->D303[O]->D286[D]->D7[O]->D227[O]->D227[D]->D207[B]->W23	2.223E-8	2.099E+6		0.000E+0	1.000E+0		2.880E+4	0.000E+0	ja (BWZI)			3.488E+6

4.12 Unit 14-BU-T2606

Group	Afstroomroute	Frequentie	Massa uitstroom	Volume contaminatie	MSI Factored	Weegfactor	Oever Contaminatie	Uitstroom tijd	Bluswater	RWZI			LC50 gewogen
										inhibitie	overbelasting	Actief slib beïnvloeding	
		[j-1]	[kg]	[m3]			[m]	[s]	[m3]				[m3]
14-BU-T2606,14-T-2606,Instantaan falen,Natronloog Hntsm 10-50%	R449[D]->D352[O]->D119[D]->D274[D]->D207[B]->W23	4.050E-7	1.633E+6		0.000E+0	1.000E+0		2.880E+4	0.000E+0	ja (BWZI)			9.165E+5
14-BU-T2606,14-T-2606,Instantaan falen,Natronloog Hntsm 10-50%	R449[D]->D352[O]->D119[D]->D274[O]->D194[D]->D207[B]->W23	4.500E-9	1.633E+6		0.000E+0	1.000E+0		2.880E+4	0.000E+0	ja (BWZI)			9.165E+5
14-BU-T2606,14-T-2606,Instantaan falen,Natronloog Hntsm 10-50%	R449[D]->D352[O]->D119[B]->D274[D]->D207[B]->W23	4.050E-8	1.631E+6		0.000E+0	1.000E+0		2.880E+4	0.000E+0	ja (BWZI)			9.096E+5
14-BU-T2606,14-T-2606,Instantaan falen,Natronloog Hntsm 10-50%	R449[D]->D352[O]->D119[B]->D274[O]->D194[D]->D207[B]->W23	4.500E-10	1.631E+6		0.000E+0	1.000E+0		2.880E+4	0.000E+0	ja (BWZI)			9.096E+5
14-BU-T2606,14-T-2606,Instantaan falen,Natronloog Hntsm 10-50%	R449[D]->D352[O]->D119[O]->D274[D]->D207[B]->W23	4.500E-9	1.631E+6		0.000E+0	1.000E+0		2.880E+4	0.000E+0	ja (BWZI)			9.096E+5
14-BU-T2606,14-T-2606,Instantaan falen,Natronloog Hntsm 10-50%	R449[D]->D352[O]->D119[O]->D274[O]->D194[D]->D207[B]->W23	5.000E-11	1.631E+6		0.000E+0	1.000E+0		2.880E+4	0.000E+0	ja (BWZI)			9.096E+5
14-BU-T2606,14-T-2606,Overvullen,Natronloog Hntsm 10-50%	R449[D]->D352[O]->D119[D]->D274[D]->D207[B]->W23	2.600E-9	2.684E+6		0.000E+0	1.000E+0		2.880E+4	0.000E+0	ja (BWZI)			8.035E+6
14-BU-T2606,14-T-2606,Overvullen,Natronloog Hntsm 10-50%	R449[D]->D352[O]->D119[D]->D274[O]->D194[D]->D207[B]->W23	2.889E-11	2.684E+6		0.000E+0	1.000E+0		2.880E+4	0.000E+0	ja (BWZI)			8.035E+6
14-BU-T2606,14-T-2606,Overvullen,Natronloog Hntsm 10-50%	R449[D]->D352[O]->D119[B]->D274[D]->D207[B]->W23	2.600E-10	2.682E+6		0.000E+0	1.000E+0		2.880E+4	0.000E+0	ja (BWZI)			8.021E+6
14-BU-T2606,14-T-2606,Overvullen,Natronloog Hntsm 10-50%	R449[D]->D352[O]->D119[B]->D274[O]->D194[D]->D207[B]->W23	2.889E-12	2.682E+6		0.000E+0	1.000E+0		2.880E+4	0.000E+0	ja (BWZI)			8.021E+6
14-BU-T2606,14-T-2606,Overvullen,Natronloog Hntsm 10-50%	R449[D]->D352[O]->D119[O]->D274[D]->D207[B]->W23	2.889E-11	2.682E+6		0.000E+0	1.000E+0		2.880E+4	0.000E+0	ja (BWZI)			8.021E+6
14-BU-T2606,14-T-2606,Overvullen,Natronloog Hntsm 10-50%	R449[D]->D352[O]->D119[O]->D274[O]->D194[D]->D207[B]->W23	3.210E-13	2.682E+6		0.000E+0	1.000E+0		2.880E+4	0.000E+0	ja (BWZI)			8.021E+6
14-BU-T2606,14-T-2606,Overvullen,Natronloog Hntsm 10-50%	R449[O]->D352[O]->D119[D]->D274[D]->D207[B]->W23	2.340E-8	1.869E+6		0.000E+0	1.000E+0		2.880E+4	0.000E+0	ja (BWZI)			2.097E+6
14-BU-T2606,14-T-2606,Overvullen,Natronloog Hntsm 10-50%	R449[O]->D352[O]->D119[D]->D274[O]->D194[D]->D207[B]->W23	2.600E-10	1.869E+6		0.000E+0	1.000E+0		2.880E+4	0.000E+0	ja (BWZI)			2.097E+6
14-BU-T2606,14-T-2606,Overvullen,Natronloog Hntsm 10-50%	R449[O]->D352[O]->D119[B]->D274[D]->D207[B]->W23	2.340E-9	1.867E+6		0.000E+0	1.000E+0		2.880E+4	0.000E+0	ja (BWZI)			2.088E+6

Group	Afstroomroute	Frequentie	Massa uitstroom	Volume contaminatie	MSI Factored	Weegfactor	Oever Contaminatie	Uitstroom tijd	Bluswater	RWZI			LC50 gewogen
										inhibitie	overbelasting	Actief slib beïnvloeding	
		[j-1]	[kg]	[m3]			[m]	[s]	[m3]				[m3]
14-BU-T2606,14-T-2606,Overvullen,Natronloog Hntsm 10-50%	R449[O]->D352[O]->D119[B]->D274[O]->D194[D]->D207[B]->W23	2.600E-11	1.867E+6		0.000E+0	1.000E+0		2.880E+4	0.000E+0	ja (BWZI)			2.088E+6
14-BU-T2606,14-T-2606,Overvullen,Natronloog Hntsm 10-50%	R449[O]->D352[O]->D119[O]->D274[D]->D207[B]->W23	2.600E-10	1.867E+6		0.000E+0	1.000E+0		2.880E+4	0.000E+0	ja (BWZI)			2.088E+6
14-BU-T2606,14-T-2606,Overvullen,Natronloog Hntsm 10-50%	R449[O]->D352[O]->D119[O]->D274[O]->D194[D]->D207[B]->W23	2.889E-12	1.867E+6		0.000E+0	1.000E+0		2.880E+4	0.000E+0	ja (BWZI)			2.088E+6
14-BU-T2606,14-T-2606,Continu falen,Natronloog Hntsm 10-50%	R449[D]->D352[O]->D119[D]->D274[D]->D207[B]->W23	8.092E-6	1.596E+6		0.000E+0	1.000E+0		2.880E+4	0.000E+0	ja (BWZI)			7.536E+5
14-BU-T2606,14-T-2606,Continu falen,Natronloog Hntsm 10-50%	R449[D]->D352[O]->D119[D]->D274[O]->D194[D]->D207[B]->W23	8.991E-8	1.596E+6		0.000E+0	1.000E+0		2.880E+4	0.000E+0	ja (BWZI)			7.536E+5
14-BU-T2606,14-T-2606,Continu falen,Natronloog Hntsm 10-50%	R449[D]->D352[O]->D119[B]->D274[D]->D207[B]->W23	8.092E-7	1.594E+6		0.000E+0	1.000E+0		2.880E+4	0.000E+0	ja (BWZI)			7.471E+5
14-BU-T2606,14-T-2606,Continu falen,Natronloog Hntsm 10-50%	R449[D]->D352[O]->D119[B]->D274[O]->D194[D]->D207[B]->W23	8.991E-9	1.594E+6		0.000E+0	1.000E+0		2.880E+4	0.000E+0	ja (BWZI)			7.471E+5
14-BU-T2606,14-T-2606,Continu falen,Natronloog Hntsm 10-50%	R449[D]->D352[O]->D119[O]->D274[D]->D207[B]->W23	8.991E-8	1.594E+6		0.000E+0	1.000E+0		2.880E+4	0.000E+0	ja (BWZI)			7.471E+5
14-BU-T2606,14-T-2606,Continu falen,Natronloog Hntsm 10-50%	R449[D]->D352[O]->D119[O]->D274[O]->D194[D]->D207[B]->W23	9.990E-10	1.594E+6		0.000E+0	1.000E+0		2.880E+4	0.000E+0	ja (BWZI)			7.471E+5
14-BU-T2606,14-T-2606,Topping,Natronloog Hntsm 10-50%	R449[O]->D352[O]->D119[D]->D274[D]->D207[B]->W23	4.050E-6	1.839E+6		0.000E+0	1.000E+0		2.880E+4	0.000E+0	ja (BWZI)			1.932E+6
14-BU-T2606,14-T-2606,Topping,Natronloog Hntsm 10-50%	R449[O]->D352[O]->D119[D]->D274[O]->D194[D]->D207[B]->W23	4.500E-8	1.839E+6		0.000E+0	1.000E+0		2.880E+4	0.000E+0	ja (BWZI)			1.932E+6
14-BU-T2606,14-T-2606,Topping,Natronloog Hntsm 10-50%	R449[O]->D352[O]->D119[B]->D274[D]->D207[B]->W23	4.050E-7	1.837E+6		0.000E+0	1.000E+0		2.880E+4	0.000E+0	ja (BWZI)			1.924E+6
14-BU-T2606,14-T-2606,Topping,Natronloog Hntsm 10-50%	R449[O]->D352[O]->D119[B]->D274[O]->D194[D]->D207[B]->W23	4.500E-9	1.837E+6		0.000E+0	1.000E+0		2.880E+4	0.000E+0	ja (BWZI)			1.924E+6
14-BU-T2606,14-T-2606,Topping,Natronloog Hntsm 10-50%	R449[O]->D352[O]->D119[O]->D274[D]->D207[B]->W23	4.500E-8	1.837E+6		0.000E+0	1.000E+0		2.880E+4	0.000E+0	ja (BWZI)			1.924E+6
14-BU-T2606,14-T-2606,Topping,Natronloog Hntsm 10-50%	R449[O]->D352[O]->D119[O]->D274[O]->D194[D]->D207[B]->W23	5.000E-10	1.837E+6		0.000E+0	1.000E+0		2.880E+4	0.000E+0	ja (BWZI)			1.924E+6
14-BU-T2606,14-T-2606,Spigot,Natronloog Hntsm 10-50%	R449[O]->D352[O]->D119[D]->D274[D]->D207[B]->W23	5.631E-5	1.539E+6		0.000E+0	1.000E+0		2.880E+4	0.000E+0	ja (BWZI)			5.164E+5
14-BU-T2606,14-T-2606,Spigot,Natronloog Hntsm 10-50%	R449[O]->D352[O]->D119[D]->D274[O]->D194[D]->D207[B]->W23	6.257E-7	1.539E+6		0.000E+0	1.000E+0		2.880E+4	0.000E+0	ja (BWZI)			5.164E+5

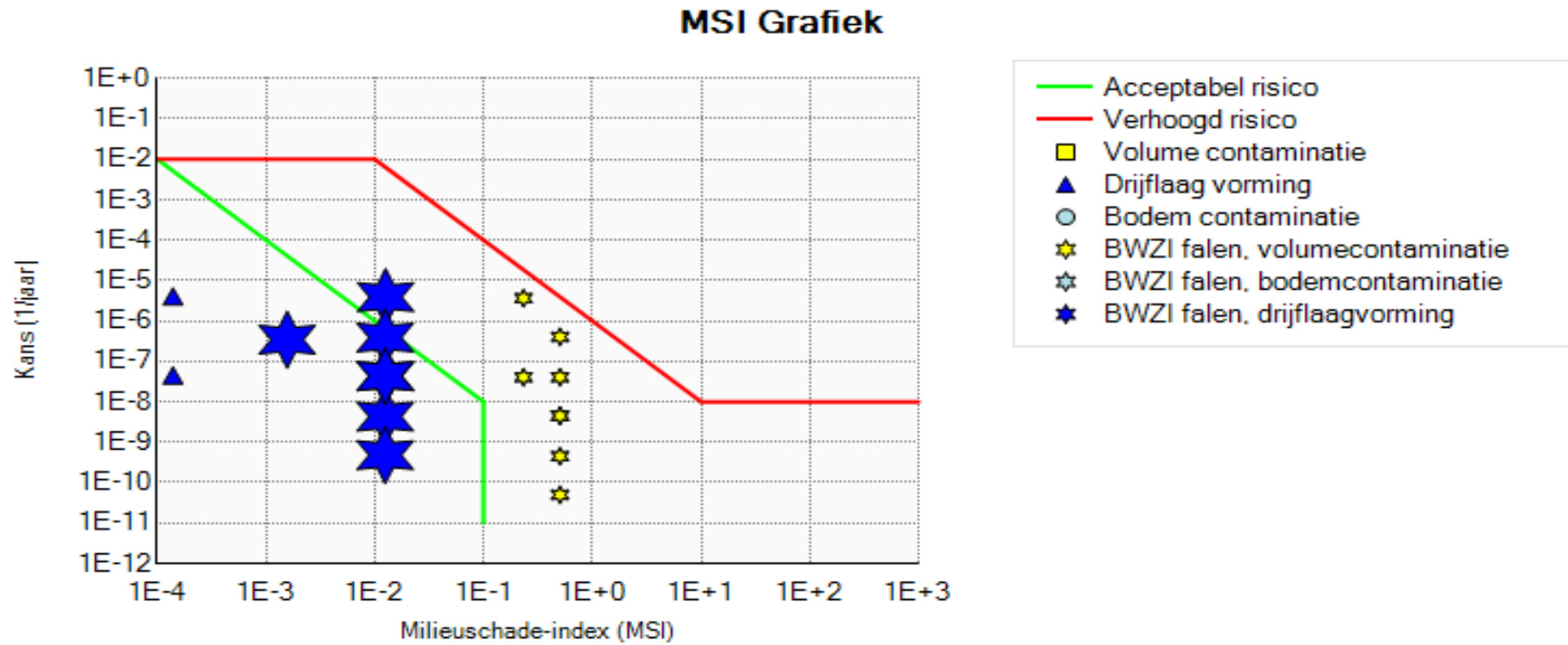
Group	Afstroomroute	Frequentie	Massa uitstroom	Volume contaminatie	MSI Factored	Weegfactor	Oever Contaminatie	Uitstroom tijd	Bluswater	RWZI			LC50 gewogen
										inhibitie	overbelasting	Actief slib beïnvloeding	
		[j-1]	[kg]	[m3]			[m]	[s]	[m3]				[m3]
14-BU-T2606,14-T-2606,Spigot,Natronloog Hntsm 10-50%	R449[O]->D352[O]->D119[B]->D274[D]->D207[B]->W23	5.631E-6	1.537E+6		0.000E+0	1.000E+0		2.880E+4	0.000E+0	ja (BWZI)			5.102E+5
14-BU-T2606,14-T-2606,Spigot,Natronloog Hntsm 10-50%	R449[O]->D352[O]->D119[B]->D274[O]->D194[D]->D207[B]->W23	6.257E-8	1.537E+6		0.000E+0	1.000E+0		2.880E+4	0.000E+0	ja (BWZI)			5.102E+5
14-BU-T2606,14-T-2606,Spigot,Natronloog Hntsm 10-50%	R449[O]->D352[O]->D119[O]->D274[D]->D207[B]->W23	6.257E-7	1.537E+6		0.000E+0	1.000E+0		2.880E+4	0.000E+0	ja (BWZI)			5.102E+5
14-BU-T2606,14-T-2606,Spigot,Natronloog Hntsm 10-50%	R449[O]->D352[O]->D119[O]->D274[O]->D194[D]->D207[B]->W23	6.952E-9	1.537E+6		0.000E+0	1.000E+0		2.880E+4	0.000E+0	ja (BWZI)			5.102E+5

4.13 Unit Pijpleiding

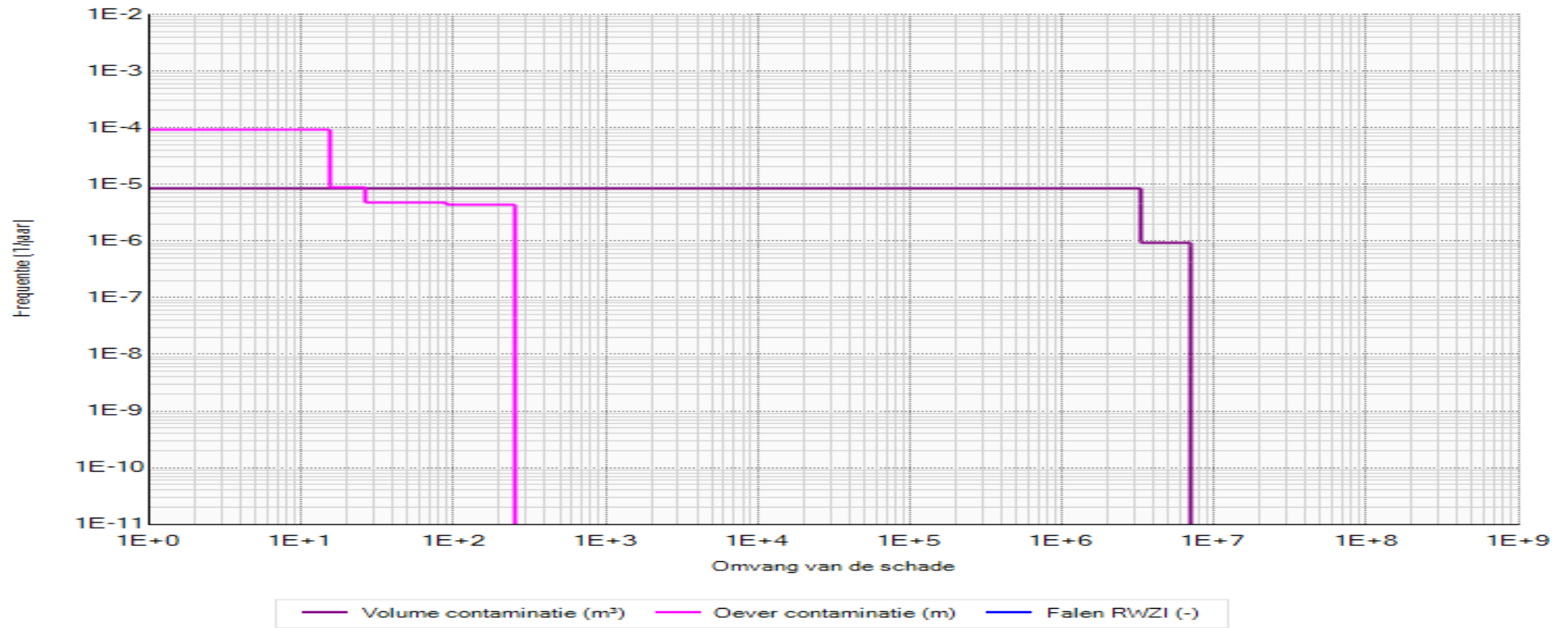
Group	Afstroomroute	Frequentie	Massa uitstroom	Volume contaminatie	MSI Factored	Weegfactor	Oever Contaminatie	Uitstroom tijd	Bluswater	RWZI			LC50 gewogen
										inhibitie	overbelasting	Actief slib beïnvloeding	
		[j-1]	[kg]	[m3]			[m]	[s]	[m3]				[m3]
Pijpleiding,,Leidingbreuk,Voorbeeldstof oevercontaminatie	R459[B]->D312[D]->D3[O]->D194[O]->D194[D]->D207[B]->W23	3.444E-7	1.002E+4		1.565E-3	1.500E+0	8.929E+1	2.880E+4	0.000E+0	ja (BWZI)			1.002E+7
Pijpleiding,,Leidingbreuk,Voorbeeldstof oevercontaminatie	R459[B]->D312[D]->D3[O]->D194[O]->D194[D]->D207[B]->W23	3.444E-7	1.002E+4		0.000E+0	1.000E+0		2.880E+4	0.000E+0	ja (BWZI)			1.002E+7
Pijpleiding,,Leidingbreuk,Voorbeeldstof volumecontaminatie	R459[B]->D312[D]->D3[O]->D194[O]->D194[D]->D207[B]->W23	3.444E-7	1.413E+6		0.000E+0	1.000E+0		2.880E+4	0.000E+0	ja (BWZI)			1.417E+6

5. Grafieken: cumulatieve resultaten

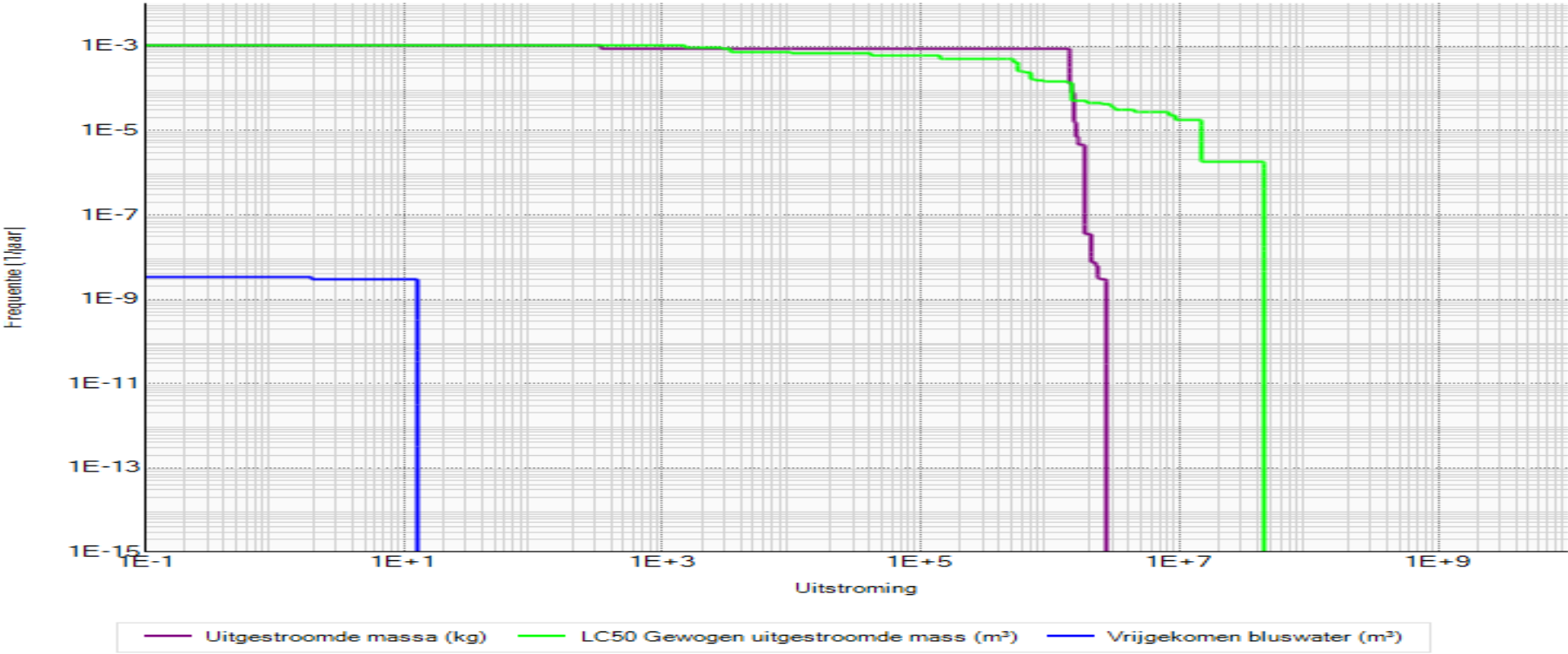
5.1 MSI Grafiek



5.2 Milieurisico's



5.3 Uitstromingen



6. Overzicht Units

6.1 Unit 12-BU-0015 + 12-BU-0017

Eigenschap	Waarde	Eenheid
Oppervlak	88.6	m ²
Blusstof	Water	
Afsluiter(doorstromen)	Geen afvoer	
Afsluiter(bufferen)	Handbediend (gesloten)	
Bergend volume	132.9	m ³
Bufferend volume	0	m ³
Naam	12-BU-0015 + 12-BU-0017	
Omschrijving	MDI1 Opslag	

6.1.1 Opslagtank: 12-V-102A

Eigenschap	Waarde	Eenheid
TypeOpslagtank	Enkelwandig	
Volume	70	m3
Hoogte van de tank	6	m
Hoogte grondvlak	0	m
Stoffen	Aantal: 1	
Diameter van de grootste aansluiting	3.93700787401575	inch
BrandbeveiligingsSysteem	Geen	
Toezicht	Beperkt	
Overvulbeveiliging	Enkelvoudig	
Identificatie	12-V-102A	
Omschrijving	HCL 30%	
Stof	Vergunde vullingsgraad	Fractie van de tijd aanwezig
Zoutzuur, HCl 30% Hntsm	90	100

6.1.2 Opslagtank: 12-V-102B

Eigenschap	Waarde	Eenheid
TypeOpslagtank	Enkelwandig	
Volume	70	m3
Hoogte van de tank	6	m
Hoogte grondvlak	0	m
Stoffen	Aantal: 1	
Diameter van de grootste aansluiting	3.93700787401575	inch
BrandbeveiligingsSysteem	Geen	
Toezicht	Beperkt	
Overvulbeveiliging	Enkelvoudig	
Identificatie	12-V-102B	
Omschrijving	HCL 30%	
Stof	Vergunde vullingsgraad	Fractie van de tijd aanwezig
Zoutzuur, HCl 30% Hntsm	90	100

6.2 Unit 12BU-0018+12-BU-0019

Eigenschap	Waarde	Eenheid
Oppervlak	683.8	m ²
Blusstof	Schuim	
Afsluiter(doorstromen)	Geen afvoer	
Afsluiter(bufferen)	Handbediend (gesloten)	
Bergend volume	854.7	m ³
Bufferend volume	0	m ³
Naam	12BU-0018+12-BU-0019	
Omschrijving	MDI1 Opslag	

6.2.1 Opslagtank: T-121A

Eigenschap	Waarde	Eenheid
TypeOpslagtank	Enkelwandig	
Volume	490	m3
Hoogte van de tank	9	m
Hoogte grondvlak	0	m
Stoffen	Aantal: 1	
Diameter van de grootste aansluiting	0.2	m
BrandbeveiligingsSysteem	Schuim	
Toezicht	Beperkt	
Overvulbeveiliging	Enkelvoudig	
Identificatie	T-121A	
Omschrijving	Aniline opslagtank	

Stof	Vergunde vullingsgraad	Fractie van de tijd aanwezig
Aniline Hntsm	75	100

6.3 Unit 12-BU-0004

Eigenschap	Waarde	Eenheid
Oppervlak	286.2	m ²
Blusstof	Water	
Afsluiter(doorstromen)	Geen afvoer	
Afsluiter(bufferen)	Geen afvoer	
Bergend volume	372	m ³
Bufferend volume	0	m ³
Naam	12-BU-0004	
Omschrijving	MDI1 Opslag	

6.3.1 Opslagtank: 12-V107A

Eigenschap	Waarde	Eenheid
TypeOpslagtank	Enkelwandig	
Volume	115	m3
Hoogte van de tank	5.5	m
Hoogte grondvlak	0	m
Stoffen	Aantal: 1	
Diameter van de grootste aansluiting	0.1	m
BrandbeveiligingsSysteem	Sprinkler	
Toezicht	Gegarandeerd	
Overvulbeveiliging	Enkelvoudig	
Identificatie	12-V107A	
Omschrijving	MCB Opslag	

Stof	Vergunde vullingsgraad	Fractie van de tijd aanwezig
MCB Hntsm	80	100

6.4 Unit Geen bund

Eigenschap	Waarde	Eenheid
Oppervlak	100	m ²
Blusstof	Water	
Afsluiter(doorstromen)	Afvoer zonder afsluiter	
Afsluiter(bufferen)	Afvoer zonder afsluiter	
Bergend volume	0	m ³
Bufferend volume	0	m ³
Naam	Geen bund	
Omschrijving	MDI1 Opslag	

6.4.1 Opslagtank: 12-V216

Eigenschap	Waarde	Eenheid
TypeOpslagtank	Enkelwandig	
Volume	230	m3
Hoogte van de tank	7.2	m
Hoogte grondvlak	0	m
Stoffen	Aantal: 1	
Diameter van de grootste aansluiting	0.1	m
BrandbeveiligingsSysteem	Geen	
Toezicht	Beperkt	
Overvulbeveiliging	Enkelvoudig	
Identificatie	12-V216	
Omschrijving	DADPM Opslag	

Stof	Vergunde vullingsgraad	Fractie van de tijd aanwezig
DADPM Hntsm	85	100

6.5 Unit Geen bund

Eigenschap	Waarde	Eenheid
Oppervlak	100	m ²
Blusstof	Water	
Afsluiter(doorstromen)	Afvoer zonder afsluiter	
Afsluiter(bufferen)	Afvoer zonder afsluiter	
Bergend volume	0	m ³
Bufferend volume	0	m ³
Naam	Geen bund	
Omschrijving	MDI2 Opslag	

6.5.1 Opslagtank: 14-T2611

Eigenschap	Waarde	Eenheid
TypeOpslagtank	Enkelwandig	
Volume	2.75	m3
Hoogte van de tank	1	m
Hoogte grondvlak	0	m
Stoffen	Aantal: 1	
Diameter van de grootste aansluiting	5.90551181102362	inch
BrandbeveiligingsSysteem	Geen	
Toezicht	Beperkt	
Overvulbeveiliging	Enkelvoudig	
Identificatie	14-T2611	
Omschrijving	Lube Oil Opslag	

Stof	Vergunde vullingsgraad	Fractie van de tijd aanwezig
Lube oil - smeerolie Hntsm	100	100

6.6 Unit 14-BU-0001

Eigenschap	Waarde	Eenheid
Oppervlak	781.3	m ²
Blusstof	Water	
Afsluiter(doorstromen)	Geen afvoer	
Afsluiter(bufferen)	Geen afvoer	
Bergend volume	1172	m ³
Bufferend volume	1172	m ³
Naam	14-BU-0001	
Omschrijving	MDI2 Opslag	

6.6.1 Opslagtank: 14-V2121

Eigenschap	Waarde	Eenheid
TypeOpslagtank	Enkelwandig	
Volume	628	m3
Hoogte van de tank	9	m
Hoogte grondvlak	0.7	m
Stoffen	Aantal: 1	
Diameter van de grootste aansluiting	7.8740157480315	inch
BrandbeveiligingsSysteem	Geen	
Toezicht	Beperkt	
Overvulbeveiliging	Enkelvoudig	
Identificatie	14-V2121	
Omschrijving	Aniline/Water/N2 Opslag	

Stof	Vergunde vullingsgraad	Fractie van de tijd aanwezig
Aniline Hntsm	100	100

6.6.2 Opslagtank: 14-T2216

Eigenschap	Waarde	Eenheid
TypeOpslagtank	Enkelwandig	
Volume	1043	m3
Hoogte van de tank	8.5	m
Hoogte grondvlak	0	m
Stoffen	Aantal: 1	
Diameter van de grootste aansluiting	3.93700787401575	inch
BrandbeveiligingsSysteem	Geen	
Toezicht	Beperkt	
Overvulbeveiliging	Enkelvoudig	
Identificatie	14-T2216	
Omschrijving	DADPM Opslag	
Stof	Vergunde vullingsgraad	Fractie van de tijd aanwezig
DADPM Hntsm	100	100

6.7 Unit 14-BU-0006

Eigenschap	Waarde	Eenheid
Oppervlak	342	m ²
Blusstof	Water	
Afsluiter(doorstromen)	Geen afvoer	
Afsluiter(bufferen)	Geen afvoer	
Bergend volume	513	m ³
Bufferend volume	513	m ³
Naam	14-BU-0006	
Omschrijving	MDI2 Opslag	

6.7.1 Opslagtank: 14-V2107A

Eigenschap	Waarde	Eenheid
TypeOpslagtank	Enkelwandig	
Volume	198	m3
Hoogte van de tank	4.3	m
Hoogte grondvlak	1.8	m
Stoffen	Aantal: 1	
Diameter van de grootste aansluiting	0.15	m
BrandbeveiligingsSysteem	Sprinkler	
Toezicht	Gegarandeerd	
Overvulbeveiliging	Enkelvoudig	
Identificatie	14-V2107A	
Omschrijving	MCB / N2 Opslag	
Stof	Vergunde vullingsgraad	Fractie van de tijd aanwezig
MCB Hntsm	100	100

6.8 Unit MDI1 Productie

Eigenschap	Waarde	Eenheid
Afsluiter(doorstromen)	Afvoer zonder afsluiter	
Afsluiter(bufferen)	Afvoer zonder afsluiter	
Bergend Volume	0	m3
Bufferend volume	0	m3
Naam	MDI1 Productie	
Omschrijving	MDI1 Productie	

6.8.1 Continuereactor: 12-V230

Eigenschap	Waarde	Eenheid
Volume	44.8	m ³
Hoogte van de tank	3	m
Diameter pijp (warmtewisselaar)	0.1	m
BrandbeveiligingsSysteem	Sprinkler	
Recepten	Recepten: 1	
Toezicht	Toezicht & backup	
Blusstof	Water	
Identificatie	12-V230	
Omschrijving	Aniline/DADPM/HCl	

Naam	Tijdfractie in bedrijf	Verblijftijd	Vergunde vullingsgraad	Druk	Run away reactie mogelijk	Gebruik warmtewisselaar	Samenstelling
Aniline/DA DPM/HCl	100	1	100	101325	Nee	Nee	Aantal: 3

Stof	Gem. massa in reactor
Aniline Hntsm	1500
Voorbeeldstof volumecontaminatie	1500
Zoutzuur, HCl 30% Hntsm	1500

6.8.2 Continuereactor: 12-V209A

Eigenschap	Waarde	Eenheid
Volume	42.5	m ³
Hoogte van de tank	1	m
Diameter pijp (warmtewisselaar)	0.1	m
BrandbeveiligingsSysteem	Sprinkler	
Recepten	Recepten: 1	
Toezicht	Toezicht & backup	
Blusstof	Water	
Identificatie	12-V209A	
Omschrijving	Amine Brine	

Naam	Tijdfractie in bedrijf	Verblijftijd	Vergunde vullingsgraad	Druk	Run away reactie mogelijk	Gebruik warmtewisselaar	Samenstelling
Amine Brine	1	1	100	101325	Nee	Nee	Aantal: 1

Stof	Gem. massa in reactor
Aniline Hntsm	43350

6.8.3 Continuereactor: 12-V704

Eigenschap	Waarde	Eenheid
Volume	33	m ³
Hoogte van de tank	2.3	m
Diameter pijp (warmtewisselaar)	6	inch
BrandbeveiligingsSysteem	Sprinkler	
Recepten	Recepten: 1	
Toezicht	Toezicht & backup	
Blusstof	Water	
Identificatie	12-V704	
Omschrijving	Methanol	

Naam	Tijdfractie in bedrijf	Verblijftijd	Vergunde vullingsgr aad	Druk	Run away reactie mogelijk	Gebruik warmtewi sselaar	Samenste lling
Methanol	1	24	100	101325	Nee	Nee	Aantal: 1

Stof	Gem. massa in reactor
Methanol Hntsm	260136

6.8.4 Continuereactor: 12-V210

Eigenschap	Waarde	Eenheid
Volume	41.2	m ³
Hoogte van de tank	2.75	m
Diameter pijp (warmtewisselaar)	6	inch
BrandbeveiligingsSysteem	Sprinkler	
Recepten	Recepten: 1	
Toezicht	Toezicht & backup	
Blusstof	Water	
Identificatie	12-V210	
Omschrijving	Aniline/DADPM	

Naam	Tijdfractie in bedrijf	Verblijftijd	Vergunde vullingsgraad	Druk	Run away reactie mogelijk	Gebruik warmtewisselaar	Samenstelling
Aniline/DADPM	1	24	100	101325	Nee	Nee	Aantal: 2

Stof	Gem. massa in reactor
Aniline Hntsm	14626
DADPM Hntsm	14626

6.9 Unit MDI2 Productie

Eigenschap	Waarde	Eenheid
Afsluiter(doorstromen)	Afvoer zonder afsluiter	
Afsluiter(bufferen)	Afvoer zonder afsluiter	
Bergend Volume	0	m3
Bufferend volume	0	m3
Naam	MDI2 Productie	
Omschrijving	MDI2 Productie	

6.9.1 Continuereactor: 14-C2405

Eigenschap	Waarde	Eenheid
Volume	49	m ³
Hoogte van de tank	1	m
Diameter pijp (warmtewisselaar)	0.1	m
BrandbeveiligingsSysteem	Sprinkler	
Recepten	Recepten: 1	
Toezicht	Toezicht & backup	
Blusstof	Water	
Identificatie	14-C2405	
Omschrijving	MCB/Fosgeen	

Naam	Tijdfractie in bedrijf	Verblijftijd	Vergunde vullingsgraad	Druk	Run away reactie mogelijk	Gebruik warmtewisselaar	Samenstelling
MCB/Fosgeen	100	24	100	101325	Nee	Nee	Aantal: 2

Stof	Gem. massa in reactor
MCB Hntsm	5922
Voorbeeldstof volumecontaminatie	5350

6.9.2 Continuereactor: 14-V2207

Eigenschap	Waarde	Eenheid
Volume	74	m ³
Hoogte van de tank	1	m
Diameter pijp (warmtewisselaar)	0.1	m
BrandbeveiligingsSysteem	Sprinkler	
Recepten	Recepten: 1	
Toezicht	Toezicht & backup	
Blusstof	Water	
Identificatie	14-V2207	
Omschrijving	ANILINE /DADPM / WATER	

Naam	Tijdfractie in bedrijf	Verblijftijd	Vergunde vullingsgraad	Druk	Run away reactie mogelijk	Gebruik warmtewisselaar	Samenstelling
Aniline / DADPM / WATER	100	24	100	101325	Nee	Nee	Aantal: 3

Stof	Gem. massa in reactor
Aniline Hntsm	26862
DADPM Hntsm	26862
Water (t.b.v. mengsels)	26862

6.9.3 Continuereactor: 14-E2409

Eigenschap	Waarde	Eenheid
Volume	80	m ³
Hoogte van de tank	8	m
Diameter pijp (warmtewisselaar)	10	inch
BrandbeveiligingsSysteem	Sprinkler	
Recepten	Recepten: 1	
Toezicht	Toezicht & backup	
Blusstof	Water	
Identificatie	14-E2409	
Omschrijving	MCB/MDI	

Naam	Tijdfractie in bedrijf	Verblijftijd	Vergunde vullingsgraad	Druk	Run away reactie mogelijk	Gebruik warmtewisselaar	Samenstelling
MCB/MDI	100	24	100	101325	Nee	Nee	Aantal: 1

Stof	Gem. massa in reactor
MCB Hntsm	87760

6.9.4 Continuereactor: C-2202

Eigenschap	Waarde	Eenheid
Volume	63	m ³
Hoogte van de tank	7	m
Diameter pijp (warmtewisselaar)	10	inch
BrandbeveiligingsSysteem	Sprinkler	
Recepten	Recepten: 1	
Toezicht	Toezicht & backup	
Blusstof	Water	
Identificatie	C-2202	
Omschrijving	Aniline / DADPM	

Naam	Tijdfractie in bedrijf	Verblijftijd	Vergunde vullingsgraad	Druk	Run away reactie mogelijk	Gebruik warmtewisselaar	Samenstelling
Aniline/DADPM	1	24	75	1	Nee	Nee	Aantal: 2

Stof	Gem. massa in reactor
Aniline Hntsm	32382
DADPM Hntsm	32382

6.10 Unit Var.Form.Pol. Productie

Eigenschap	Waarde	Eenheid
Afsluiter(doorstromen)	Afvoer zonder afsluiter	
Afsluiter(bufferen)	Afvoer zonder afsluiter	
Bergend Volume	0	m3
Bufferend volume	0	m3
Naam	Var.Form.Pol. Productie	
Omschrijving	Var.Form.Pol. Prod.	

6.10.1 Continureactor: V562

Eigenschap	Waarde	Eenheid
Volume	91	m3
Hoogte van de tank	9	m
Diameter pijp (warmtewisselaar)	10	inch
BrandbeveiligingsSysteem	Sprinkler	
Recepten	Recepten: 1	
Toezicht	Beperkt	
Blusstof	Water	
Identificatie	V562	
Omschrijving	water/glycerine/KOH/polyolen/PO/EO	

Naam	Tijdfractie in bedrijf	Verblijftijd	Vergunde vullingsgraad	Druk	Run away reactie mogelijk	Gebruik warmtewisselaar	Samenstelling
water/glycerine/KOH/polyolen/PO/EO	100	24	100	101325	Nee	Nee	Aantal: 2

Stof	Gem. massa in reactor
Voorbeeldstof oevercontaminatie	91000
Voorbeeldstof volumecontaminatie	91000

6.11 Unit Verlading MCB MDI-2

Eigenschap	Waarde	Eenheid
Type overslagverbinding	laadslang	
Oppervlak	50	m ²
Blusstof	Schuim	
Diameter overslagverbinding	4	inch
Stofregister	Aantal: 1	
Afsluiter(doorstromen)	Afvoer zonder afsluiter	
Bergend Volume	1	m ³
Naam	Verlading MCB MDI-2	
Omschrijving	Verlading MCB MDI-2	

Stof	Laden of lossen	Doorzet per jaar	Laadgewicht transportmiddel	Tijd aanwezig
MCB Hntsm	Lossen	300	30	2

6.12 Unit Verlading MDI-1

Eigenschap	Waarde	Eenheid
Type overslagverbinding	laadslang	
Oppervlak	50	m ²
Blusstof	Water	
Diameter overslagverbinding	4	inch
Stofregister	Aantal: 1	
Afsluiter(doorstromen)	Handbediend (gesloten)	
Bergend Volume	20	m ³
Naam	Verlading MDI-1	
Omschrijving	Verlading MCB MDI-1	

Stof	Laden of lossen	Doorzet per jaar	Laadgewicht transportmiddel	Tijd aanwezig
MCB Hntsm	Lossen	300	57	2

6.13 Unit 12-BU-0009

Eigenschap	Waarde	Eenheid
Oppervlak	100	m ²
Blusstof	Water	
Afsluiter(doorstromen)	Afvoer zonder afsluiter	
Afsluiter(bufferen)	Afvoer zonder afsluiter	
Bergend volume	0	m ³
Bufferend volume	0	m ³
Naam	12-BU-0009	
Omschrijving	MDI1 Opslag	

6.13.1 Opslagtank: 12-T822

Eigenschap	Waarde	Eenheid
TypeOpslagtank	Enkelwandig	
Volume	3	m3
Hoogte van de tank	1.7	m
Hoogte grondvlak	0	m
Stoffen	Aantal: 1	
Diameter van de grootste aansluiting	0.05	m
BrandbeveiligingsSysteem	Geen	
Toezicht	Beperkt	
Overvulbeveiliging	Enkelvoudig	
Identificatie	12-T822	
Omschrijving	NaOCl opslag	

Stof	Vergunde vullingsgraad	Fractie van de tijd aanwezig
sodiumhypochlorite Hntsm	75	100

6.14 Unit Geen bund

Eigenschap	Waarde	Eenheid
Oppervlak	36	m ²
Blusstof	Water	
Afsluiter(doorstromen)	Afvoer zonder afsluiter	
Afsluiter(bufferen)	Afvoer zonder afsluiter	
Bergend volume	3.6	m ³
Bufferend volume	3.6	m ³
Naam	Geen bund	
Omschrijving	Var.Form.Pol Opslag	

6.14.1 Opslagtank: 13-T550

Eigenschap	Waarde	Eenheid
TypeOpslagtank	Enkelwandig	
Volume	30	m3
Hoogte van de tank	1	m
Hoogte grondvlak	0	m
Stoffen	Aantal: 1	
Diameter van de grootste aansluiting	0.1	m
BrandbeveiligingsSysteem	Geen	
Toezicht	Beperkt	
Overvulbeveiliging	Dubbel onafhankelijk	
Identificatie	13-T550	
Omschrijving	DEG Opslag	
Stof	Vergunde vullingsgraad	Fractie van de tijd aanwezig
Di-ethyleenglycol Hntsm	100	100

6.15 Unit 13-BU-201

Eigenschap	Waarde	Eenheid
Oppervlak	100	m ²
Blusstof	Water	
Afsluiter(doorstromen)	Handbediend (gesloten)	
Afsluiter(bufferen)	Handbediend (gesloten)	
Bergend volume	86	m ³
Bufferend volume	86	m ³
Naam	13-BU-201	
Omschrijving	Bulkopslag Variants/Form/Pol	

6.15.1 Opslagtank: V-101

Eigenschap	Waarde	Eenheid
TypeOpslagtank	Enkelwandig	
Volume	58	m3
Hoogte van de tank	7	m
Hoogte grondvlak	0.6	m
Stoffen	Aantal: 1	
Diameter van de grootste aansluiting	0.1	m
BrandbeveiligingsSysteem	Sprinkler	
Toezicht	Toezicht & backup	
Overvulbeveiliging	Enkelvoudig	
Identificatie	V-101	
Omschrijving	Opslag Propylene oxide	
Stof	Vergunde vullingsgraad	Fractie van de tijd aanwezig
Propyleenoxide Hntsm	100	100

6.16 Unit 14-BU-0044

Eigenschap	Waarde	Eenheid
Oppervlak	46	m ²
Blusstof	Water	
Afsluiter(doorstromen)	Geen afvoer	
Afsluiter(bufferen)	Geen afvoer	
Bergend volume	70	m ³
Bufferend volume	70	m ³
Naam	14-BU-0044	
Omschrijving	MDI2 opslag	

6.16.1 Opslagtank: T2170

Eigenschap	Waarde	Eenheid
TypeOpslagtank	Enkelwandig	
Volume	45	m3
Hoogte van de tank	4	m
Hoogte grondvlak	0	m
Stoffen	Aantal: 1	
Diameter van de grootste aansluiting	8	inch
BrandbeveiligingsSysteem	Sprinkler	
Toezicht	Gegarandeerd	
Overvulbeveiliging	Dubbel onafhankelijk	
Identificatie	T2170	
Omschrijving	Methanol	
Stof	Vergunde vullingsgraad	Fractie van de tijd aanwezig
Methanol Hntsm	100	100

6.17 Unit 14-BU-0035

Eigenschap	Waarde	Eenheid
Oppervlak	342	m ²
Blusstof	Water	
Afsluiter(doorstromen)	Geen afvoer	
Afsluiter(bufferen)	Geen afvoer	
Bergend volume	513	m ³
Bufferend volume	413	m ³
Naam	14-BU-0035	
Omschrijving	MCB Opslag (Keystone)	

6.17.1 Opslagtank: T-3980

Eigenschap	Waarde	Eenheid
TypeOpslagtank	Enkelwandig	
Volume	188	m3
Hoogte van de tank	4.3	m
Hoogte grondvlak	1.8	m
Stoffen	Aantal: 1	
Diameter van de grootste aansluiting	0.15	m
BrandbeveiligingsSysteem	Sprinkler	
Toezicht	Gegarandeerd	
Overvulbeveiliging	Enkelvoudig	
Identificatie	T-3980	
Omschrijving	MCB Opslag	
Stof	Vergunde vullingsgraad	Fractie van de tijd aanwezig
MCB Hntsm	80	100

6.17.2 Opslagtank: T-3981

Eigenschap	Waarde	Eenheid
TypeOpslagtank	Enkelwandig	
Volume	188	m3
Hoogte van de tank	4.3	m
Hoogte grondvlak	1.8	m
Stoffen	Aantal: 1	
Diameter van de grootste aansluiting	0.15	m
BrandbeveiligingsSysteem	Sprinkler	
Toezicht	Gegarandeerd	
Overvulbeveiliging	Enkelvoudig	
Identificatie	T-3981	
Omschrijving	Opslag MCB	

Stof	Vergunde vullingsgraad	Fractie van de tijd aanwezig
MCB Hntsm	80	100

6.18 Unit Verlading MDI-1

Eigenschap	Waarde	Eenheid
Type overslagverbinding	laadslang	
Oppervlak	50	m ²
Blusstof	Water	
Diameter overslagverbinding	4	inch
Stofregister	Aantal: 1	
Afsluiter(doorstromen)	Afvoer zonder afsluiter	
Bergend Volume	1	m ³
Naam	Verlading MDI-1	
Omschrijving	Verlading NaOCl Chloorbleekloog MDI-1	

Stof	Laden of lossen	Doorzet per jaar	Laadgewicht transportmiddel	Tijd aanwezig
sodiumhypochlorite Hntsm	Lossen	300	57	2

6.19 Unit Verlading NaOCI MDI-2

Eigenschap	Waarde	Eenheid
Type overslagverbinding	laadslang	
Oppervlak	50	m ²
Blusstof	Schuim	
Diameter overslagverbinding	4	inch
Stofregister	Aantal: 1	
Afsluiter(doorstromen)	Afvoer zonder afsluiter	
Bergend Volume	30	m ³
Naam	Verlading NaOCI MDI-2	
Omschrijving	Verlading NaOCI MDI-2	

Stof	Laden of lossen	Doorzet per jaar	Laadgewicht transportmiddel	Tijd aanwezig
sodiumhypochlorite Hntsm	Lossen	300	30	2

6.20 Unit 14-BU-004

Eigenschap	Waarde	Eenheid
Oppervlak	1364	m ²
Blusstof	Water	
Afsluiter(doorstromen)	Geen afvoer	
Afsluiter(bufferen)	Geen afvoer	
Bergend volume	2919	m ³
Bufferend volume	2919	m ³
Naam	14-BU-004	
Omschrijving	MDI 2 opslag	

6.20.1 Opslagtank: 14-T- 2109A

Eigenschap	Waarde	Eenheid
TypeOpslagtank	Enkelwandig	
Volume	2500	m3
Hoogte van de tank	15	m
Hoogte grondvlak	1	m
Stoffen	Aantal: 2	
Diameter van de grootste aansluiting	6	inch
BrandbeveiligingsSysteem	Geen	
Toezicht	Toezicht & backup	
Overvulbeveiliging	Dubbel onafhankelijk	
Identificatie	14-T- 2109A	
Omschrijving	nieuwe zoutzuurtank	

Stof	Vergunde vullingsgraad	Fractie van de tijd aanwezig
Zoutzuur, HCl 30% Hntsm	50	90
Zoutzuur, HCl 30% Hntsm	100	10

6.20.2 Opslagtank: 14-T- 2109B

Eigenschap	Waarde	Eenheid
TypeOpslagtank	Enkelwandig	
Volume	2500	m3
Hoogte van de tank	15	m
Hoogte grondvlak	1	m
Stoffen	Aantal: 2	
Diameter van de grootste aansluiting	6	inch
BrandbeveiligingsSysteem	Geen	
Toezicht	Toezicht & backup	
Overvulbeveiliging	Dubbel onafhankelijk	
Identificatie	14-T- 2109B	
Omschrijving	nieuwe zoutzuurtank	

Stof	Vergunde vullingsgraad	Fractie van de tijd aanwezig
Zoutzuur, HCl 30% Hntsm	50	90
Zoutzuur, HCl 30% Hntsm	100	10

6.21 Unit 12-BU-0016

Eigenschap	Waarde	Eenheid
Oppervlak	160	m ²
Blusstof	Water	
Afsluiter(doorstromen)	Handbediend (gesloten)	
Afsluiter(bufferen)	Geen afvoer	
Bergend volume	150	m ³
Bufferend volume	0	m ³
Naam	12-BU-0016	
Omschrijving	MDI-1 opslag	

6.21.1 Opslagtank: 12-T-125

Eigenschap	Waarde	Eenheid
TypeOpslagtank	Enkelwandig	
Volume	150	m3
Hoogte van de tank	8	m
Hoogte grondvlak	0	m
Stoffen	Aantal: 1	
Diameter van de grootste aansluiting	24	inch
BrandbeveiligingsSysteem	Geen	
Toezicht	Beperkt	
Overvulbeveiliging	Dubbel onafhankelijk	
Identificatie	12-T-125	
Omschrijving	Natronloog	
Stof	Vergunde vullingsgraad	Fractie van de tijd aanwezig
Natronloog Hntsm 10-50%	100	100

6.22 Unit 14-BU-T2606

Eigenschap	Waarde	Eenheid
Oppervlak	356	m ²
Blusstof	Water	
Afsluiter(doorstromen)	Handbediend (gesloten)	
Afsluiter(bufferen)	Geen afvoer	
Bergend volume	533	m ³
Bufferend volume	533	m ³
Naam	14-BU-T2606	
Omschrijving	Bulkopslag MDI-2	

6.22.1 Opslagtank: 14-T-2606

Eigenschap	Waarde	Eenheid
TypeOpslagtank	Enkelwandig	
Volume	441	m3
Hoogte van de tank	17	m
Hoogte grondvlak	0	m
Stoffen	Aantal: 1	
Diameter van de grootste aansluiting	24	inch
BrandbeveiligingsSysteem	Geen	
Toezicht	Gegarandeerd	
Overvulbeveiliging	Dubbel onafhankelijk	
Identificatie	14-T-2606	
Omschrijving	Natronloog	
Stof	Vergunde vullingsgraad	Fractie van de tijd aanwezig
Natronloog Hntsm 10-50%	100	100

6.23 Unit Pijpleiding MDI-1

Eigenschap	Waarde	Eenheid
Lengte	1000	m
Toezicht	Beperkt	
Stoffen	Aantal: 2	
Lengte insluitsysteem	1000	m
Naam	Pijpleiding MDI-1	
Omschrijving	Leiding MDI-1	

Stof	Fractie van de tijd in	Diameter leiding
Voorbeeldstof oevercontaminatie	50	8
Voorbeeldstof volumecontaminatie	50	8

6.24 Unit Pijpleiding

Eigenschap	Waarde	Eenheid
Lengte	1000	m
Toezicht	Beperkt	
Stoffen	Aantal: 2	
Lengte insluitsysteem	1000	m
Naam	Pijpleiding	
Omschrijving	Leiding Var. Form. Pol. Productie	

Stof	Fractie van de tijd in	Diameter leiding
Voorbeeldstof oevercontaminatie	50	8
Voorbeeldstof volumecontaminatie	50	8

6.25 Unit Pijpleiding

Eigenschap	Waarde	Eenheid
Lengte	1000	m
Toezicht	Beperkt	
Stoffen	Aantal: 2	
Lengte insluitsysteem	1000	m
Naam	Pijpleiding	
Omschrijving	Leiding MDI-2	

Stof	Fractie van de tijd in	Diameter leiding
Zoutzuur, HCl 30% Hntsm	99	8
Voorbeeldstof volumecontaminatie	1	8

6.26 Unit Pijpleiding

Eigenschap	Waarde	Eenheid
Lengte	1000	m
Toezicht	Beperkt	
Stoffen	Aantal: 2	
Lengte insluitsysteem	1000	m
Naam	Pijpleiding	
Omschrijving	Leiding MDI-1 productie	

Stof	Fractie van de tijd in	Diameter leiding
Voorbeeldstof oevercontaminatie	50	8
Voorbeeldstof volumecontaminatie	50	8

6.27 Unit MDI1 Productie - V602A/B

Eigenschap	Waarde	Eenheid
Afsluiter(doorstromen)	Geen afvoer	
Afsluiter(bufferen)	Geen afvoer	
Bergend Volume	406	m3
Bufferend volume	406	m3
Naam	MDI1 Productie - V602A/B	
Omschrijving	MDI1 Productie -V602A/B	

6.27.1 Continureactor: 12-V602A

Eigenschap	Waarde	Eenheid
Volume	220	m ³
Hoogte van de tank	4.1	m
Diameter pijp (warmtewisselaar)	16	inch
BrandbeveiligingsSysteem	Sprinkler	
Recepten	Recepten: 1	
Toezicht	Toezicht & backup	
Blusstof	Water	
Identificatie	12-V602A	
Omschrijving	Caustic/MCB/Fosgeen	

Naam	Tijdfractie in bedrijf	Verblijftijd	Vergunde vullingsgr aad	Druk	Run away reactie mogelijk	Gebruik warmtewi sselaar	Samenste lling
Caustic/M CB/Fosge en	1	24	100	101325	Nee	Nee	Aantal: 3

Stof	Gem. massa in reactor
Natronloog Hntsm 10-50%	111005
MCB Hntsm	80368
Voorbeeldstof volumecontaminatie	72600

6.27.2 Continureactor: 12-V602B

Eigenschap	Waarde	Eenheid
Volume	18.2	m3
Hoogte van de tank	4.1	m
Diameter pijp (warmtewisselaar)	16	inch
BrandbeveiligingsSysteem	Sprinkler	
Recepten	Recepten: 1	
Toezicht	Toezicht & backup	
Blusstof	Water	
Identificatie	12-V602B	
Omschrijving	Aniline/DADPM	

Naam	Tijdfractie in bedrijf	Verblijftijd	Vergunde vullingsgr aad	Druk	Run away reactie mogelijk	Gebruik warmtewi sselaar	Samenste lling
Aniline/DA DPM	100	24	100	101325	Nee	Nee	Aantal: 2

Stof	Gem. massa in reactor
Aniline Hntsm	6461
DADPM Hntsm	6461

7. Overzicht doorstroom units

7.1 Pompput 2

Eigenschap	Waarde	Eenheid
Capaciteit pomp	160	m3/u
Pomptype	Automatisch (enkelvoudige niveaucontrole)	
Bergend volume	160	m3
Volume activeren pomp	0	m3
Naam	Pompput 2	
Omschrijving	Pompput 2	

7.2 Pompput 1

Eigenschap	Waarde	Eenheid
Capaciteit pomp	240	m3/u
Pomptype	Automatisch (enkelvoudige niveaucontrole)	
Bergend volume	1000	m3
Volume activeren pomp	1	m3
Naam	Pompput 1	
Omschrijving	Pompput 1	

7.3 Riool AV 4

Eigenschap	Waarde	Eenheid
Afsluiter(doorstromen)	Handbediend (open)	
Afsluiter(bufferen)	Handbediend (open)	
Bergend volume	1	m3
Bufferend volume	1	m3
Naam	Riool AV 4	
Omschrijving	Riool AV 4	

7.4 Calamiteitenopvang

Eigenschap	Waarde	Eenheid
Afsluiter(doorstromen)	Handbediend (gesloten)	
Afsluiter(bufferen)	Handbediend (gesloten)	
Bergend volume	950	m3
Bufferend volume	950	m3
Naam	Calamiteitenopvang	
Omschrijving	Bufferbak V320	

7.5 Bedrijfs Zuivering

Eigenschap	Waarde	Eenheid
Type zuivering	Aeroob hoogbelast	
Volume	12500	m3
Ontwerpbelasting	8500	kg/d
Debiet	4200	m3/d
Influent BZV	575	mg/l
Naam	Bedrijfs Zuivering	
Omschrijving	BWZI	

7.6 Overstort pomput 1

Eigenschap	Waarde	Eenheid
Kans top	0.01	o/o
Naam	Overstort pompput 1	
Omschrijving	kans top 0,02 (6x per jr)	

7.7 Riool AV3

Eigenschap	Waarde	Eenheid
Afsluiter(doorstromen)	Handbediend (open)	
Afsluiter(bufferen)	Handbediend (open)	
Bergend volume	1	m3
Bufferend volume	1	m3
Naam	Riool AV3	
Omschrijving	Riool AV 3	

7.8 Split A

Eigenschap	Waarde	Eenheid
Kans top	10	o/o
Naam	Split A	
Omschrijving	Split A	

7.9 Riool AV 1

Eigenschap	Waarde	Eenheid
Afsluiter(doorstromen)	Afvoer zonder afsluiter	
Afsluiter(bufferen)	Afvoer zonder afsluiter	
Bergend volume	1	m3
Bufferend volume	0	m3
Naam	Riool AV 1	
Omschrijving	Riool AV 1	

7.10 Fire water pond

Eigenschap	Waarde	Eenheid
Afsluiter(doorstromen)	Handbediend (gesloten)	
Afsluiter(bufferen)	Handbediend (gesloten)	
Bergend volume	800	m3
Bufferend volume	800	m3
Naam	Fire water pond	
Omschrijving	Fire water pond	

7.11 Terrein opvang MDI-1

Eigenschap	Waarde	Eenheid
Afsluiter(doorstromen)	Handbediend (gesloten)	
Afsluiter(bufferen)	Handbediend (gesloten)	
Bergend volume	1	m3
Bufferend volume	1	m3
Naam	Terrein opvang MDI-1	
Omschrijving	Terrein opvang MDI-1	

7.12 Riool AV 2

Eigenschap	Waarde	Eenheid
Afsluiter(doorstromen)	Afvoer zonder afsluiter	
Afsluiter(bufferen)	Afvoer zonder afsluiter	
Bergend volume	1	m3
Bufferend volume	1	m3
Naam	Riool AV 2	
Omschrijving	Riool AV 2	

7.13 Terrein opvang MDI-2

Eigenschap	Waarde	Eenheid
Afsluiter(doorstromen)	Geen afvoer	
Afsluiter(bufferen)	Geen afvoer	
Bergend volume	1	m3
Bufferend volume	1	m3
Naam	Terrein opvang MDI-2	
Omschrijving	Terrein opvang MDI-2	

7.14 Terrein opvang MDI-2 (HCL)

Eigenschap	Waarde	Eenheid
Afsluiter(doorstromen)	Geen afvoer	
Afsluiter(bufferen)	Geen afvoer	
Bergend volume	100000	m3
Bufferend volume	100000	m3
Naam	Terrein opvang MDI-2 (HCL)	
Omschrijving	Eindput MDI-2 HCL	

7.15 HCL en 14-T2216 volume afstromend naar riool

Eigenschap	Waarde	Eenheid
Volumefractie top	15	o/o
Naam	HCL en 14-T2216 volume afstromend naar riool	
Omschrijving	15% van volume afloop naar riool (top)	

7.16 Terrein opvang MDI-1 Productie

Eigenschap	Waarde	Eenheid
Afsluiter(doorstromen)	Geen afvoer	
Afsluiter(bufferen)	Geen afvoer	
Bergend volume	20	m3
Bufferend volume	20	m3
Naam	Terrein opvang MDI-1 Productie	
Omschrijving	Eindput MDI-1 productie	

7.17 Terrein opvang MDI-1 leiding

Eigenschap	Waarde	Eenheid
Afsluiter(doorstromen)	Geen afvoer	
Afsluiter(bufferen)	Geen afvoer	
Bergend volume	200	m3
Bufferend volume	200	m3
Naam	Terrein opvang MDI-1 leiding	
Omschrijving	Eindput MDI-1 leiding	

7.18 Terrein opvang V602A/B

Eigenschap	Waarde	Eenheid
Afsluiter(doorstromen)	Geen afvoer	
Afsluiter(bufferen)	Geen afvoer	
Bergend volume	10000	m3
Bufferend volume	10000	m3
Naam	Terrein opvang V602A/B	
Omschrijving	Eindput MDI-1 V602A/B	

8. Overzicht Watersystemen

8.1 Brittanniehaven

Eigenschap	Waarde	Eenheid
Breedte	200	m
Diepte	7	m
Dispersie X	20	
Dispersie Y	0.3	
Stroomsnelheid	0.01	m/s
Haven aanwezig	Ja	
Lengte haven	1500	m
Breedte haven	190	m
Dispersie in haven	1	
Afstand tot hoofdstroom	10000	m
Naam	Brittanniehaven	
Omschrijving	Brittanniehaven	

9. Overzicht Stoffen

9.1 Zoutzuur, HCl 30% Hntsm

Eigenschap	Waarde	Eenheid
Naam	Zoutzuur, HCl 30% Hntsm	
Systeemstof	0	
Vn-nummer		
CAS nummer	7647-01-0	
LC50 vis	3.250E+0	mg/l
Blootstellingsduur LC50 vis	9.600E+1	uur
EC50 Daphnia	4.920E+0	mg/l
Blootstellingsduur EC50 Daphnia	4.800E+1	uur
IC50 alg	7.300E-1	mg/l
Blootstellingsduur IC50 alg	7.200E+1	uur
IC50 bacterie	3.250E+1	mg/l
Blootstellingsduur IC50 bacterie	7.200E+1	uur
BZV	1.000E+0	
Molecuulmassa (per mol)	3.650E+1	g
Dichtheid	1.200E+3	kg/m ³
Oplosbaarheid	1.200E+3	g/l
LogPOW(a)	-2.000E+0	
Dampdruk	2.850E+1	kPa
Vlampunt	K4	

9.2 Aniline Hntsm

Eigenschap	Waarde	Eenheid
Naam	Aniline Hntsm	
Systeemstof	0	
Vn-nummer		
CAS nummer		
LC50 vis	1.000E+1	mg/l
Blootstellingsduur LC50 vis	9.600E+1	uur
EC50 Daphnia	1.600E+1	mg/l
Blootstellingsduur EC50 Daphnia	4.800E+1	uur
IC50 alg	1.750E+2	mg/l
Blootstellingsduur IC50 alg	7.200E+1	uur
IC50 bacterie	7.000E+0	mg/l
Blootstellingsduur IC50 bacterie	7.200E+1	uur
BZV	1.000E+0	
Molecuulmassa (per mol)	9.310E+1	g
Dichtheid	1.020E+3	kg/m ³
Oplosbaarheid	5.000E+2	kg/m ³
LogPOW(a)	9.000E+0	
Dampdruk	1.300E-1	kPa
Vlampunt	K3	

9.3 MCB Hntsm

Eigenschap	Waarde	Eenheid
Naam	MCB Hntsm	
Systeemstof	0	
Vn-nummer		
CAS nummer	108-90-7	
LC50 vis	4.500E+0	mg/l
Blootstellingsduur LC50 vis	9.600E+1	uur
EC50 Daphnia	5.900E-1	mg/l
Blootstellingsduur EC50 Daphnia	4.800E+1	uur
IC50 alg	1.250E+1	mg/l
Blootstellingsduur IC50 alg	7.200E+1	uur
IC50 bacterie	1.205E+2	mg/l
Blootstellingsduur IC50 bacterie	7.200E+1	uur
BZV	1.500E-1	
Molecuulmassa (per mol)	1.126E+2	g
Dichtheid	1.107E+3	kg/m ³
Oplosbaarheid	2.000E-1	g/l
LogPOW(a)	3.000E+0	
Dampdruk	1.200E+0	kPa
Vlampunt	K2	

9.4 DADPM Hntsm

Eigenschap	Waarde	Eenheid
Naam	DADPM Hntsm	
Systeemstof	0	
Vn-nummer		
CAS nummer	101-77-9	
LC50 vis	2.300E+0	mg/l
Blootstellingsduur LC50 vis	9.600E+1	uur
EC50 Daphnia	1.000E+0	mg/l
Blootstellingsduur EC50 Daphnia	4.800E+1	uur
IC50 alg	1.000E+0	mg/l
Blootstellingsduur IC50 alg	7.200E+1	uur
IC50 bacterie	1.000E+0	mg/l
Blootstellingsduur IC50 bacterie	7.200E+1	uur
BZV	1.000E+0	
Molecuulmassa (per mol)	1.980E+2	g
Dichtheid	1.000E+3	kg/m ³
Oplosbaarheid	1.000E+3	g/l
LogPOW(a)	1.550E+0	
Dampdruk	1.000E-1	kPa
Vlampunt	K4	

9.5 Lube oil - smeerolie Hntsm

Eigenschap	Waarde	Eenheid
Naam	Lube oil - smeerolie Hntsm	
Systeemstof	0	
Vn-nummer		
CAS nummer		
LC50 vis	1.000E+2	mg/l
Blootstellingsduur LC50 vis	9.600E+1	uur
EC50 Daphnia	1.000E+2	mg/l
Blootstellingsduur EC50 Daphnia	4.800E+1	uur
IC50 alg	1.000E+2	mg/l
Blootstellingsduur IC50 alg	7.200E+1	uur
IC50 bacterie	1.000E+2	mg/l
Blootstellingsduur IC50 bacterie	7.200E+1	uur
BZV	1.500E-1	
Molecuulmassa (per mol)	1.000E+0	g
Dichtheid	8.900E+2	kg/m ³
Oplosbaarheid	0.000E+0	kg/m ³
LogPOW(a)	6.000E+0	
Dampdruk	5.000E-3	kPa
Vlampunt	K4	

9.6 Voorbeeldstof volumecontaminatie

Eigenschap	Waarde	Eenheid
Naam	Voorbeeldstof volumecontaminatie	
Systeemstof	0	
Vn-nummer		
CAS nummer		
LC50 vis	1.000E+0	mg/l
Blootstellingsduur LC50 vis	2.400E+1	uur
EC50 Daphnia	1.000E+0	mg/l
Blootstellingsduur EC50 Daphnia	2.400E+1	uur
IC50 alg	1.000E+0	mg/l
Blootstellingsduur IC50 alg	2.400E+1	uur
IC50 bacterie	1.000E+0	mg/l
Blootstellingsduur IC50 bacterie	2.400E+1	uur
BZV	1.500E+0	
Molecuulmassa (per mol)	1.000E+2	g
Dichtheid	1.000E+3	kg/m ³
Oplosbaarheid	1.000E+3	g/l
LogPOW(a)		
Dampdruk	1.000E-2	kPa
Vlampunt	K2	

9.7 Methanol Hntsm

Eigenschap	Waarde	Eenheid
Naam	Methanol Hntsm	
Systeemstof	0	
Vn-nummer	1230	
CAS nummer		
LC50 vis	1.540E+4	mg/l
Blootstellingsduur LC50 vis	9.600E+1	uur
EC50 Daphnia	1.565E+4	mg/l
Blootstellingsduur EC50 Daphnia	4.800E+1	uur
IC50 alg	8.000E+3	mg/l
Blootstellingsduur IC50 alg	7.200E+1	uur
IC50 bacterie	6.600E+3	mg/l
Blootstellingsduur IC50 bacterie	9.600E+1	uur
BZV	1.240E+0	
Molecuulmassa (per mol)	3.205E+1	g
Dichtheid	8.000E+2	kg/m ³
Oplosbaarheid	8.000E+2	kg/m ³
LogPOW(a)	-7.700E-1	
Dampdruk	1.253E+1	kPa
Vlampunt	K1	

9.8 Water (t.b.v. mengsels)

Eigenschap	Waarde	Eenheid
Naam	Water (t.b.v. mengsels)	
Systeemstof	0	
Vn-nummer		
CAS nummer		
LC50 vis	1.000E+3	mg/l
Blootstellingsduur LC50 vis	9.600E+1	uur
EC50 Daphnia	1.000E+3	mg/l
Blootstellingsduur EC50 Daphnia	4.800E+1	uur
IC50 alg	1.000E+3	mg/l
Blootstellingsduur IC50 alg	7.200E+1	uur
IC50 bacterie	1.000E+3	mg/l
Blootstellingsduur IC50 bacterie	7.200E+1	uur
BZV	0.000E+0	
Molecuulmassa (per mol)	1.000E-1	kg
Dichtheid	1.000E+3	kg/m ³
Oplosbaarheid	1.000E+3	kg/m ³
LogPOW(a)		
Dampdruk	2.330E+0	kPa
Vlampunt	K4	

9.9 Voorbeeldstof oevercontaminatie

Eigenschap	Waarde	Eenheid
Naam	Voorbeeldstof oevercontaminatie	
Systeemstof	0	
Vn-nummer		
CAS nummer		
LC50 vis	1.000E+0	mg/l
Blootstellingsduur LC50 vis	9.600E+1	uur
EC50 Daphnia	1.000E+0	mg/l
Blootstellingsduur EC50 Daphnia	4.800E+1	uur
IC50 alg	1.000E+0	mg/l
Blootstellingsduur IC50 alg	7.200E+1	uur
IC50 bacterie	1.000E+0	mg/l
Blootstellingsduur IC50 bacterie	7.200E+1	uur
BZV	0.000E+0	
Molecuulmassa (per mol)	1.000E+2	g
Dichtheid	8.000E+2	kg/m ³
Oplosbaarheid	0.000E+0	g/l
LogPOW(a)		
Dampdruk	1.000E-2	kPa
Vlampunt	K2	

9.10 sodiumhypochlorite Hntsm

Eigenschap	Waarde	Eenheid
Naam	sodiumhypochlorite Hntsm	
Systeemstof	0	
Vn-nummer	1791	
CAS nummer		
LC50 vis	7.000E-1	mg/l
Blootstellingsduur LC50 vis	9.600E+1	uur
EC50 Daphnia	1.000E+0	mg/l
Blootstellingsduur EC50 Daphnia	4.800E+1	uur
IC50 alg	1.000E+0	mg/l
Blootstellingsduur IC50 alg	7.200E+1	uur
IC50 bacterie	1.000E+1	mg/l
Blootstellingsduur IC50 bacterie	9.600E+1	uur
BZV	0.000E+0	
Molecuulmassa (per mol)	7.440E-2	kg
Dichtheid	1.200E+3	kg/m ³
Oplosbaarheid	1.200E+3	kg/m ³
LogPOW(a)		
Dampdruk	1.200E+1	kPa
Vlampunt	K4	

9.11 Di-ethyleenglycol Hntsm

Eigenschap	Waarde	Eenheid
Naam	Di-ethyleenglycol Hntsm	
Systeemstof	0	
Vn-nummer		
CAS nummer		
LC50 vis	7.520E+4	mg/l
Blootstellingsduur LC50 vis	9.600E+1	uur
EC50 Daphnia	1.000E+4	mg/l
Blootstellingsduur EC50 Daphnia	4.800E+1	uur
IC50 alg	1.000E+4	mg/l
Blootstellingsduur IC50 alg	7.200E+1	uur
IC50 bacterie	1.000E+4	mg/l
Blootstellingsduur IC50 bacterie	7.200E+1	uur
BZV	1.000E+0	
Molecuulmassa (per mol)	1.061E+2	g
Dichtheid	1.100E+3	kg/m ³
Oplosbaarheid	1.100E+3	g/l
LogPOW(a)	-2.000E+0	
Dampdruk	1.000E-3	kPa
Vlampunt	K4	

9.12 Propyleenoxide Hntsm

Eigenschap	Waarde	Eenheid
Naam	Propyleenoxide Hntsm	
Systeemstof	0	
Vn-nummer		
CAS nummer		
LC50 vis	5.200E+1	mg/l
Blootstellingsduur LC50 vis	9.600E+1	uur
EC50 Daphnia	3.500E+2	mg/l
Blootstellingsduur EC50 Daphnia	4.800E+1	uur
IC50 alg	2.400E+2	mg/l
Blootstellingsduur IC50 alg	7.200E+1	uur
IC50 bacterie	2.400E+3	mg/l
Blootstellingsduur IC50 bacterie	7.200E+1	uur
BZV	1.000E+0	
Molecuulmassa (per mol)	5.810E+1	g
Dichtheid	8.300E+2	kg/m ³
Oplosbaarheid	4.100E+2	g/l
LogPOW(a)	3.000E-2	
Dampdruk	5.800E+1	kPa
Vlampunt	K1	

9.13 Natronloog Hntsm 10-50%

Eigenschap	Waarde	Eenheid
Naam	Natronloog Hntsm 10-50%	
Systeemstof	0	
Vn-nummer		
CAS nummer	1310-73-2	
LC50 vis	3.500E+1	mg/l
Blootstellingsduur LC50 vis	9.600E+1	uur
EC50 Daphnia	3.300E+1	mg/l
Blootstellingsduur EC50 Daphnia	4.800E+1	uur
IC50 alg	3.500E+2	mg/l
Blootstellingsduur IC50 alg	7.200E+1	uur
IC50 bacterie	3.500E+2	mg/l
Blootstellingsduur IC50 bacterie	7.200E+1	uur
BZV	1.500E-1	
Molecuulmassa (per mol)	4.000E+1	g
Dichtheid	1.529E+3	kg/m ³
Oplosbaarheid	1.529E+3	g/l
LogPOW(a)		
Dampdruk	1.200E+1	kPa
Vlampunt	K4	

10. Legenda

Unit	Naam	Omschrijving
D3	Pompput 2	Pompput 2
D7	Pompput 1	Pompput 1
W23	Brittaniehaven	Brittaniehaven
R25	12-BU-0015 + 12-BU-0017	MDI1 Opslag
R29	12BU-0018+12-BU-0019	MDI1 Opslag
R33	12-BU-0004	MDI1 Opslag
R41	Geen bund	MDI1 Opslag
R45	Geen bund	MDI2 Opslag
R49	14-BU-0001	MDI2 Opslag
R53	14-BU-0006	MDI2 Opslag
R61	MDI1 Productie	MDI1 Productie
R73	MDI2 Productie	MDI2 Productie
R93	Var.Form.Pol. Productie	Var.Form.Pol. Prod.
R105	Verlading MCB MDI-2	Verlading MCB MDI-2
R108	Verlading MDI-1	Verlading MCB MDI-1
D119	Riool AV 4	Riool AV 4
R157	12-BU-0009	MDI1 Opslag
R164	Geen bund	Var.Form.Pol Opslag
R173	13-BU-201	Bulkopslag Variants/Form/Pol
R180	14-BU-0044	MDI2 opslag
R187	14-BU-0035	MCB Opslag (Keystone)
D194	Calamiteitenopvang	Bufferbak V320
D207	Bedrijfs Zuivering	BWZI
D227	Overstort pompput 1	kans top 0,02 (6x per jr)
D259	Riool AV3	Riool AV 3

Unit	Naam	Omschrijving
D274	Split A	Split A
D286	Riool AV 1	Riool AV 1
D298	Fire water pond	Fire water pond
D303	Terrein opvang MDI-1	Terrein opvang MDI-1
D312	Riool AV 2	Riool AV 2
D352	Terrein opvang MDI-2	Terrein opvang MDI-2
R376	Verlading MDI-1	Verlading NaOCI Chloorbleekloog MDI-1
R379	Verlading NaOCI MDI-2	Verlading NaOCI MDI-2
R395	14-BU-004	MDI 2 opslag
D405	Terrein opvang MDI-2 (HCL)	Eindput MDI-2 HCL
D410	HCL en 14-T2216 volume afstromend naar riool	15% van volume afloop naar riool (top)
R438	12-BU-0016	MDI-1 opslag
R449	14-BU-T2606	Bulkopslag MDI-2
R456	Pijpleiding MDI-1	Leiding MDI-1
R459	Pijpleiding	Leiding Var. Form. Pol. Productie
R462	Pijpleiding	Leiding MDI-2
D475	Terrein opvang MDI-1 Productie	Eindput MDI-1 productie
R498	Pijpleiding	Leiding MDI-1 productie
D522	Terrein opvang MDI-1 leiding	Eindput MDI-1 leiding
R536	MDI1 Productie - V602A/B	MDI1 Productie -V602A/B
D540	Terrein opvang V602A/B	Eindput MDI-1 V602A/B

Tebodin Netherlands B.V.
Milieurisicoanalyse (MRA)
Huntsman Holland B.V.

Ordernummer: T49966.00
Documentnummer: 3413645
Revisie: B
05 mei 2017
Pagina 37 / 37



BILFINGER

Bijlage 5: Proteus III model voor Huntsman Holland B.V.

De Proteus III model kan indien wenselijk digitaal verstrekt worden.